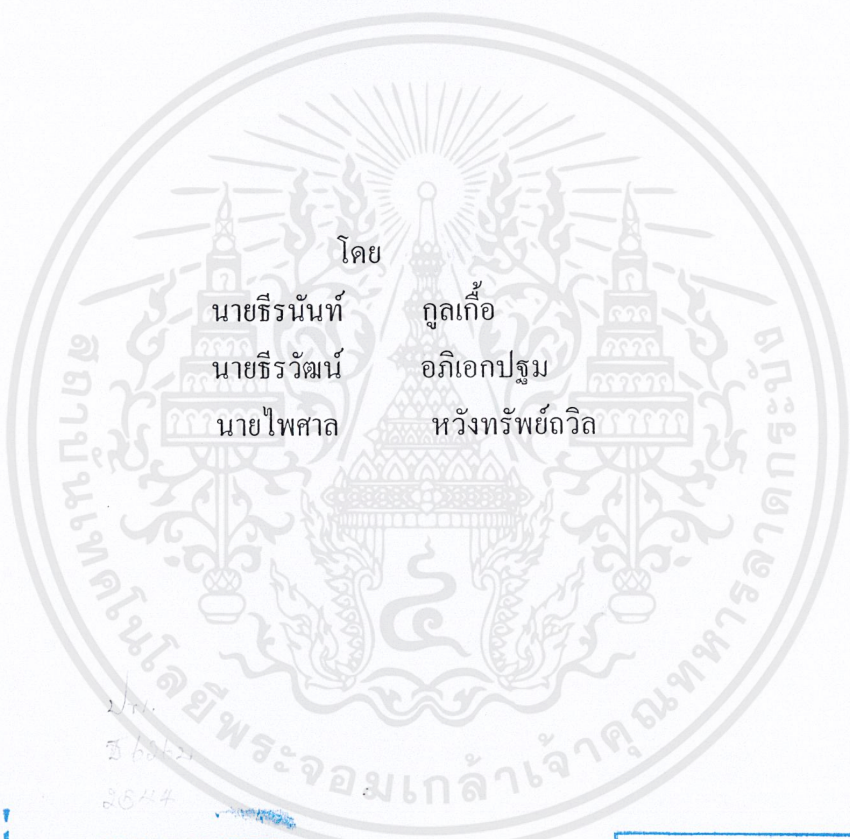


ปีการศึกษา 2544

แบบจำลองความถี่สูงของขดลวดสเตเตอร์ของมอเตอร์เหนี่ยวนำ
High frequency models of an Induction motor stator winding



เลขหมู่.....
เลขทะเบียน..... 45951
วัน, เดือน, ปี 2 6 ก.พ. 2546

.b.....
.i.....

อาจารย์ที่ปรึกษา

ดร. อานันท์วัฒน์ คุณากร

ปริญญาบัตรปีการศึกษา 2544

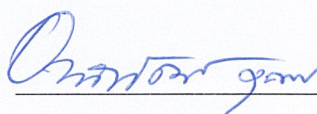
ภาควิชาวิศวกรรมไฟฟ้า

คณะวิศวกรรมศาสตร์ สถาบันเทคโนโลยีพระจอมเกล้าเจ้าคุณทหารลาดกระบัง

เรื่อง แบบจำลองความถี่สูงของขดลวดสเตเตอร์ของมอเตอร์เหนี่ยวนำ

ผู้จัดทำ

- | | |
|----------------|----------------|
| 1. นายธีรนนท์ | กุลเกื้อ |
| 2. นายธีรวัฒน์ | อภิเอกปฐม |
| 3. นายไพศาล | หวังทรัพย์ถวิล |



อาจารย์ที่ปรึกษา

(ดร. อานันท์วัฒน์ คุณากร)

เอกสารนี้เป็นเอกสารที่สงวนไว้สำหรับการใช้งานเพื่อการศึกษาเท่านั้น ไม่อนุญาตให้นำไปใช้ประโยชน์ด้านการค้า
ไม่ว่ากรณีใดๆ ทั้งสิ้น อีกทั้งห้ามมิให้ตัดแปลงเนื้อหาและต้องอ้างอิงถึงเจ้าของเอกสารทุกครั้งที่มีการนำไปใช้

แบบจำลองความถี่สูงของขดลวดสเตเตอร์ของมอเตอร์เหนี่ยวนำ

นายธีรนนท์ กุลเกื้อ

นายธีรวัฒน์ อภิเอกปฐม

นายไพศาล หวังทรัพย์ถวิล

บทคัดย่อ

งานชิ้นนี้นำเสนอ Time Domain Models อันขึ้นกับความถี่สำหรับอินดักชันมอเตอร์ โดยใช้โปรแกรม MATLAB ค่าอิมพีแดนซ์เดิมในวงจรสมมูลของอินดักชันมอเตอร์จะถูกเปลี่ยนแปลงโดยอยู่บนพื้นฐานของ Foster's reactance ตามทฤษฎีการสังเคราะห์ระบบโครงข่าย เพื่อสังเคราะห์ค่าอิมพีแดนซ์ที่แปรผันตามความถี่ (Frequency Dependence Impedances) ตามต้องการ Time Domain Synthesis ของค่าอิมพีแดนซ์อันขึ้นกับความถี่ ของขดลวด Winding ได้ถูกสร้างขึ้นเป็นแบบจำลอง บนพื้นฐานของการทำ Time Domain Model ตามหลักการในการหาค่าอิมพีแดนซ์ของสายส่งสามเฟสซึ่งขึ้นกับความถี่ เพื่อให้ได้แบบจำลองที่ต้องการ

High frequency models of an Induction motor stator winding

Theeranun Koonkeaur

Teerawat Apieakpathom

Phaisan Wangsubtawin

Abstract

This thesis presents high frequency dependent time domain models for induction Motor using the MATLAB program. The impedance in the conventional equivalent circuit of Induction motors are modified. This is based on Foster's reactance, a concept from network synthesis theory, to obtain the required frequency dependence. The time domain synthesis of the frequency dependent resistance of the winding is modelled. This is based on time domain modelling of frequency dependent three-phase transmission line impedance.

สารบัญ

	หน้า
บทคัดย่อ	I
ABSTRACT	II
สารบัญ	III
สารบัญภาพ	V
สารบัญตาราง	X
บทที่ 1 บทนำ	1
1.1 ที่มาของปัญหา	1
1.1.1 ปัญหาที่เกิดจากการตัดต่อวงจรของอุปกรณ์ป้องกัน	1
1.1.2 ปัญหาที่เกิดจากการตัดต่อวงจรของอุปกรณ์ Power Electronic	2
1.2 วัตถุประสงค์	2
1.3 ขอบเขตของงาน	2
1.4 ขั้นตอนการศึกษาและดำเนินงาน	3
บทที่ 2 ทฤษฎีเบื้องต้น	5
2.1 บทนำ	5
2.1.1 Random Coils and Form Coil Windings [7]	5
2.1.2 ผลตอบสนองตามความถี่(Frequency Response)[8]	6
2.1.2.1 การตอบสนองของแอมพลิจูด และ เฟส	6
2.1.2.2 เรโซแนนซ์ (Resonance)	9
2.1.3 การกระจายของแรงดันบนขดลวดจาก step function voltage surge	10
2.1.4 ปรากฏการณ์ผิว(skin effect)[11]	11
2.2 วงจรสมมูลของมอเตอร์เหนี่ยวนำ	14
2.2.1 วงจรสมมูลของมอเตอร์	15
2.2.2 วงจรสมมูล Synthetic Circuit	17
2.2.3 วงจรสมมูลของ Shunt Admittance	19
2.2.4 วงจรสมมูลของ Frequency Dependence Resistance	20
บทที่ 3 วงจรสมมูลที่ได้จากการทดลอง Motor 2 แรงม้า	24
3.1 การทดลองเพื่อหาวงจรมูล	24

สารบัญ(ต่อ)

	หน้า
3.1.1 ผลการทดลอง 2 แรงม้า(Hp) โดย V-I method	24
3.1.2 ผลการทดลองโดยวิธี NO LOAD TEST	24
3.1.3 ผลการทดลองโดยวิธี BLOCK ROTOR TEST	25
3.2 การทดลองเพื่อหาวงจรสังเคราะห์(Synthetic Circuit)	26
3.3 ผลที่ได้จากการวัดค่า admittance และ phase angle	28
3.4 ผลที่ได้จาก Frequency Dependence Resistance	30
3.5 เปรียบผลที่ได้จากวัดและการคำนวณโดยทฤษฎี	34
บทที่ 4 วงจรสมมูลที่ได้จากการทดลองของ Motor 1 แรงม้า	38
4.1 การทดลองเพื่อหาวงจรสมมูล	38
4.1.1 ผลการทดลอง 2 แรงม้า(Hp) โดย V-I method	38
4.1.2 ผลการทดลองโดยวิธี NO LOAD TEST	38
4.1.3 ผลการทดลองโดยวิธี BLOCK ROTOR TEST	39
4.2 การทดลองเพื่อหาวงจรสังเคราะห์(Synthetic Circuit)	40
4.3 ผลที่ได้จากการวัดค่า admittance และ phase angle	42
4.4 ผลที่ได้จาก Frequency Dependence Resistance	44
4.5 เปรียบผลที่ได้จากวัดและการคำนวณโดยทฤษฎี	47
บทที่ 5 วงจรสมมูลที่ได้จากการทดลอง Motor 0.5 แรงม้า	51
5.1 การทดลองเพื่อหาวงจรสมมูล	51
5.1.1 ผลการทดลอง 2 แรงม้า(Hp) โดย V-I method	51
5.1.2 ผลการทดลองโดยวิธี NO LOAD TEST	51
5.1.3 ผลการทดลองโดยวิธี BLOCK ROTOR TEST	52
5.2 การทดลองเพื่อหาวงจรสังเคราะห์(Synthetic Circuit)	53
5.3 ผลที่ได้จากการวัดค่า admittance และ phase angle	55
5.4 ผลที่ได้จาก Frequency Dependence Resistance	57
5.5 เปรียบผลที่ได้จากวัดและการคำนวณโดยทฤษฎี	60
บทที่ 6 สรุปและวิจารณ์	64
กิตติกรรมประกาศ	66
เอกสารอ้างอิง	67

สารบัญภาพ

	หน้า
บทที่ 1 บทนำ	1
รูปที่ 1.1 รูปแสดงวงจรการตัดต่ออย่างง่าย	1
รูปที่ 1.2 รูปคลื่นแรงดันของการต่อวงจร	1
รูปที่ 1.3 ตัวอย่างรูปคลื่นที่ได้จากการต่อวงจร	2
รูปที่ 1.4 รูปแสดงการกระจายของ Spectrum ของสัญญาณตามความถี่	2
บทที่ 2 ทฤษฎีเบื้องต้น	
รูปที่ 2.1(a) ภาพหน้าตัด 2 ด้านของขดลวด Random ในส่วนปิดของสเตเตอร์สลีต	5
รูปที่ 2.1(b) ภาพหน้าตัด 2 ด้านของขดลวด Form ในส่วนเปิดของสเตเตอร์สลีต	5
รูปที่ 2.2 วงจรขนาน RLC	7
รูปที่ 2.3 (a) แอมพลิจูด และ (b) เฟสของการตอบสนองของสมการ 2.7	8
รูปที่ 2.4 การกระจายแรงดันเริ่มต้นบนขดลวดสม่ำเสมอ ในการตอบสนองกับ step function voltage surge	
(a) นิวตรอนต่อกราวน์	10
(b) นิวตรอนไม่ต่อกราวน์	10
รูป 2.5 ตัวนำบนแกน Z	11
รูป 2.6 $ H $ ต่อ r ภายในตัวนำ	11
รูป 2.7 ฟลักซ์เกี่ยวคล้องกระแส	11
รูปที่ 2.8 skin depth	13
รูปที่ 2.9 โมเดลซึ่งขึ้นกับความถี่ของมอเตอร์เหนี่ยวนำ[4]	14
รูปที่ 2.10 วงจรสมมูลของมอเตอร์เหนี่ยวนำ[1]	15
รูปที่ 2.11 วงจรที่ใช้ทดสอบมอเตอร์เหนี่ยวนำ 3-เฟส ทางด้าน Stator winding	16
รูปที่ 2.12 วงจรที่ใช้ทดสอบ V-I method	17
รูปที่ 2.13 แสดงการต่อวงจรเพื่อวัดค่า Series Impedance	18
รูปที่ 2.14 วงจรขนาน RLC	18
รูปที่ 2.15 Shunt Admittance Measurement	20
รูป 2.16 วงจรสมมูล Shunt Admittance	20

สารบัญภาพ(ต่อ)

	หน้า
รูปที่2.17 วงจรสมมูลของ Frequency Dependence Resistance	21
รูปที่2.18 The frequency dependent resistance ของมอเตอร์เหนี่ยวนำ	21
บทที่ 3 วงจรสมมูลที่ได้จากการทดลอง Motor 2 แรงม้า	
รูปที่3.1 รูปวงจรสมมูล (Equivalent circuit) ของมอเตอร์เหนี่ยวนำ	25
รูปที่3.2 ผลการวัด series impedance ของในขดลวด มอเตอร์เหนี่ยวนำที่ขึ้นอยู่กับความถี่	26
รูปที่3.3 ผลการวัดมุมเฟส $\theta(Z)$ ของ series impedance ในขดลวด มอเตอร์เหนี่ยวนำที่ขึ้นอยู่กับความถี่	26
รูปที่3.4 วงจรสมมูล Synthetic Circuit ที่คำนวณได้	27
รูปที่3.5 ผลการวัดค่า shunt admittance ของขดลวด มอเตอร์เหนี่ยวนำที่ขึ้นกับกับความถี่	28
รูปที่3.6 ผลการวัดค่ามุมเฟสของ admittance ในขดลวด มอเตอร์เหนี่ยวนำที่ขึ้นกับกับความถี่	28
รูปที่3.7 วงจรสมมูล Shunt Admittance ที่คำนวณได้	29
รูปที่3.8 ค่า Impedance ในขดลวดมอเตอร์เหนี่ยวนำที่ขึ้นกับกับความถี่	30
รูปที่3.9 ค่ามุมเฟสของ Impedance ในขดลวดมอเตอร์เหนี่ยวนำที่ขึ้นกับกับความถี่	30
รูปที่3.10 วงจรสมมูล Frequency Dependence Resistance	33
รูปที่3.11 กราฟของค่า Impedance ได้จากวงจรสังเคราะห์ (synthesis circuit) เมื่อเปรียบเทียบกับค่าที่วัด	34
รูปที่3.12 กราฟของค่า Impedance ได้จากวงจรสังเคราะห์ (synthesis circuit)เมื่อปรับด้วย frequency dependent resistance แล้วเปรียบเทียบกับค่าที่วัด	34
รูปที่3.13 มุมของ Impedance จากวงจรสังเคราะห์ (synthesis circuit) เมื่อเปรียบเทียบกับค่าที่วัด	35
รูปที่3.14 ค่า มุม ของ Impedance จากวงจรสังเคราะห์ (synthesis circuit)เมื่อปรับด้วย frequency dependent resistance แล้วเปรียบเทียบกับค่าที่วัด	35
รูปที่3.15 กราฟของค่าส่วนจริงของ Impedanceที่ได้ จากวงจรสังเคราะห์(synthesis circuit)	36

สารบัญญภาพ(ต่อ)

	หน้า
รูปที่3.16 กราฟของค่าส่วนจริงของ Impedance ที่ได้จากวงจรสังเคราะห์ (synthesis circuit)เมื่อปรับด้วย frequency dependent resistance แล้วเปรียบเทียบกับค่าที่วัด	36
รูปที่3.17 กราฟของค่าส่วนจินตภาพของ Impedance ที่ได้ จากวงจรสังเคราะห์(synthesis circuit)	37
รูปที่3.18 กราฟของค่าส่วนจินตภาพของ Impedance ที่ได้จากวงจรสังเคราะห์ (synthesis circuit) เมื่อปรับด้วย frequency dependent resistance แล้วเปรียบเทียบกับค่าที่วัด	37
บทที่ 4 วงจรสมมูลที่ได้จากการทดลอง Motor 1 แรงม้า	
รูปที่4.1 รูปวงจรสมมูล (Equivalent circuit) ของมอเตอร์เหนี่ยวนำ	39
รูปที่4.2 ผลการวัด series impedance ของในขดลวด มอเตอร์เหนี่ยวนำที่ขึ้นกับความถี่	40
รูปที่4.3 ผลการวัดมุมเฟส $\theta(Z)$ ของ series impedance ในขดลวด มอเตอร์เหนี่ยวนำที่ขึ้นกับความถี่	40
รูปที่4.4 วงจรสมมูล Synthetic Circuit ที่คำนวณได้	41
รูปที่4.5 ผลการวัดค่า shunt admittance ของขดลวด มอเตอร์เหนี่ยวนำที่ขึ้นกับความถี่	42
รูปที่4.6 ผลการวัดค่ามุมเฟสของ admittance ในขดลวด มอเตอร์เหนี่ยวนำที่ขึ้นกับความถี่	42
รูปที่4.7 วงจรสมมูล Shunt Admittance ที่คำนวณได้	43
รูปที่4.8 ค่า Impedance ในขดลวดมอเตอร์เหนี่ยวนำที่ขึ้นกับความถี่	44
รูปที่4.9 ค่ามุมเฟสของ Impedance ในขดลวดมอเตอร์เหนี่ยวนำที่ขึ้นกับความถี่	44
รูปที่4.10 วงจรสมมูล Frequency Dependence Resistance	46
รูปที่4.11 กราฟของค่า Impedance ได้จากวงจรสังเคราะห์ (synthesis circuit) เมื่อเปรียบกับค่าที่วัด	47
รูปที่4.12 กราฟของค่า Impedance ได้จากวงจรสังเคราะห์ (synthesis circuit)เมื่อปรับด้วย frequency dependent resistance แล้วเปรียบเทียบกับค่าที่วัด	47
รูปที่4.13 มุมของ Impedance จากวงจรสังเคราะห์ (synthesis circuit) เมื่อเปรียบเทียบกับค่าที่วัด	48

สารบัญภาพ(ต่อ)

	หน้า
รูปที่ 4.14 ค่า มุม ของ Impedance จากวงจรสังเคราะห์ (synthesis circuit)เมื่อปรับด้วย frequency dependent resistance แล้วเปรียบเทียบกับค่าที่วัด	48
รูปที่ 4.15 กราฟของค่าส่วนจริงของ Impedance ที่ได้ จากวงจรสังเคราะห์(synthesis circuit)	49
รูปที่ 4.16 กราฟของค่าส่วนจริงของ Impedance ที่ได้จากวงจรสังเคราะห์ (synthesis circuit)เมื่อปรับด้วย frequency dependent resistance แล้วเปรียบเทียบกับค่าที่วัด	49
รูปที่ 4.17 กราฟของค่าส่วนจินตภาพของ Impedance ที่ได้ จากวงจรสังเคราะห์(synthesis circuit)	50
รูปที่ 4.18 กราฟของค่าส่วนจินตภาพของ Impedance ที่ได้จากวงจรสังเคราะห์ (synthesis circuit) เมื่อปรับด้วย frequency dependent resistance แล้วเปรียบเทียบกับค่าที่วัด	50
บทที่ 5 วงจรสมมูลที่ได้จากการทดลอง Motor 0.5 แรงม้า	
รูปที่ 5.1 รูปวงจรสมมูล (Equivalent circuit) ของมอเตอร์เหนี่ยวนำ	52
รูปที่ 5.2 ผลการวัด series impedance ของในขดลวด มอเตอร์เหนี่ยวนำที่ขึ้นอยู่กับความถี่	53
รูปที่ 5.3 ผลการวัดมุมเฟส $\theta(Z)$ ของ series impedance ในขดลวด มอเตอร์เหนี่ยวนำที่ขึ้นอยู่กับความถี่	53
รูปที่ 5.4 วงจรสมมูล Synthetic Circuit ที่คำนวณได้	54
รูปที่ 5.5 ผลการวัดค่า shunt admittance ของขดลวด มอเตอร์เหนี่ยวนำที่ขึ้นกับกับความถี่	55
รูปที่ 5.6 ผลการวัดค่ามุมเฟสของ admittance ในขดลวด มอเตอร์เหนี่ยวนำที่ขึ้นกับกับความถี่	55
รูปที่ 5.7 วงจรสมมูล Shunt Admittance ที่คำนวณได้	56
รูปที่ 5.8 ค่า Impedance ในขดลวดมอเตอร์เหนี่ยวนำที่ขึ้นกับกับความถี่	57
รูปที่ 5.9 ค่ามุมเฟสของ Impedance ในขดลวดมอเตอร์เหนี่ยวนำที่ขึ้นกับกับความถี่	57
รูปที่ 5.10 วงจรสมมูล Frequency Dependence Resistance	59

สารบัญภาพ(ต่อ)

	หน้า
รูปที่ 5.11 กราฟของค่า Impedance ได้จากวงจรสังเคราะห์ (synthesis circuit) เมื่อเปรียบเทียบกับค่าที่วัด	60
รูปที่ 5.12 กราฟของค่า Impedance ได้จากวงจรสังเคราะห์ (synthesis circuit) เมื่อปรับด้วย frequency dependent resistance แล้วเปรียบเทียบกับค่าที่วัด	60
รูปที่ 5.13 มุมของ Impedance จากวงจรสังเคราะห์ (synthesis circuit) เมื่อเปรียบเทียบกับค่าที่วัด	61
รูปที่ 5.14 ค่า มุม ของ Impedance จากวงจรสังเคราะห์ (synthesis circuit) เมื่อปรับด้วย frequency dependent resistance แล้วเปรียบเทียบกับค่าที่วัด	61
รูปที่ 5.15 กราฟของค่าส่วนจริงของ Impedance ที่ได้ จากวงจรสังเคราะห์(synthesis circuit)	62
รูปที่ 5.16 กราฟของค่าส่วนจริงของ Impedance ที่ได้จากวงจรสังเคราะห์ (synthesis circuit) เมื่อปรับด้วย frequency dependent resistance แล้วเปรียบเทียบกับค่าที่วัด	62
รูปที่ 5.17 กราฟของค่าส่วนจินตภาพของ Impedance ที่ได้ จากวงจรสังเคราะห์(synthesis circuit)	63
รูปที่ 5.18 กราฟของค่าส่วนจินตภาพของ Impedance ที่ได้จากวงจรสังเคราะห์ (synthesis circuit) เมื่อปรับด้วย frequency dependent resistance แล้วเปรียบเทียบกับค่าที่วัด	63

สารบัญตาราง

	หน้า
บทที่ 1 บทนำ	
ตารางที่1.1 แสดงขั้นตอนการศึกษาและดำเนินงานในภาคเรียนที่1	3
ตารางที่1.2 แสดงขั้นตอนการศึกษาและดำเนินงานในภาคเรียนที่2	4
บทที่ 2 ทฤษฎีเบื้องต้น	
ตาราง2.1 ค่า skin depth ของทองแดง	13
ตาราง2.2 ตารางแสดงค่า Reactance ของ Motor class ต่างๆ	17
บทที่ 3 วงจรสมมูลที่ได้จากการทดลอง Motor 2 แรงม้า	
ตารางที่3.1 ผลการทดลองโดย V-I method	24
ตารางที่3.2 ผลการทดลองโดยวิธี NO LOAD TEST	24
ตารางที่3.3 ผลการทดลองโดยวิธี BLOCK ROTOR TEST	25
บทที่ 4 วงจรสมมูลที่ได้จากการทดลอง Motor 1 แรงม้า	
ตารางที่4.1 ผลการทดลองโดย V-I method	38
ตารางที่4.2 ผลการทดลองโดยวิธี NO LOAD TEST	38
ตารางที่4.3 ผลการทดลองโดยวิธี BLOCK ROTOR TEST	39
บทที่ 5 วงจรสมมูลที่ได้จากการทดลอง Motor 0.5 แรงม้า	
ตารางที่5.1 ผลการทดลองโดย V-I method	51
ตารางที่5.2 ผลการทดลองโดยวิธี NO LOAD TEST	51
ตารางที่5.3 ผลการทดลองโดยวิธี BLOCK ROTOR TEST	52

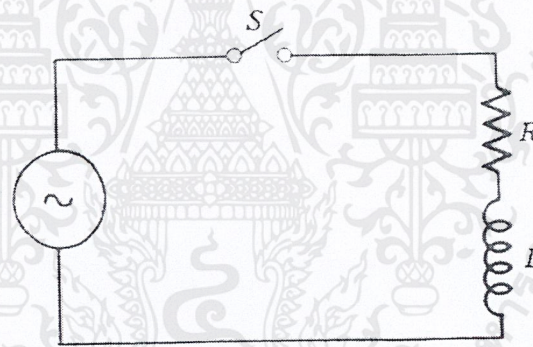
บทที่ 1

บทนำ

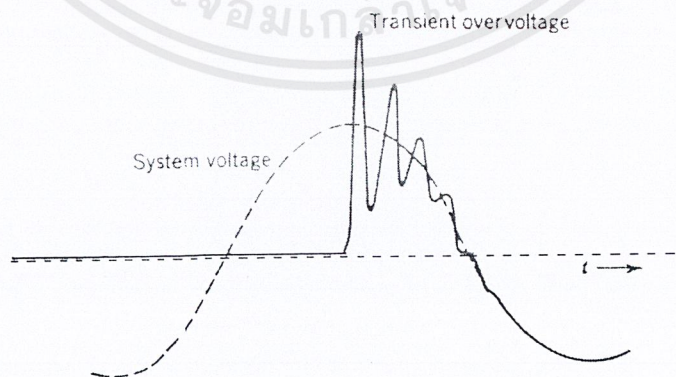
1.1 ที่มาของปัญหา

ปัญหาจาก Step-front transient over voltage ในระบบแรงดันไฟฟ้าต่ำอันเนื่องมาจากการตัดต่อวงจรของอุปกรณ์ป้องกัน เช่น circuit breaker หรือการ switching ในอุปกรณ์ power electronic สร้างความเสียหายให้กับขดลวดในมอเตอร์เหนี่ยวนำ โครงการนี้ได้มุ่งความสนใจไปที่ขดลวดมอเตอร์เหนี่ยวนำชนิด random wound ซึ่งใช้ระบบ แรงดันไฟฟ้าต่ำ โดยเราสร้างแบบจำลองขึ้นมาสนับสนุนการทำนายรูปคลื่นของ transient over voltage เพื่อใช้หาระบบการป้องกันที่เหมาะสม

1.1.1 ปัญหาที่เกิดจากการตัดต่อวงจรของอุปกรณ์ป้องกัน

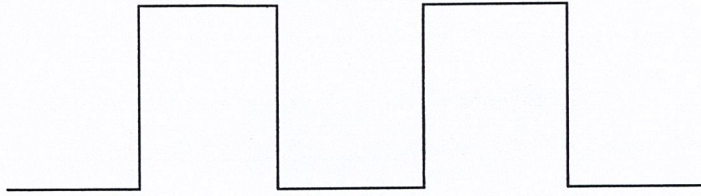


รูปที่ 1.1 รูปแสดงวงจรการตัดต่ออย่างง่าย

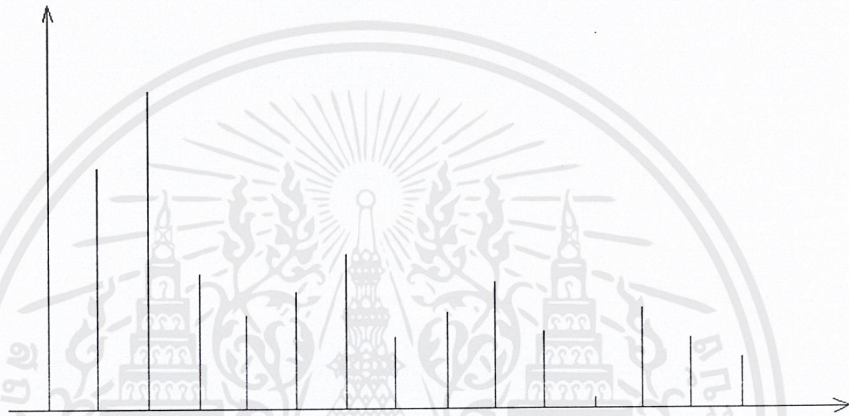


รูปที่ 1.2 รูปคลื่นแรงดันของการต่อวงจร

1.1.2 ปัญหาที่เกิดจากการตัดต่อวงจรของอุปกรณ์ Power Electronic



รูปที่ 1.3 ตัวอย่างรูปคลื่นที่ได้จากการตัดต่อวงจร



รูปที่ 1.4 รูปแสดงการกระจายของ Spectrum ของสัญญาณตามความถี่

1.2 วัตถุประสงค์

1. เพื่อสร้าง Model ที่ขึ้นกับความถี่ของขดลวดสเตเตอร์ในมอเตอร์เหนี่ยวนำ
2. เพื่อศึกษาว่าเมื่อเปลี่ยนขนาดฟลักซ์ของ Motor ไป Model ของขดลวดสเตเตอร์เปลี่ยนแปลงไปอย่างไร
3. เพื่อศึกษาผลจาก skin effect ของขดลวดสเตเตอร์ในมอเตอร์เหนี่ยวนำ

1.3 ขอบเขตของงาน

ภาคเรียนที่ 1

1. ทดสอบหาค่าวงจรสมมูลของมอเตอร์เหนี่ยวนำ 2 แรงม้า
2. ศึกษา และ ออกแบบวงจรสมมูล Synthetic Circuit
3. ศึกษา และ ออกแบบวงจรสมมูลของ Shunt Admittance
4. ศึกษา และ ออกแบบ วงจรสมมูลของ Frequency Dependence Resistance
5. วิเคราะห์และเปรียบเทียบผลจากการวัดกับผลของการ simulate จาก Model

ภาคเรียนที่ 2

1. ทดสอบ หา ค่าวงจรสมมูลของมอเตอร์เหนี่ยวนำ 0.5 แรงม้า และ 1 แรงม้า
2. ศึกษา และ ออกแบบวงจรสมมูล Synthetic Circuit
3. ศึกษา และ ออกแบบวงจรสมมูลของ Shunt Admittance
4. ศึกษา และ ออกแบบ วงจรสมมูลของ Frequency Dependence Resistance
5. วิเคราะห์เปรียบเทียบผลของการวัดกับผลการsimulateจากmodel
6. พัฒนาโปรแกรมโดยสามารถเลือกเปลี่ยนค่าอินพุตได้อัตโนมัติเมื่อเปลี่ยนพิกัดมอเตอร์

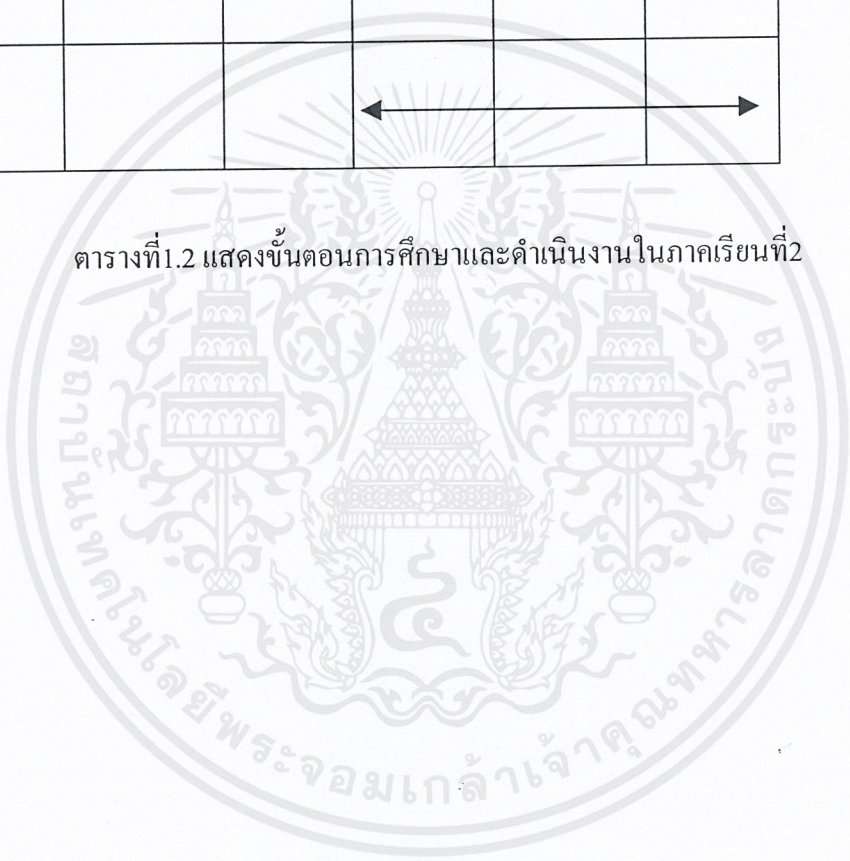
1.4 ขั้นตอนการศึกษาและดำเนินงาน

	เมษายน	พฤษภาคม	มิถุนายน	กรกฎาคม	สิงหาคม	กันยายน	ตุลาคม
รวบรวมข้อมูล	←→						
กำหนดขอบเขต ของงาน		←→					
เก็บผล,ศึกษาข้อมูล			←→				
ศึกษาโปรแกรม MATLAB				←→			
วิเคราะห์ข้อมูล, คำนวณหา Model					←→		
เขียนโปรแกรม การคำนวณ						←→	
พัฒนาโปรแกรม							←→

ตารางที่ 1.1 แสดงขั้นตอนการศึกษาและดำเนินงานในภาคเรียนที่ 1

	พฤศจิกายน	ธันวาคม	มกราคม	กุมภาพันธ์	มีนาคม
รวบรวมข้อมูล	↔				
เก็บผล, ศึกษาข้อมูล	↔	↔			
พัฒนาโปรแกรม		↔	↔	↔	
วิเคราะห์ข้อมูล, สรุปผล			↔	↔	↔

ตารางที่ 1.2 แสดงขั้นตอนการศึกษาและดำเนินงานในภาคเรียนที่ 2



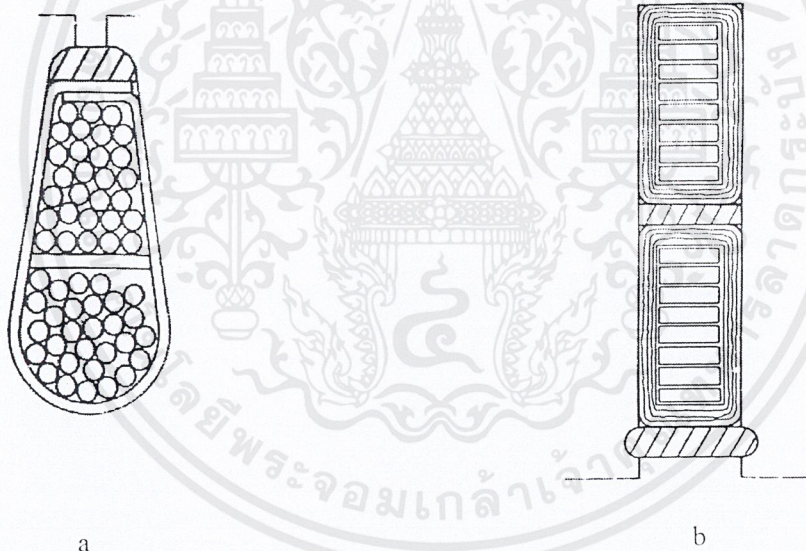
บทที่ 2

ทฤษฎีเบื้องต้น

2.1 บทนำ

2.1.1 Random Coils and Form Coil Windings [7]

ขดลวดสเตเตอร์ ถูกแบ่งออกเป็น แบบ Random และ แบบ Form การแบ่งทั่วไปคือส่วนบนของสล็อต ที่ทำการค้ำขดลวดเป็นส่วนแบบปิด หรือเป็นส่วนที่เปิด ขดลวดแบบ Random นั้นใช้กับส่วนที่ปิดของสล็อต ขดลวดชนิด Random ใช้กับ Machine ที่มีขนาดเล็กกว่า มีพิกัดกำลังที่ต่ำกว่า และพิกัดแรงดันสเตเตอร์ 600 โวลต์ หรือต่ำกว่านี้ ขดลวดแบบ Form จึงถูกใช้กับ Machine ที่มีขนาดใหญ่กว่าพิกัดกำลังสูงกว่าและมีพิกัดแรงดันสูงกว่า 600 โวลต์



รูปที่ 2.1(a) ภาพหน้าตัด 2 ด้านของขดลวด Random ในส่วนปิดของสเตเตอร์สล็อต

(b) ภาพหน้าตัด 2 ด้านของขดลวด Form ในส่วนเปิดของสเตเตอร์สล็อต

ปลายรอบของการพันแบบ Random ไม่สามารถยึดเพื่อต้านแรงสนามแม่เหล็กไฟฟ้าได้ตามต้องการ เหมือนกับปลายรอบของขดลวดแบบ Form โดยแรงจับยึดดังกล่าวมีความสัมพันธ์ที่ไม่สอดคล้องกับความยาว ปลายรอบและขนาดพิกัดกำลังของ Machine ดังนั้น บางสิ่งจึงถูกพิจารณาใหม่เช่น เมื่อเพิ่มขนาด Machine สามารถออกแบบเปลี่ยนแปลงจากการพันแบบ Random เป็นการพันแบบ Form เพราะผลจากการพิจารณาแรงยึดดังกล่าว ดังนั้นแม้ว่าการจนวนแบบ Random อันเดียวกันนี้เพียงพอทั้งหมด สำหรับแรงดันสเตเตอร์ที่ต่ำกว่า

และพิกัดกำลังที่ต่ำกว่า จุดนี้ต้องพิจารณาอีกครั้งเพราะการพิจารณาขนาดพิกัด ในการเปลี่ยนจากการพันแบบ Random เป็นแบบฟอร์มนั้น จะทำให้แรงดันและ พิกัดกำลังเพิ่มขึ้น การเปลี่ยนการพันโดยปกติทำให้แรงดัน สเตเตอร์ขนาด 600 โวลต์ และพิกัดกำลังปกติของ Machine ที่แรงดันดังกล่าว

2.1.2 ผลตอบสนองตามความถี่(Frequency Response)[8]

ความสัมพันธ์ที่มีโดเมนความถี่มีประโยชน์มาก ดังที่ทราบเพื่อการหา ฟังก์ชันโดเมนเวลาที่ตรงกัน การตอบสนองทางความถี่ของวงจรมีประโยชน์อย่างยิ่งโดยตรง ยกตัวอย่างเช่น ถ้าหากเราสนใจในความถี่ใดที่มี อิทธิพลในสัญญาณขาออก เรียกว่า $|V(j\omega_1)|$ จากนั้นเราพิจารณา $|V(j\omega)|$ เพียงขนาดความถี่ใดมีความสัมพันธ์ กับ $|V(j\omega)|$ ที่มีขนาดมากและความถี่ตรงที่สัมพันธ์กับแอมพลิจูดขนาดเล็ก

มีการประยุกต์ใช้งานมากมาย ในสิ่งที่การตอบสนองทางความถี่มีความสำคัญ สิ่งหนึ่งที่เป็นการใช้งาน เป็นปกติ คือการออกแบบอิเล็กทรอนิกส์ฟิวเตอร์ เป็นวงที่ส่งผ่านสัญญาณเฉพาะความถี่และกันสัญญาณที่ความถี่ อื่นๆ ถ้าแอมพลิจูดของสัญญาณขาออกของฟิวเตอร์คือ $|V(j\omega)|$ ดังนั้น สัญญาณจะผ่านถ้า $|V(j\omega_1)|$ มีขนาด ใหญ่ และสัญญาณจะถูกกันหากแอมพลิจูด $|V(j\omega)|$ มีขนาดเล็ก

2.1.2.1 การตอบสนองของแอมพลิจูด และ เฟส

$H(j\omega)$ เป็นฟังก์ชันของวงจร เป็นปริมาณทางเฟสเซอร์ซึ่งโดยทั่วไปเป็นฟังก์ชันจำนวนเชิงซ้อน มีส่วน จริงและส่วนจินตภาพดังนี้

$$H(j\omega) = \text{Re}H(j\omega) + jI_m H(j\omega) \text{-----} 2.1$$

ดังที่ทราบเราจะเขียนความสัมพันธ์ของเน็ตเวิร์ก(network)อยู่ในรูปโพลาร์(polar form)

$$H(j\omega) = |H(j\omega)| e^{j\phi(\omega)} \text{-----} 2.2$$

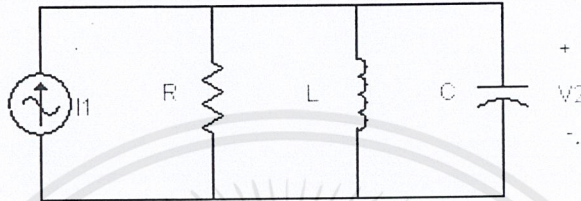
เมื่อ $H(j\omega)$ เป็นแอมพลิจูด ของการตอบสนองและ

$\phi(\omega)$ เป็นเฟสการตอบสนองให้ค่าทั้งสองดังกล่าวโดย

$$|H(j\omega)| = \sqrt{R^2 eH(j\omega) + I_m^2 H(j\omega)} \text{-----} 2.3$$

$$\phi(\omega) = \tan^{-1} \frac{I_m H(j\omega)}{\text{Re} H(j\omega)} \text{-----2.4}$$

แอมพลิจูดและเฟสของการตอบสนองเป็นกรณีพิเศษ ของการตอบสนองทางความถี่ ฟังก์ชันเน็ตเวิร์กของวงจรขนาน RLC ในรูปที่ 2.2 เป็นอินพุท อิมพีแดนซ์



รูปที่ 2.2 วงจรขนาน RLC

$$H(s) = \frac{V_2(s)}{I_1(s)} = Z(s) = \frac{1}{(1/R) + sC + (1/sL)} \text{-----2.5}$$

หรือ

$$H(s) = \frac{(1/C)s}{s^2 + (1/RC)s + (1/LC)} \text{-----2.6}$$

สำหรับ $s = j\omega$ จากสมการ 2.5 ได้

$$H(j\omega) = \frac{1}{(1/R) + j[\omega C - (1/\omega L)]} \text{-----2.7}$$

ดังนั้นการตอบสนองของแอมพลิจูดและเฟส คือ

$$\left| H(j\omega) \right| = \frac{1}{\sqrt{(1/R^2) + [\omega C - (1/\omega L)]^2}} \text{-----2.8}$$

$$\phi(\omega) = -\tan^{-1} R \left(\omega C - \frac{1}{\omega L} \right) \text{-----2.9}$$

เมื่อ R, L และ C เป็นค่าคงที่ ค่าแอมพลิจูดสูงสุด ปรากฏที่ค่าความถี่

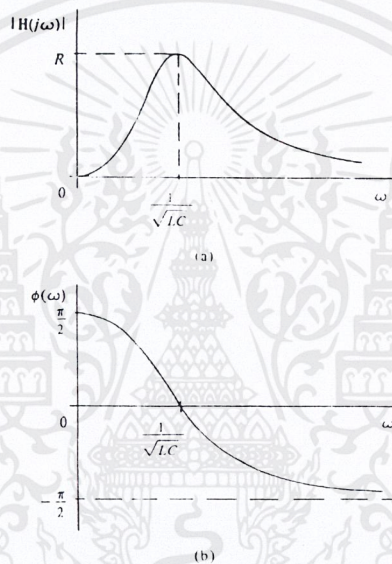
เมื่อตัวหารในสมการ 2.8 ต่ำสุด ปรากฏชัดเมื่อ

$$\omega C - \frac{1}{\omega L} = 0 \quad \text{หรือ} \quad \omega_0 = \frac{1}{\sqrt{LC}} \quad \text{-----2.10}$$

ดังนั้น

$$|H(j\omega)_{\max}| = |H(j\omega_0)| = R$$

ดังนั้นจะเห็นได้ชัดว่า $|H(j\omega)| \rightarrow 0$ ที่ $\omega \rightarrow 0$ และที่ $\omega \rightarrow \infty$ ดังนั้นการตอบสนองของแอมพลิจูดมีรูปแบบแสดงในรูปที่ 2.3 (a) ในทำนองเดียวกันเราจะสเกตช์ (sketch) การตอบสนองของเฟส แสดงในรูป 2.3 (b) เมื่อ $\phi(\omega) = 0$



รูปที่ 2.3 (a) แอมพลิจูด และ (b) เฟสของการตอบสนองของสมการ 2.7

เมื่อ

$$\phi(\omega) \rightarrow \pi/2 \text{ ที่ } \omega \rightarrow 0 \text{ และ } \phi(\omega) \rightarrow -\pi/2 \text{ เมื่อ } \omega \rightarrow \infty$$

ถ้าสัญญาณอินพุตของรูป 2.2 เป็นฟังก์ชัน โดเมนเวลา

$$i_1(t) = I_m \cos \omega t$$

เฟเซอร์ของสัญญาณอินพุตคือ $I_1 = I_m \angle 0^\circ$ และเฟเซอร์ของสัญญาณเอาต์พุตคือ

$$V_2 = I_m Z = I_m H$$

ดังนั้นแอมพลิจูดของเอาต์พุตเป็นฟังก์ชันเน็ตเวิร์กคูณกับค่าคงที่โดยเราจะได้รับข้อมูลเหมือนกันจากเน็ตเวิร์กฟังก์ชันและจากการตอบสนองของเอาต์พุต

2.1.2.2 เรโซแนนซ์ (Resonance)

เรานิยามการกระตุ้นเน็ตเวิร์กโดยไซน์ เพื่อเกิดเรโซแนนซ์ ณ จุดที่แอมพลิจูดของเน็ตเวิร์กฟังก์ชันถึงค่าสูงสุดหรือต่ำสุดโดยเด่นชัด ความถี่ที่ปรากฏถูกเรียกว่า ความถี่เรโซแนนซ์ ตัวอย่างวงจรขนาน RLC ในรูป 2.2 เกิดเรโซแนนซ์เมื่อความถี่ของฟังก์ชันการขับเป็น $\omega_0 = 1/\sqrt{LC}$ โดยถูกแสดงในหัวข้อการตอบสนองของแอมพลิจูดและเฟส ค่าแอมพลิจูดของฟังก์ชันเน็ตเวิร์กสูงสุดเกิดที่ ω_0 การตอบสนองของแอมพลิจูดในรูป 2.3 (a) แสดงลักษณะที่มีความสัมพันธ์กันของค่าสูงสุดที่ความถี่เรโซแนนซ์

ในวงจรขนาน RLC เราควรหมายเหตุไว้ว่าเน็ตเวิร์กฟังก์ชันในสมการ 2.5 จริง ๆ เป็นค่าอินพุตอิมพีแดนซ์ ความถี่เรโซแนนซ์ $\omega_0 = 1/\sqrt{LC}$ คือความถี่ที่อินพุตอิมพีแดนซ์มีเพียงส่วนจริง ดังในสมการ 2.7 ในความเป็นจริงผู้แต่งหลายท่านนิยามความถี่เรโซแนนซ์เจาะจงแบบนี้ในกรณีของ 2 เทอร์มินอลเน็ตเวิร์ก ส่วนกรณีทั่วไปแอมพลิจูดสูงสุด ไม่ได้ปรากฏเฉพาะเจาะจงที่ความถี่ของส่วนจริงของอิมพีแดนซ์เสมอไป แต่ปกติจะเกิดต่างออกไปเล็กน้อย ณ ตำแหน่งเรโซแนนซ์จะไม่มีผลกระทบขององค์ประกอบสะสมพลังงาน (reactance) จะมองเห็นเพียงความต้านทาน (pure resistance)

2.1.3 การกระจายของแรงดันบนขดลวดที่มีผลมาจาก step function voltage surge

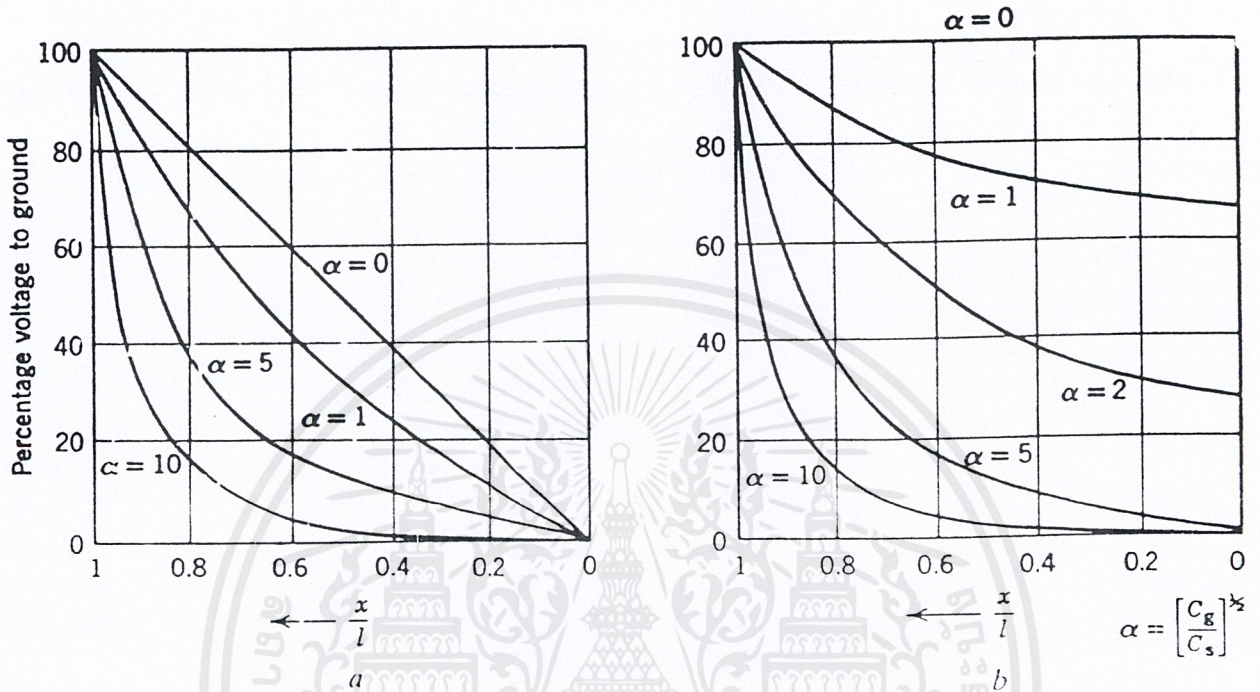
Step function surge เป็น surge ที่มีผลรุนแรงที่สุดและใกล้เคียงในทางปฏิบัติ ตัวอย่าง เช่น chopped wave นอกจากนี้รูปคลื่นอื่นๆจะประมาณการโดยการบวกกันของ step function ทั้งสองเครื่องหมายและหลายขนาดของ step function โดยประกอบด้วยย่านความถี่ที่ไม่สิ้นสุด

ในกรณีนิวตรอน (neutral) ต่อกราวด์

$$E = \frac{V \sinh(\alpha x/l)}{\sinh \alpha} \text{-----2.11}$$

ในกรณีนิวตรอน (neutral) ถูกแยก

$$E = \frac{V \cosh(\alpha x/l)}{\cosh \alpha} \text{-----2.12}$$

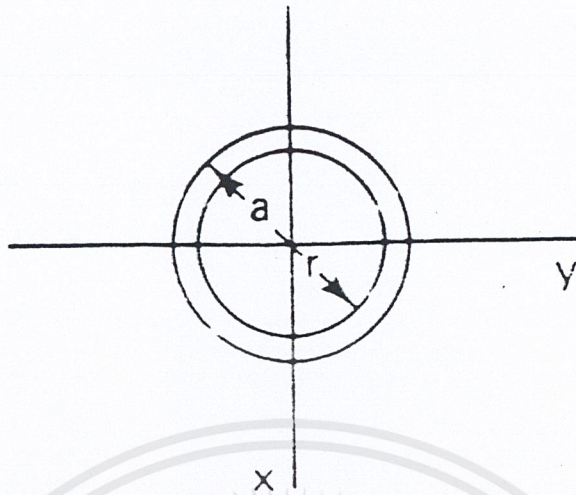


รูปที่ 2.4 การกระจายแรงดันเริ่มต้นบนขดลวดสมำเสมอ ในการตอบสนองกับ step function voltage surge
 (a) นีวตรอนต่อกราวด์ (b) นีวตรอนไม่ต่อกราวด์

ภายใต้ภาวะการณ์ที่มีเสีร็จ ฌนวนระหว่างรอบที่ปลายสายของขดลวดมีความเค้นรุนแรงมาก เมื่อเหตุผลนี้ถูกค้นพบครั้งแรก ไซ้อธิบายว่าทำไมหม้อแปลงโดยมากได้รับความเสียหายโดยเบรกดาวน์ของฌนวนในตำแหน่งนี้

2.1.4 ปรากฏการณ์ผิว(skin effect)[11]

ขณะกระแสตรงไหลในตัวนำ โดยมีค่าความหนาแน่นกระแส (J) แอมแปร์ต่อตารางเมตรคงที่บนหน้าตัดของตัวนำ จากกฎ Ampere's circulate พบสนามแม่เหล็ก H ภายในตัวนำตามทางเดินที่รัศมี a เมตรและ r เมตร ดังรูป 2.5 ตัวนำมีจุดศูนย์กลางบนแกน Z กระแสกำลังไหลเข้าสู่หน้ากระดาษ



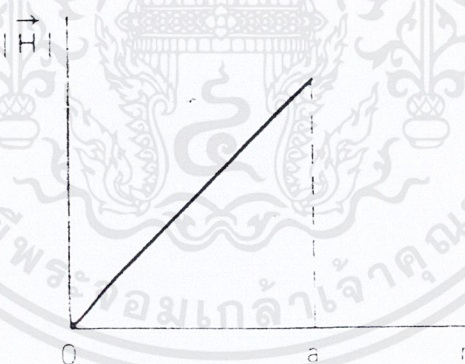
รูป 2.5 ตัวนำบนแกน Z

$$\oint H dl = I_{\text{linked}}$$

$$H 2\pi r = J(\text{area}) = (I / \pi a^2) (\pi r^2)$$

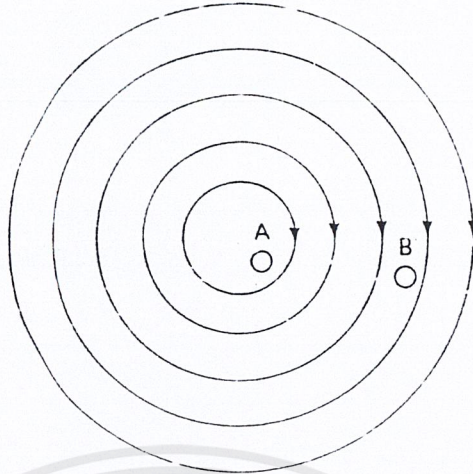
$$H = \frac{rI}{2\pi a^2}; r \leq a$$

ผลลัพธ์ที่ได้เป็นสมการเส้นตรงแสดงในรูป 2.6



รูป 2.6 |H| ต่อ r ภายในตัวนำ

ค่าความเข้มสนามแม่เหล็ก H เป็นศูนย์ที่จุดศูนย์กลางตัวนำและมีค่าสูงสุดที่ผิวหน้า เส้นฟลักซ์แม่เหล็ก รวมเกี่ยวค้ำล้อมกระแสภายในตัวนำ กระแสที่ไหลบริเวณศูนย์กลาง มีเส้นฟลักซ์แม่เหล็กเกี่ยวค้ำล้อมมากกว่า กระแสที่ไหลใกล้ผิวหน้าตัวนำแสดงในรูป 2.7



รูป 2.7 ฟลักซ์ที่เกี่ยวข้องกระแส

องค์ประกอบ A และ B มีพื้นที่หน้าตัดเดียวกันและค่าความหนาแน่นของกระแส (J) คงที่กระแสใน A ถูกเกี่ยวข้องกับฟลักซ์แม่เหล็กมากกว่ากระแสปริมาณเท่ากันใน B ความเหนี่ยวนำของ A จึงมากกว่าของ B และมีค่ารีแอกแตนซ์เพิ่มขึ้น เนื่องจากแรงดันตกคร่อมสายต่อหน่วยความยาวนั้นเท่ากันและค่าความเหนี่ยวนำที่จุดศูนย์กลางตัวนำมีค่ามาก และน้อยลงเมื่อเข้าสู่ผิวหน้า กระแสมีการกระจายตัวใหม่โดยกระแสมีค่าน้อยและรีแอกแตนซ์มีค่ามาก เมื่อเข้าไปใกล้ศูนย์กลางของตัวนำ และตรงกันข้ามกระแสจะมีค่ามาก และรีแอกแตนซ์มีค่าน้อย เมื่อเข้าไปใกล้บริเวณผิวหน้าตัวนำ

เรานิยามปริมาณ δ เป็นค่า “skin depth” หรือความลึกในการแทงเข้าไปในผิวตัวนำโดย

$$\delta = \frac{1}{\sqrt{\pi f \mu \sigma}} \text{-----} 2.13$$

มองที่ค่าความถี่ (f) ของทองแดง จาก

$$\delta = \frac{1}{\sqrt{\pi f \mu \sigma}} \quad \sigma = 5.8 \cdot 10^7 \text{ โอมห์ต่อเมตร}$$

$$\mu = 4 \pi \cdot 10^{-7} \text{ เฮนรี่ต่อเมตร}$$

$$\delta = \frac{1}{\sqrt{\pi f (4 \pi \cdot 10^{-7}) (5.8 \cdot 10^7)}} \\ = \frac{0.06608}{\sqrt{f}} \text{ เมตร}$$

ถ้าเราสร้างตารางขึ้นมาได้เห็นว่าเมื่อความถี่เพิ่มขึ้นค่า δ (skin depth) จะน้อยลง

Frequency(Hz)	δ (Meters)	δ (Centimeters)	δ (Millimeters)
60	$8.53 \cdot 10^{-3}$	0.85	8.53
1,000	$2.089 \cdot 10^{-3}$	0.2089	2.089
$1 \cdot 10^6$	$66.085 \cdot 10^{-6}$	$6.6 \cdot 10^{-3}$	0.066
$100 \cdot 10^6$	$6.608 \cdot 10^{-6}$	$660.8 \cdot 10^{-6}$	$6.6 \cdot 10^{-3}$
$1,000 \cdot 10^6$	$2.089 \cdot 10^{-6}$	$208.9 \cdot 10^{-6}$	$2.08 \cdot 10^{-3}$

ตาราง 2.1 ค่า skin depth ของทองแดง

เมื่อความถี่เพิ่มขึ้น ความหนาแน่นของกระแสที่ศูนย์กลางตัวนำน้อยมาก เมื่อเทียบกับความหนาแน่นกระแสที่ผิวหน้า สมมุติว่าเราเข้าไปอยู่ในตำแหน่งรัศมีเท่ากับ r ในตัวนำ โดย r เท่ากับรัศมีตัวนำลบด้วย skin depth

$$r = a - \delta \text{-----} 2.14$$



รูปที่ 2.8 skin depth

จากการคำนวณค่าความหนาแน่นของกระแส ตำแหน่งที่ลึก δ เมตร จากผิวหน้าตัวนำ มีค่าความหนาแน่นของกระแสประมาณ 1 ใน 10 ของค่าความหนาแน่นกระแสที่ผิวตัวนำ และมีกระแสน้อยมากที่ก้ำกึ่งไหล ณ ตำแหน่งศูนย์กลางของตัวนำในสถานะความถี่สูง จึงเป็นการประมาณค่าที่ดี โดยสมมุติว่าทั้งหมดไหลในวงแหวนที่มีความหนา δ ดังรูป 2.13

$$R_{a.c.} = \rho \frac{l}{A} \text{-----2.15}$$

$$\cong \rho \frac{l}{2\pi a \delta}$$

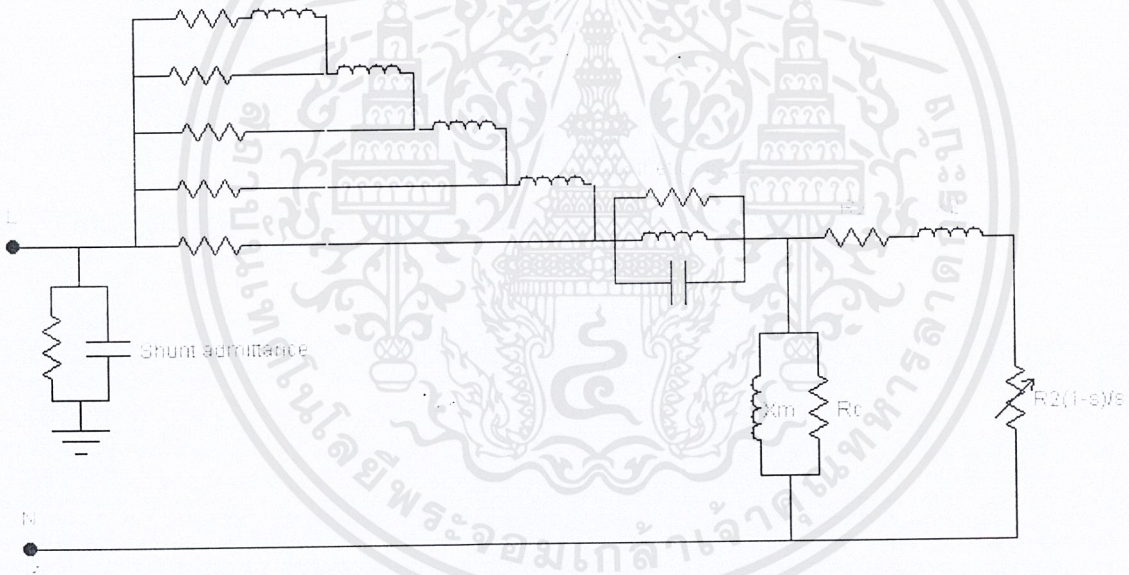
$$R_{d.c.} = \rho \frac{l}{\pi a^2} \text{-----2.16}$$

$$\text{ดังนั้น } \frac{R_{a.c.}}{R_{d.c.}} \cong \frac{\rho \frac{l}{2\pi a \delta}}{\rho \frac{l}{\pi a^2}}$$

$$\cong \frac{a}{2\delta} \text{-----2.17}$$

2.2 วงจรสมมูลของมอเตอร์เหนี่ยวนำ

Frequency dependent resistance



รูปที่ 2.9 โมเดลซึ่งขึ้นกับความถี่ของมอเตอร์เหนี่ยวนำ[4]

โดยแบ่งวงจรสมมูลออกเป็นส่วนประกอบด้วยกัน 4 ส่วน คือ

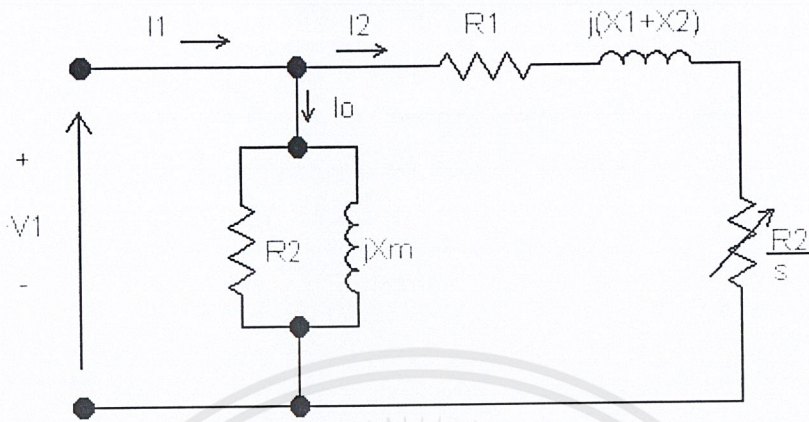
ส่วนที่ 1 หา Equivalent Circuit ของ Induction motor แบบ approximate

ส่วนที่ 2 หา Synthetic Circuit จากการวิเคราะห์ค่า impedance ด้วยเครื่อง Impedance Analyzer

ส่วนที่ 3 หา Shunt Admittance จากการวัดค่า แอดมิตแตนซ์ ด้วยเครื่อง impedance analyzer

ส่วนที่ 4 หา Frequency dependence resistance model

2.2.1 วงจรสมมูลที่หาได้จาก No Load Test, Block Rotor Test และ V-I Method



รูปที่ 2.10 วงจรสมมูลของมอเตอร์เหนี่ยวนำ [1]

เมื่อ

X_1 : Stator leakage reactance

X_2 : Rotor leakage reactance transfer to stator

R_1 : Stator resistance

R_2 : Rotor resistance transfer to stator

R_{fix} : Fix-loss resistance

X_m : Magnetizing resistance

$$S = (N_s - N_r) / N_s$$

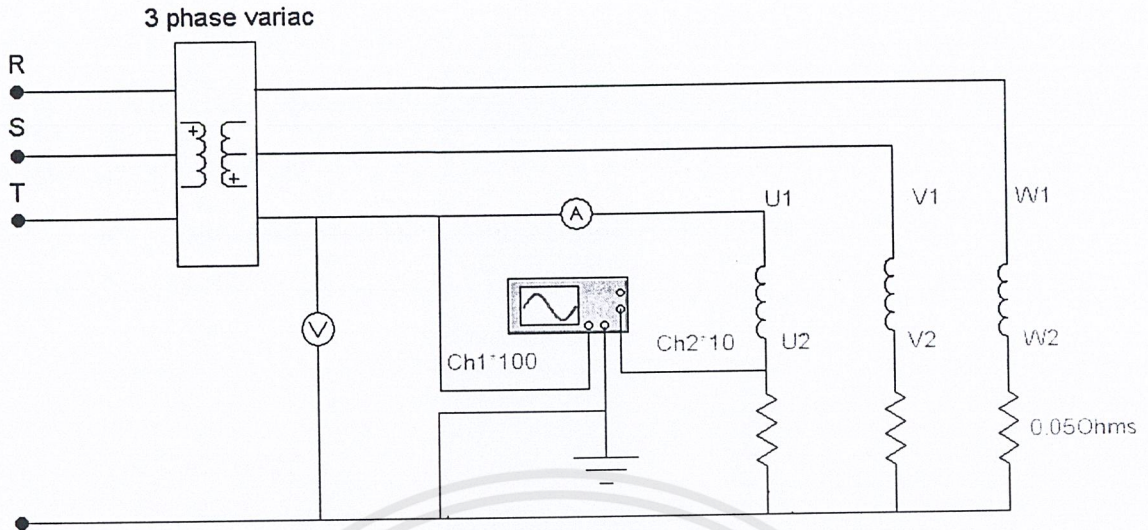
$$I_\phi = I_c + I_m = V_1 / R_{fix} + V_1 / j X_m$$

$$I_1 = I_2 + I_\phi$$

$$I_2 = V_1 / ((R_1 + R_2/s) + j(X_1 + X_2))$$

$$P_g = 3 \cdot |I_2|^2 \cdot R_2/s$$

$$T_c = P_g // \omega_s$$



รูปที่ 2.11 วงจรที่ใช้ทดสอบมอเตอร์เหนี่ยวนำ 3-เฟส ทางด้าน Stator winding

No-load test

$$R_{fix} = V_0 / (I_0 \cos \phi)$$

$$X_m = V_0 / (I_0 \sin \phi_0)$$

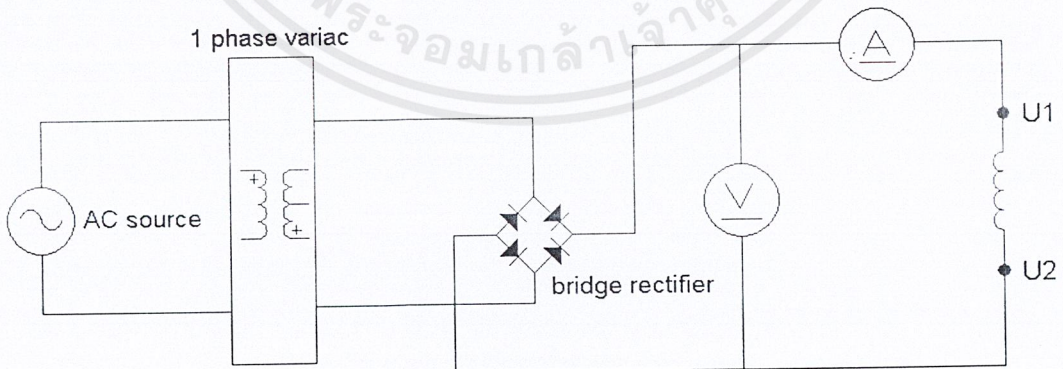
Block rotor test

$$Z_b = V_b / I_b \angle -\phi_b$$

$$= R_b + j X_b$$

$$R_b = R_1 + R_2$$

$$X_b = X_1 + X_2$$



รูปที่ 2.12 วงจรที่ใช้ทดสอบ V-I method

หาค่า R1 จาก V-I method test

$$R_1 = V/I$$

$$R_2 = R_b - R_1$$

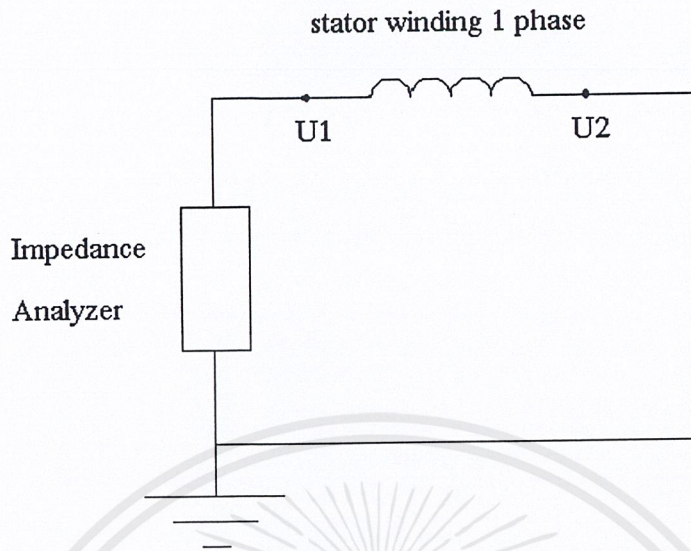
Empirical Distribution of leakage reactance ของมอเตอร์เหนี่ยวนำ

		Fraction of X1 + X2	
Motor class	Description	X1	X2
A	Normal starting torque, normal starting current	0.5	0.5
B	Normal starting torque, low starting current	0.4	0.6
C	High starting torque, low starting current	0.3	0.7
D	High starting torque, High slip	0.5	0.5

ตาราง 2.2 ตารางแสดงค่า Reactance ของ Motor class ต่างๆ

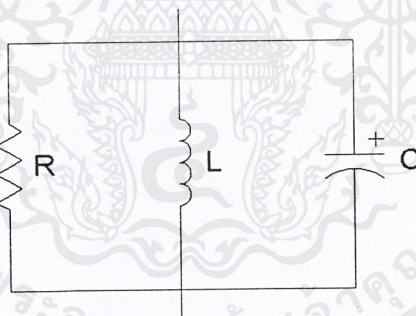
2.2.2 วงจรสมมูล Synthetic Circuit

วงจรสมมูล Synthetic Circuit ของ ขดลวดสเตเตอร์มอเตอร์เหนี่ยวนำได้จากการพิจารณา การตอบสนองทางความถี่โดยการวัดค่า series impedance ของขดลวดสเตเตอร์มอเตอร์เหนี่ยวนำ โดยเครื่อง impedance analyzer HP 4194A โดยต่อปลายทั้งสองด้านของขดลวดสเตเตอร์ 1 เฟสเข้ากับเครื่อง impedance analyzer ดังแสดงในรูปที่ 2.13 และปล่อยปลายของขดลวด 2 เฟสที่เหลือ ค่าอิมพีแดนซ์ และ มุมเฟส ที่ได้จากการวัดของขดลวดสเตเตอร์มอเตอร์เหนี่ยวนำ ที่ความถี่ต่างๆ



รูปที่ 2.13 แสดงการต่อวงจรเพื่อวัดค่า Series Impedance

ค่าความเหนี่ยวนำในวงจรสังเคราะห์นั้น ได้จากค่าเฉลี่ยของส่วนจินตภาพของอิมพีแดนซ์ที่ตอบสนองต่อความถี่ที่ทำการวัดโดยเครื่อง Impedance analyzer ค่าความจุทางไฟฟ้าคำนวณขึ้นโดยใช้ความสัมพันธ์ระหว่างค่าความเหนี่ยวนำและค่าความถี่เรโซแนนซ์ ดังสมการ



รูปที่ 2.14 วงจรขนาน RLC

$$Z = \frac{1}{(1/R) + j(\omega C - 1/\omega L)} \quad \text{-----2.18} \quad , Z_{\max} = R$$

$$|Z(j\omega)| = \frac{1}{\sqrt{(1/R)^2 + [\omega C - (1/\omega L)]^2}} \quad \text{-----2.19} \quad , \theta = \tan^{-1} R(\omega C - 1/\omega L)$$

ค่าแอมพลิจูดของ Z จะมีค่ามากที่สุดเมื่อ

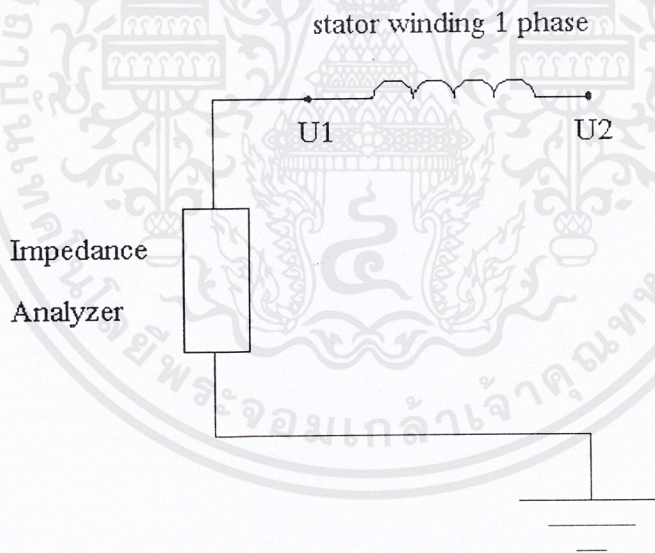
$$\therefore \omega C - (1/\omega L) = 0 ,$$

$$C = \frac{1}{(4\pi^2 f_0^2 L)} \text{-----2.20}$$

- เมื่อ C: ค่าความจุทางไฟฟ้าในวงจรสังเคราะห์ L-C
 L: ค่าความเหนี่ยวนำในวงจรสังเคราะห์ L-C
 F₀: ความถี่เรโซแนนซ์

2.2.3 วงจรสมมูลของ Shunt Admittance

วงจรสมมูลของ Shunt Admittance เราพิจารณาจากการวัดค่า แอดมิแตนซ์ ด้วย เครื่อง Impedance Analyzer โดยวิธีการ Open Circuit Stator Winding, Shunt Admittance ถูกเพิ่มในวงจรสังเคราะห์ เพื่อสร้างส่วนของความจุไฟฟ้าระหว่างขดลวดและกราวด์ เป็นตัวแทนของค่าความจุไฟฟ้าระหว่างขดลวดและกราวด์ ค่าของความจุไฟฟ้าและค่าความต้านทานเป็นค่าเฉลี่ยที่ได้จากการวัด ในการวัดการตอบสนองทางความถี่ของ แอดมิแตนซ์ ได้ทำการวัดระหว่างขดลวดกับกราวด์ (ส่วนเปลือกนอกของมอเตอร์) โดยทำการ Open Circuit Winding ดังรูป



รูปที่ 2.15 Shunt Admittance Measurement

ค่า แอดมิแตนซ์ และมุมเฟสที่วัดได้นี้เรานำไป คำนวณหาค่า G และ B เฉลี่ยตามสมการดังนี้

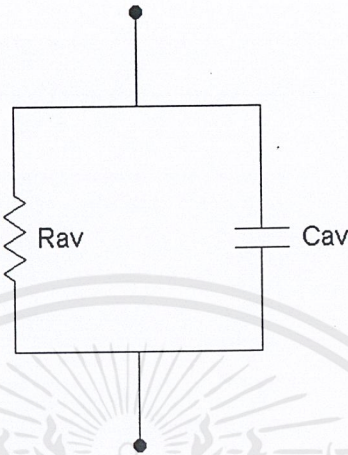
$$Y = G + j B$$

$$G = Y \cos (\theta_y)$$

$$B = Y \sin(\theta_v)$$

$$R = 1/G$$

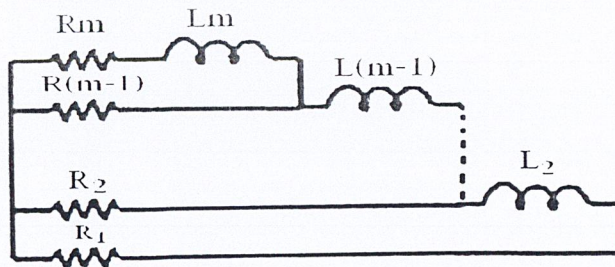
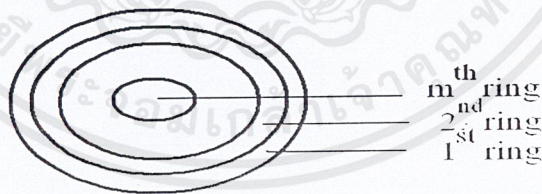
$$X_c = 1/B$$



รูป 2.16 วงจรสมมูล Shunt Admittance

2.2.4 วงจรสมมูลของ Frequency Dependence Resistance

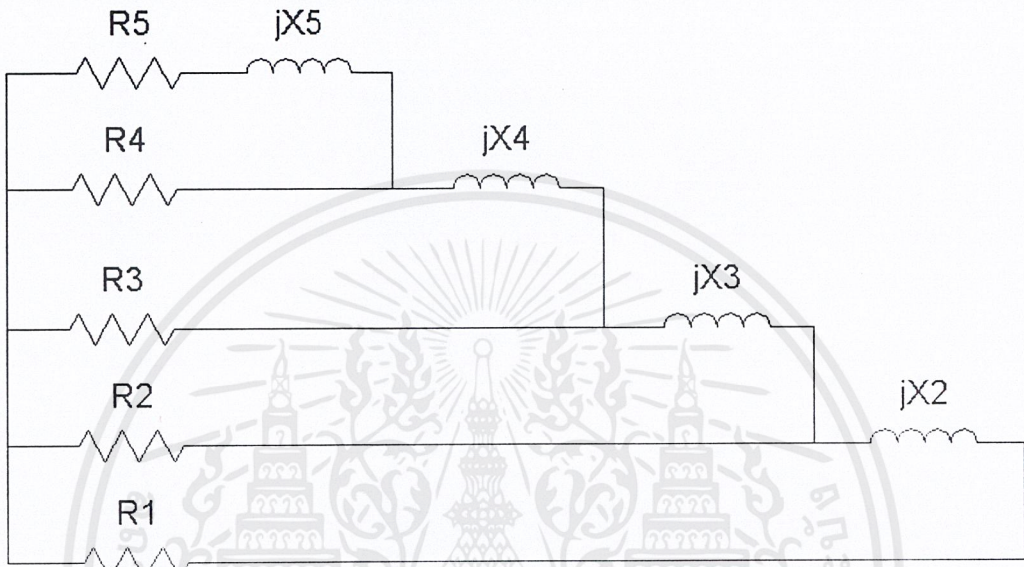
วงจรสมมูลของ Frequency Dependence Resistance หาโดยใช้หลักการ Time Domain Modeling of Frequency Dependence Three Phase Transmission line Impedance [6] ความต้านทานอันขึ้นกับความถี่ใน Time Domain Analysis ของค่าความสูญเสียในสายส่งวิธีการนี้เราแบ่ง cable ออกเป็น ชั้น(layer) โดยแต่ละ layer แสดงค่าที่เหมาะสมของการต่ออนุกรมความต้านทานและความเหนี่ยวนำ



รูปที่ 2.17 วงจรสมมูลของ Frequency Dependence Resistance

เอกสารนี้เป็นเอกสารที่สงวนไว้สำหรับการใช้งานเพื่อการศึกษาเท่านั้น ไม่อนุญาตให้นำไปใช้ประโยชน์ด้านการค้า ไม่ว่าจะกรณีใดๆ ทั้งสิ้น อีกทั้งห้ามมิให้ตัดแปลงเนื้อหาและต้องอ้างอิงถึงเจ้าของเอกสารทุกครั้งที่มีการนำไปใช้

จากการทดสอบด้วยวิธี V-I Method เราทราบค่า R_{dc} ของ Stator winding และจากทฤษฎีของ Chu-Sue Yen [10] สมมติแบ่ง cable ออกเป็น 5 layer โดยเราจะเลือกใช้อัตราส่วนของความต้านทานที่ layer ด้านนอกเป็น 2 เท่าของความต้านทานที่ layer ด้านใน ในการคำนวณของค่าความต้านทานเมื่อเปรียบเทียบกับสูตรค่าความต้านทานความถี่สูงของสาย cable ที่พิจารณาของผลของ skin effect



รูปที่ 2.18 The frequency dependent resistance ของมอเตอร์เหนี่ยวนำ

$$R_i = \frac{\rho l}{A_i}, \rho = 1.672 * 10^{-8}$$

$$L_i = \frac{\mu(r_{i-1} - r_i)}{2\pi r_i}$$

$$R_{dc} = \frac{\rho l}{A_{total}} \quad (i = 1, 2, 3, 4, 5); \rho = 1.672 * 10^{-8}$$

r_1 : from measurement

สูตรที่ใช้คำนวณหา Frequency Dependent Resistance

กำหนด $\rho_{cu} = 1.672 * 10^{-8}$, $\mu_{cu} = 1$ และจากการวัด Winding $r_1 = 0.04025$ mm

จาก V-I method $R_{dc} = 4.688 \Omega$

$$\frac{R_1}{R_2} = \frac{\frac{\rho l}{\pi(r_1^2 - r_2^2)}}{\frac{\rho l}{\pi(r_2^2 - r_3^2)}} = \frac{(r_2^2 - r_3^2)}{(r_1^2 - r_2^2)} = \frac{A_2}{A_1} = 2$$

$$\frac{R_2}{R_3} = 2 = \frac{(r_3^2 - r_4^2)}{(r_2^2 - r_3^2)} = \frac{A_3}{A_2}$$

$$\frac{R_3}{R_4} = 2 = \frac{(r_4^2 - r_5^2)}{(r_3^2 - r_4^2)} = \frac{A_4}{A_3}$$

$$\frac{R_4}{R_5} = 2 = \frac{(r_5^2)}{(r_4^2 - r_5^2)} = \frac{A_5}{A_4}$$

ให้ $A_1 = a$

$$A_2 = 2a$$

$$A_3 = 4a$$

$$A_4 = 8a$$

$$A_5 = 16a, A_5 = \pi r_5^2$$

$$\text{total area of winding} = A_1 + A_2 + A_3 + A_4 + A_5 = 31a$$

$$R_{dc} = \frac{\rho l}{A_{total}} = \frac{\rho l}{31a} = \frac{\rho l}{\pi r_1^2}$$

$$R_5 = \frac{\rho l}{16a} = \frac{\rho l}{\pi r_5^2}; \frac{R_{dc}}{R_5} = \frac{16a}{31a} = \frac{\pi r_5^2}{\pi r_1^2} = \left(\frac{r_5}{r_1}\right)^2$$

$$R_i = \frac{\rho l}{A_i} (i = 1, 2, 3, 4, 5); \rho = 1.672 * 10^{-8}$$

$$\frac{r_1}{r_5} = \sqrt{\frac{16}{31}}$$

$$, r_5 = \sqrt{\frac{16}{31}} * r_1 : \text{find } r_5$$

$$\frac{A_5}{A_4} = \frac{\pi r_5^2}{\pi(r_4^2 - r_5^2)} = 2, r_5^2 = 2r_4^2 - 2r_5^2$$

$$, r_4 = \sqrt{\frac{3r_5^2}{2}} : \text{find } r_4$$

$$\frac{A_4}{A_3} = \frac{\pi(r_4^2 - r_5^2)}{\pi(r_3^2 - r_4^2)} = 2, (r_4^2 - r_5^2) = 2r_3^2 - 2r_4^2$$

$$, r_3 = \sqrt{\frac{3r_4^2 - r_5^2}{2}} : \text{find } r_3$$

$$\frac{A_3}{A_2} = \frac{\pi(r_3^2 - r_4^2)}{\pi(r_2^2 - r_3^2)} = 2, (r_3^2 - r_4^2) = 2r_2^2 - 2r_3^2$$

$$, r_2 = \sqrt{\frac{3r_3^2 - r_4^2}{2}} : \text{find } r_2$$

$$\frac{A_2}{A_1} = \frac{\pi(r_2^2 - r_3^2)}{\pi(r_1^2 - r_2^2)} = 2, (r_2^2 - r_3^2) = 2r_1^2 - 2r_2^2$$

$$, r_1 = \sqrt{\frac{3r_2^2 - r_3^2}{2}} : \text{find } r_1$$

$$\text{FROM } L_i = \frac{\mu(r_{i-1} - r_i)}{2\pi r_i}$$

$$L_2 = \frac{\mu(r_1 - r_2)}{2\pi r_2}$$

$$L_3 = \frac{\mu(r_2 - r_3)}{2\pi r_3}$$

$$L_4 = \frac{\mu(r_3 - r_4)}{2\pi r_4}$$

$$L_5 = \frac{\mu(r_4 - r_5)}{2\pi r_5}$$



บทที่ 3

วงจรสมมูลที่ได้จากการทดลอง Motor 2 แรงม้า

3.1 การทดลองเพื่อหาวงจรสมมูลโดยวิธี No Load Test, Block Rotor Test, V-I Method

3.1.1 ผลการทดลอง 2 แรงม้า(Hp) โดย V-I method

ค่า	ครั้งที่ 1	ครั้งที่ 2	ครั้งที่ 3	ครั้งที่ 4	ครั้งที่ 5
V	10	14	18	23	28
I	2	3	4	5	6
R	5	4.67	4.5	4.6	4.67

ตารางที่ 3.1 ผลการทดลองโดย V-I method

$$R1 = (R1 + R2 + R3 + R4 + R5) / 5$$

$$R1 = (5+4.67+4.5+4.6+4.67)/5$$

$$= 4.688 \Omega$$

$$Zb = Vb / Ib < -\phi_b = 70 / 3.8 < -61.2^\circ = 18.42 < 61.2^\circ$$

$$Rb = 18.42 \cos 61.2^\circ = 8.87 \Omega$$

$$Xb = 18.42 \sin 61.2^\circ = 16.14 \Omega$$

$$R2 = Rb - R1$$

$$R2 = 8.87 - 4.69 = 4.18 \Omega$$

$$J(X1+X2) = Xb$$

จากตาราง 2.2 Empirical Distribution of leakage reactance ของมอเตอร์เหนี่ยวนำ class A

$$X1 = X2 = 0.5Xb = 16.14/2 = 8.07 \Omega$$

3.1.2 ผลการทดลองโดยวิธี NO LOAD TEST

CH1 Volt/div = 10 V/Div, Time/DIV = 2 ms, Probe X 10

CH2 Volt/div = 0.1 V/Div, Time/DIV = 2 ms, Probe X 1

Vo	Io	ϕ_o
220 V	2.55 A	86.4°

ตารางที่ 3.2 ผลการทดลองโดยวิธี NO LOAD TEST

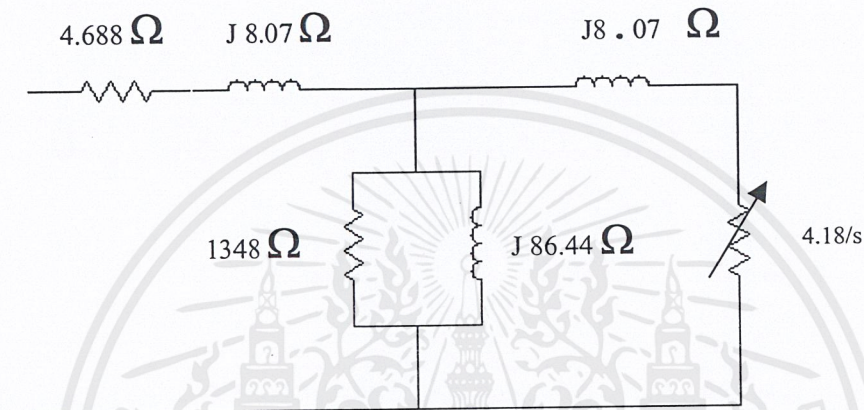
3.1.3 ผลการทดลองโดยวิธี BLOCK ROTOR TEST

CH1 Volt/div = 10 V/Div, Time/DIV = 2 ms, Probe X 10

CH2 Volt/div = 0.1 V/Div, Time/DIV = 2 ms, Probe X 10

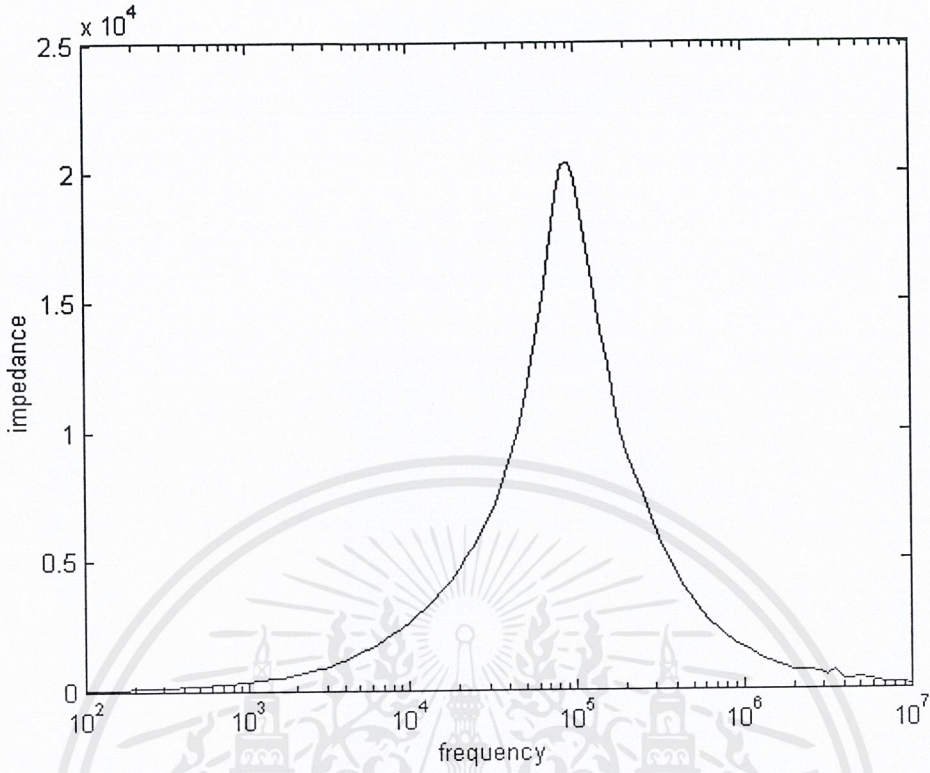
Vb	Ib	ϕ_b
70 V	3.8 A	61.2°

ตารางที่ 3.3 ผลการทดลองโดยวิธี BLOCK ROTOR TEST

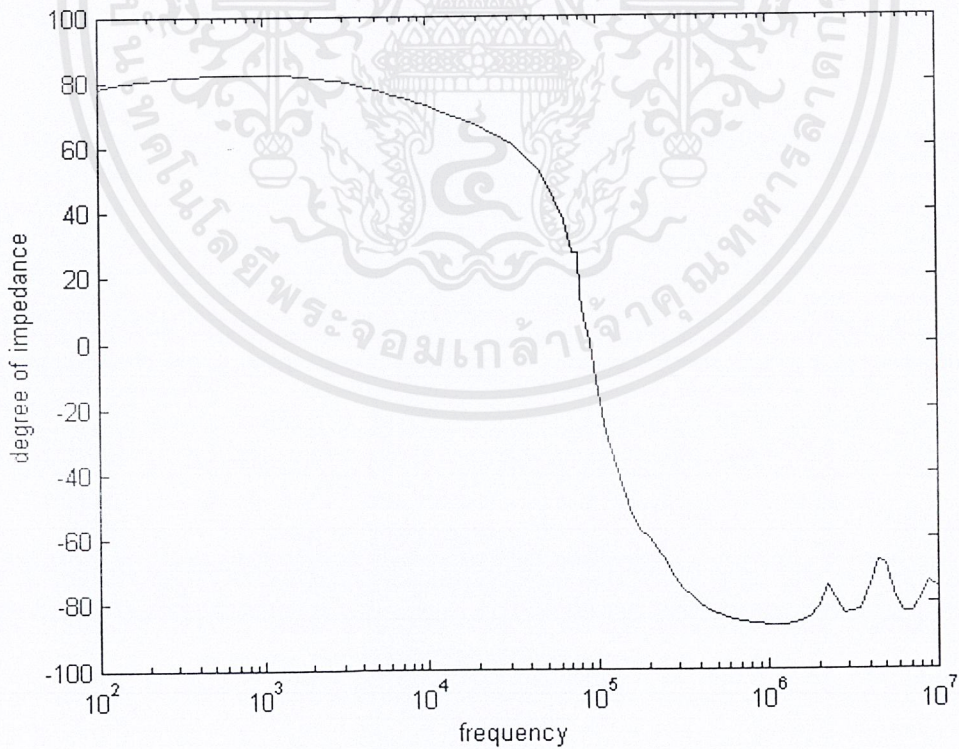


รูปที่ 3.1 รูปวงจรสมมูล (Equivalent circuit) ของมอเตอร์เหนี่ยวนำ

3.2 การทดลองเพื่อหาวงจรสังเคราะห์(Synthetic Circuit)



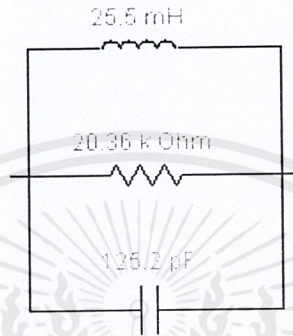
รูปที่ 3.2 ผลการวัด series impedance ของในขดลวดมอเตอร์เหนี่ยวนำที่ขึ้นอยู่กับความถี่



รูปที่ 3.3 ผลการวัดมุมเฟส $\theta(Z)$ ของ series impedance ในขดลวดมอเตอร์เหนี่ยวนำที่ขึ้นอยู่กับความถี่

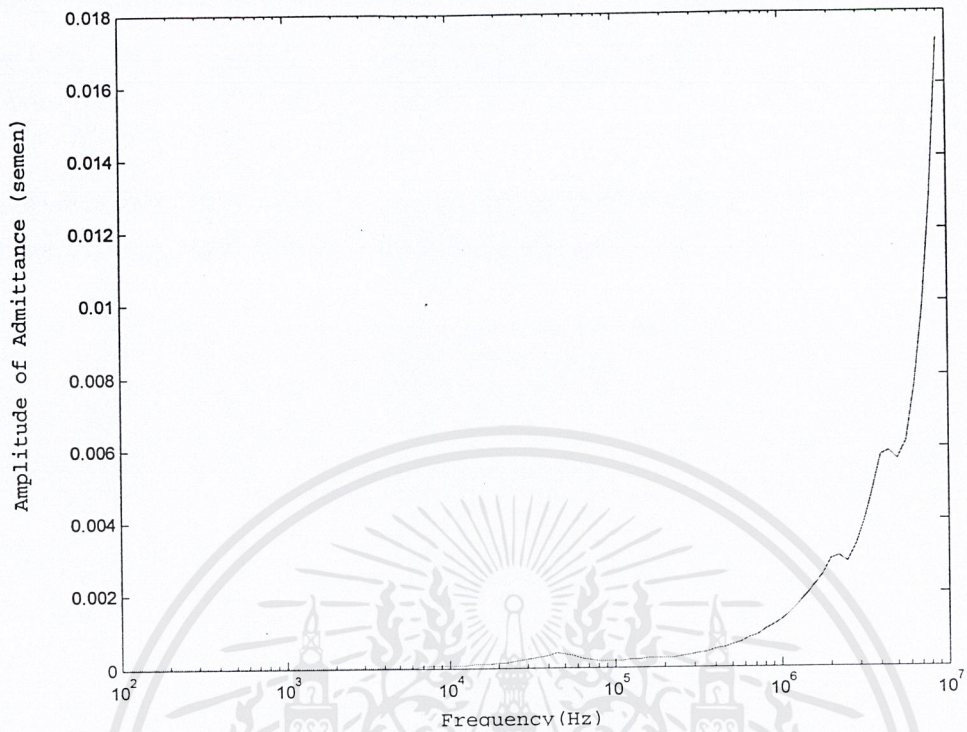
รูปแบบของ L-C ขนานของ Foster's circuits[9] ถูกนำมาใช้ในการสังเคราะห์ equivalent circuit ที่มีการตอบสนองความถี่เช่นเดียวกันให้กับขดลวดมอเตอร์เหนี่ยวนำดังกล่าว โดยครอบคลุมย่านความถี่ 100 Hz ถึง 10MHz จากผลการทดลองดังแสดงในรูปที่ 3.2 และ 3.3 เกิด resonance 1 จุด ที่ความถี่ 89.125 kHz ดังนั้นจึงสร้าง L-C circuit เพียง 1 วงจร

ค่าความต้านทานที่ถูกต่อขนานในวงจรสังเคราะห์ L-C ได้มาจากค่าความต้านทานได้จากส่วนจริงของค่าอิมพีแดนซ์ที่ความถี่เรโซแนนซ์ วงจรสังเคราะห์ได้แสดง ดังรูป

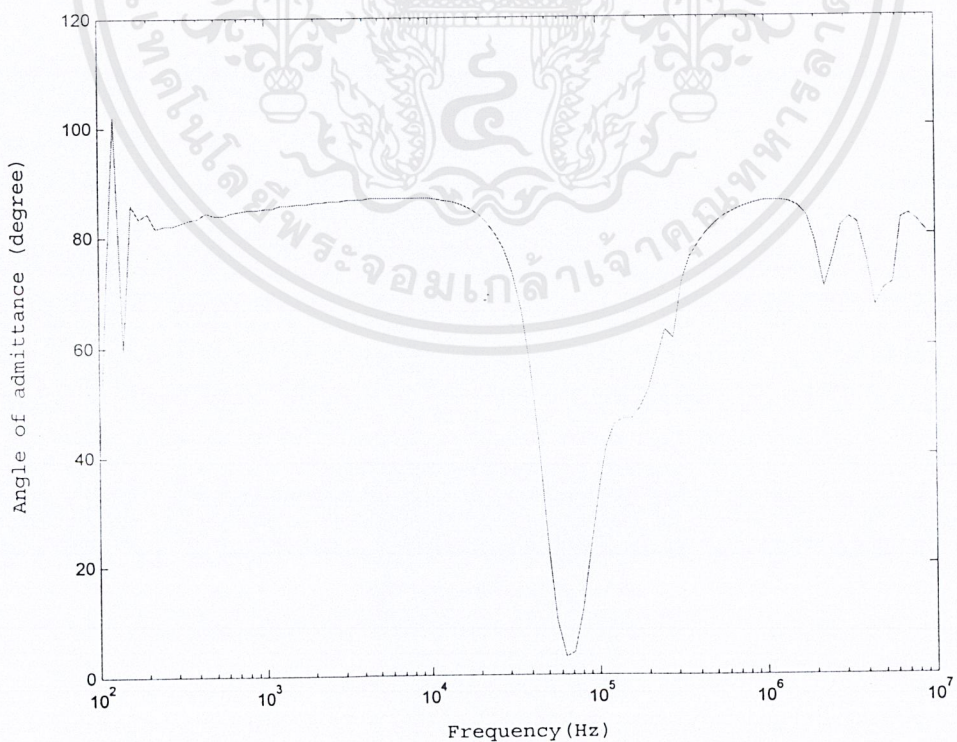


รูปที่ 3.4 วงจรสมมูล Synthetic Circuit ที่คำนวณได้

3.3 ผลที่ได้จากการวัดค่า admittance และ phase angle โดยเครื่อง impedance analyzer

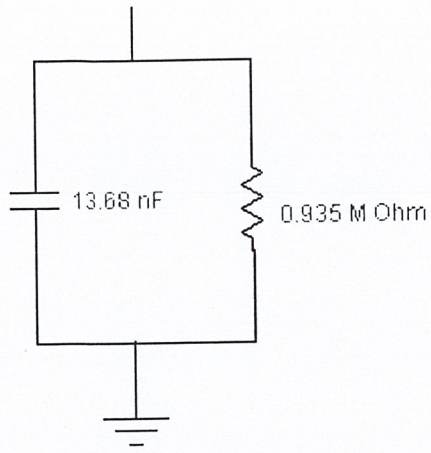


รูปที่ 3.5 ผลการวัดค่า shunt admittance ของขดลวดมอเตอร์เหนี่ยวนำ ที่ขึ้นกับกับความถี่



รูปที่ 3.6 ผลการวัดค่ามุมเฟสของ admittance ในขดลวดมอเตอร์เหนี่ยวนำที่ขึ้นกับกับความถี่

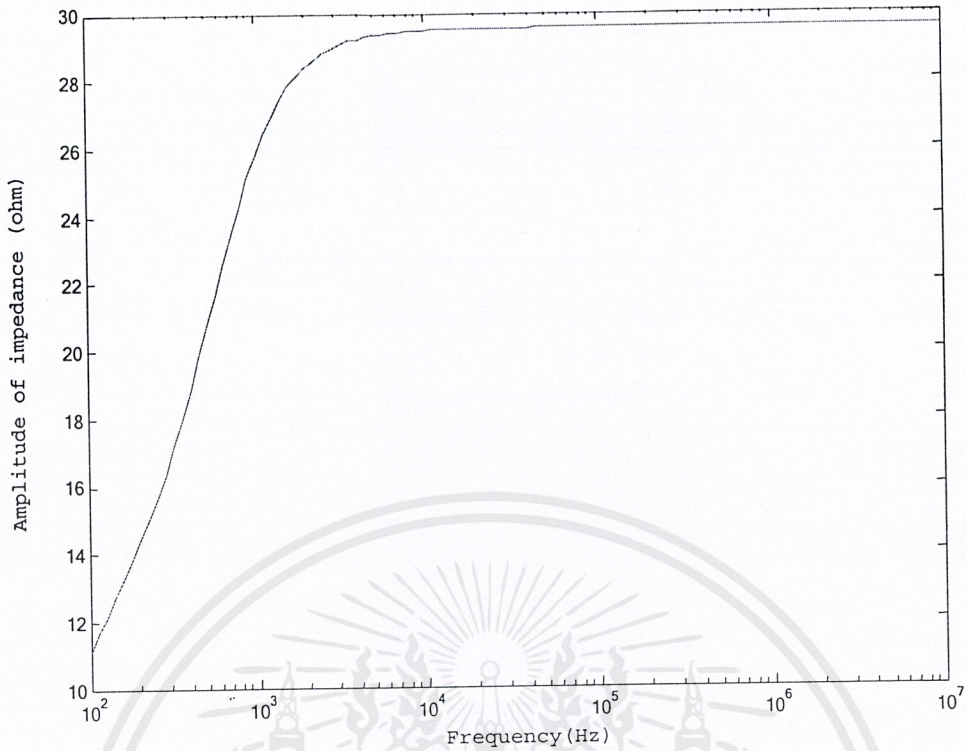
เอกสารนี้เป็นเอกสารที่สงวนไว้สำหรับการใช้งานเพื่อการศึกษาเท่านั้น ไม่อนุญาตให้นำไปใช้ประโยชน์ด้านการค้า ไม่ว่าจะกรณีใดๆ ทั้งสิ้น อีกทั้งห้ามมิให้ตัดแปลงเนื้อหาและต้องอ้างอิงถึงเจ้าของเอกสารทุกครั้งที่มีการนำไปใช้



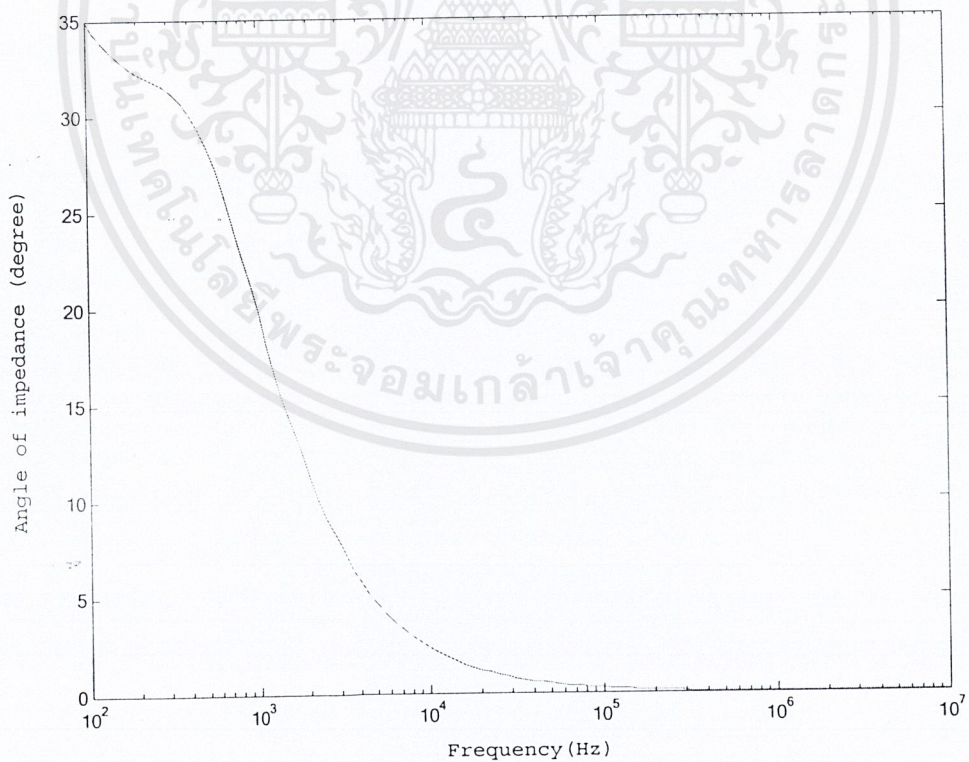
รูปที่ 3.7 วงจรสมมูล Shunt Admittance ที่คำนวณได้



3.4 ผลที่ได้จาก Frequency Dependence Resistance



รูปที่ 3.8 ค่า Impedance ในขดลวดมอเตอร์เหนี่ยวนำที่ขึ้นกับความถี่



รูปที่ 3.9 ค่ามุมเฟสของ Impedance ในขดลวดมอเตอร์เหนี่ยวนำที่ขึ้นกับความถี่

สูตรที่ใช้คำนวณหา Frequency Dependent Resistance

กำหนด $\rho_{cu} = 1.672 \cdot 10^{-8}$, $\mu_{cu} = 1$ และจากการวัด Winding $r_1 = 0.04025$ mm

จาก V-I method $R_{dc} = 4.688 \Omega$

$$FROM \quad R_i = \frac{\rho l}{\pi(r_i^2 - r_{i+1}^2)}$$

$$\frac{R_1}{R_2} = \frac{\frac{\rho l}{\pi(r_1^2 - r_2^2)}}{\frac{\rho l}{\pi(r_2^2 - r_3^2)}} = \frac{(r_2^2 - r_3^2)}{(r_1^2 - r_2^2)} = \frac{A_2}{A_1} = 2$$

$$\frac{R_2}{R_3} = 2 = \frac{(r_3^2 - r_4^2)}{(r_2^2 - r_3^2)} = \frac{A_3}{A_2}$$

$$\frac{R_3}{R_4} = 2 = \frac{r_4^2}{(r_3^2 - r_4^2)} = \frac{A_4}{A_3}$$

ให้ $A_1 = a$

$$A_2 = 2a$$

$$A_3 = 4a$$

$$A_4 = 8a = \pi r_4^2$$

Total area of winding = $A_1 + A_2 + A_3 + A_4 = 15a$

$$R_{dc} = \frac{\rho l}{A_{total}} = \frac{\rho l}{15a} = \frac{\rho l}{\pi r_1^2}$$

$$R_4 = \frac{\rho l}{8a} = \frac{\rho l}{\pi r_4^2}$$

$$\frac{R_{dc}}{R_4} = \frac{8a}{15a} = \frac{\pi r_4^2}{\pi r_1^2} = \left(\frac{r_4}{r_1}\right)^2$$

$$R_i = \frac{\rho l}{A_i} \quad (i = 1, 2, 3, 4, 5) \quad ; \rho = 1.672 \cdot 10^{-8}$$

จากทฤษฎี [10] ต้องคูณ R_i ด้วย 0.9

$$ได้ \quad R_4 = 7.9110 \Omega$$

$$R_3 = 15.8220 \Omega$$

$$R_2 = 31.6440 \Omega$$

$$R_1 = 63.2880 \Omega$$

$$\frac{r_1}{r_4} = \sqrt{\frac{8}{15}}$$

$$, r_4 = \sqrt{\frac{8}{15}} * r_1 : \text{find } r_4$$

$$\frac{A_4}{A_3} = \frac{\pi r_4^2}{\pi(r_3^2 - r_4^2)} = 2, r_4^2 = 2r_3^2 - 2r_4^2$$

$$, r_3 = \sqrt{\frac{3r_4^2}{2}} : \text{find } r_3$$

$$\frac{A_3}{A_2} = \frac{\pi(r_3^2 - r_4^2)}{\pi(r_2^2 - r_3^2)} = 2, (r_3^2 - r_4^2) = 2r_2^2 - 2r_3^2, r_2 = \sqrt{\frac{3r_3^2 - r_4^2}{2}} : \text{find } r_2$$

$$\frac{A_2}{A_1} = \frac{\pi(r_2^2 - r_3^2)}{\pi(r_1^2 - r_2^2)} = 2, (r_2^2 - r_3^2) = 2r_1^2 - 2r_2^2, r_1 = \sqrt{\frac{3r_2^2 - r_3^2}{2}} : \text{find } r_1$$

ได้ $r_1 = 0.04025$ mm จากการวัด

$$r_2 = 0.03889 \text{ mm}$$

$$r_3 = 0.0360. \text{ mm}$$

$$r_4 = 0.2939 \text{ mm}$$

$$\text{FROM } L_i = \frac{\mu(r_{i-1} - r_i)}{2\pi r_i}$$

$$L_2 = \frac{\mu(r_1 - r_2)}{2\pi r_2}$$

$$L_3 = \frac{\mu(r_2 - r_3)}{2\pi r_3}$$

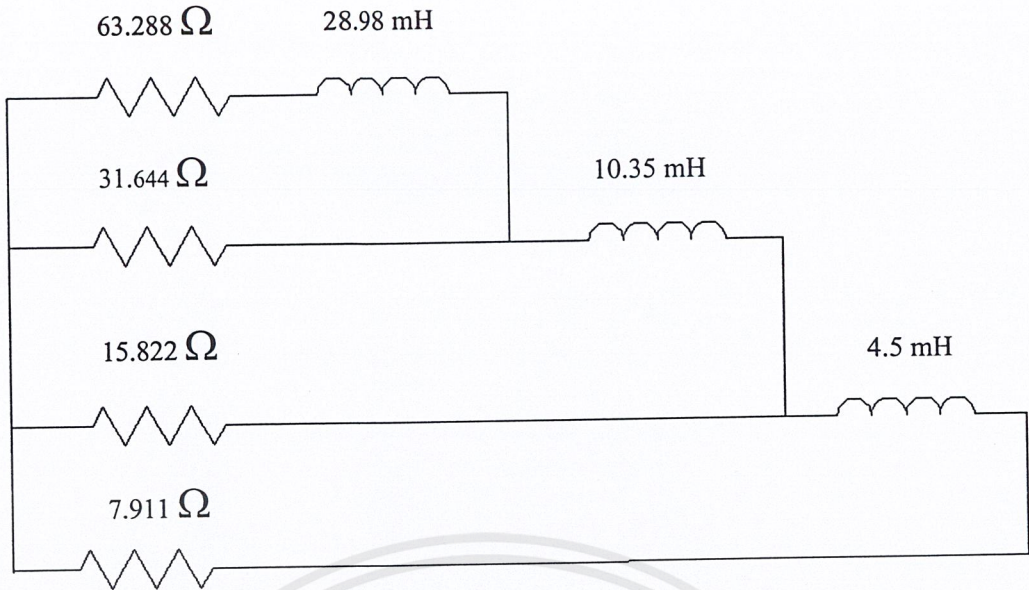
$$L_4 = \frac{\mu(r_3 - r_4)}{2\pi r_4}$$

จากทฤษฎี [10] ต้องคูณ L_i ด้วย 0.9

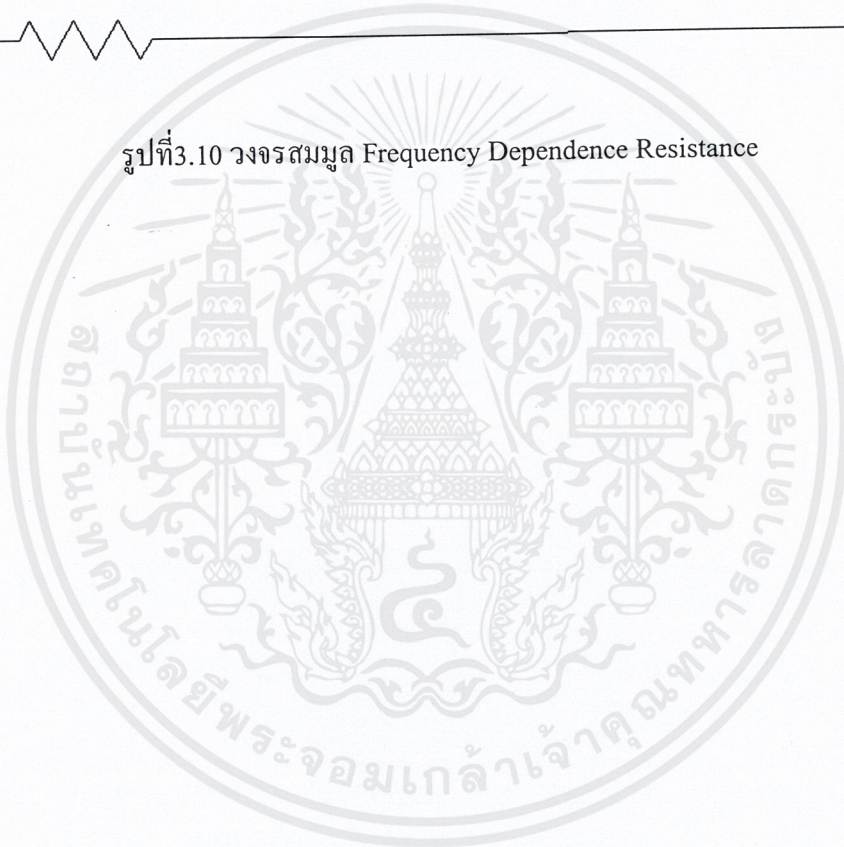
$$\text{ได้ } L_2 = 4.5 \text{ mH}$$

$$L_3 = 10.35 \text{ mH}$$

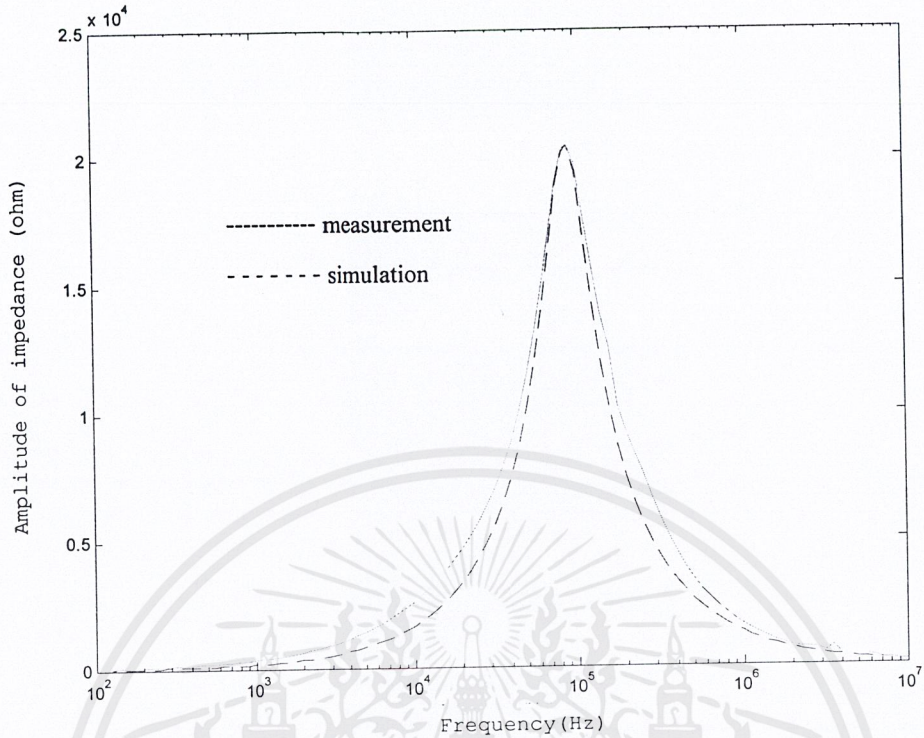
$$L_4 = 28.98 \text{ mH}$$



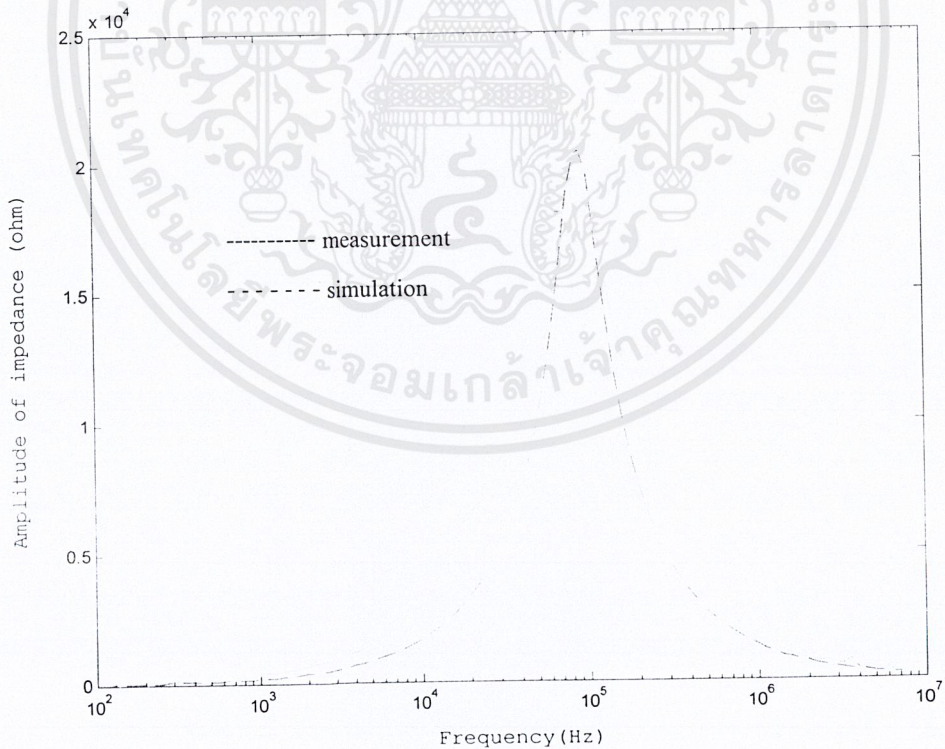
รูปที่ 3.10 วงจรสมมูล Frequency Dependence Resistance



3.5 เปรียบผลที่ได้จากวัดและการคำนวณโดยทฤษฎี

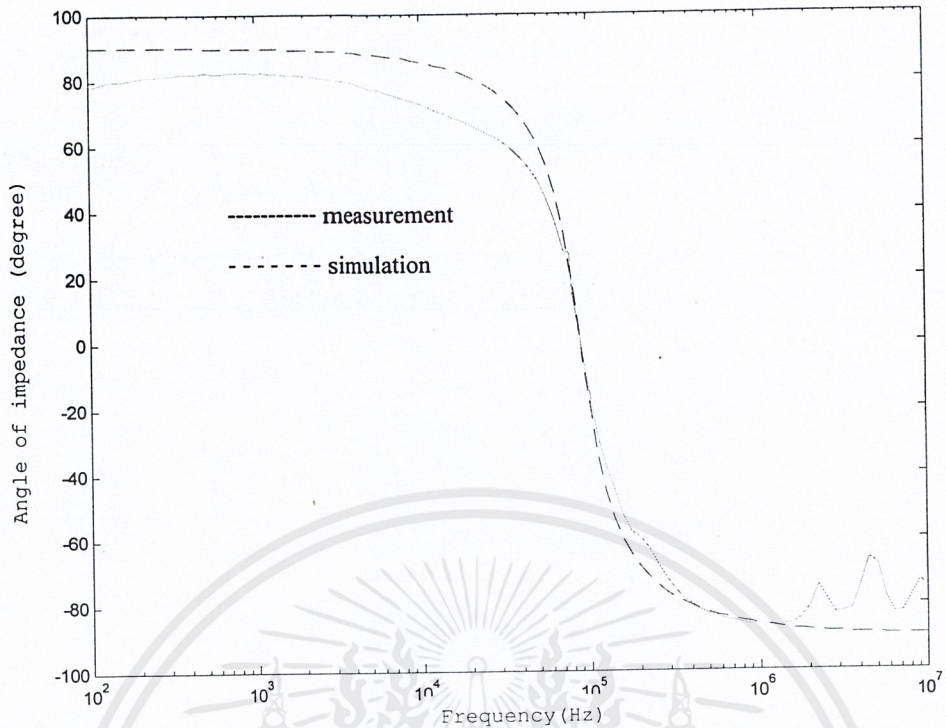


รูปที่ 3.11 กราฟของค่า Impedance ได้จากวงจรสังเคราะห์ (synthesis circuit) เมื่อเปรียบกับค่าที่วัด

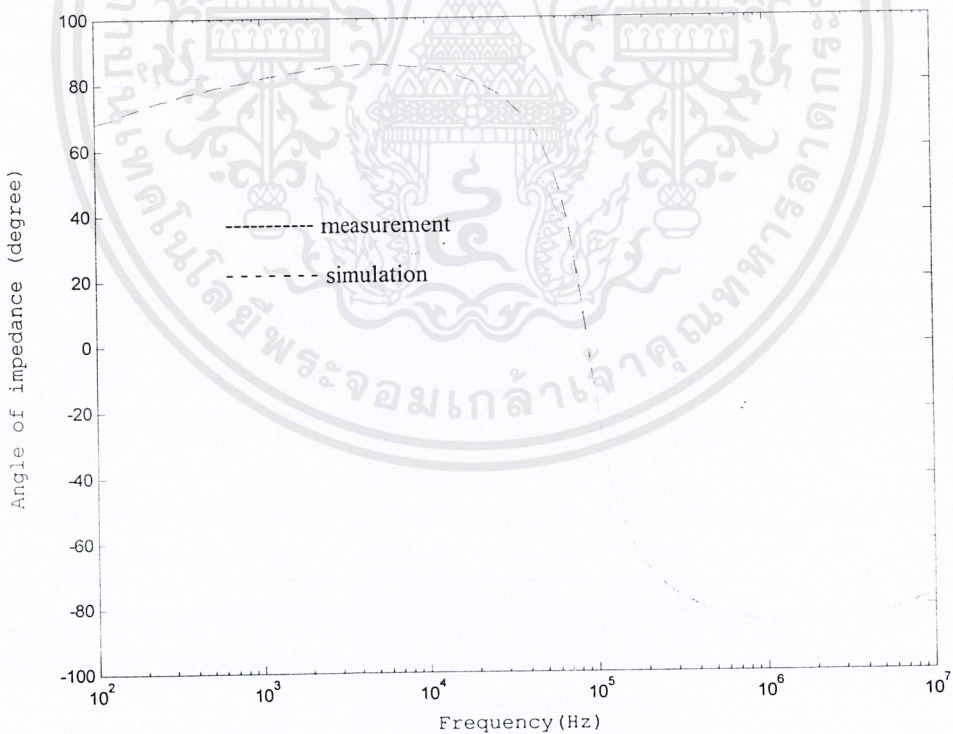


รูปที่ 3.12 กราฟของค่า Impedance ได้จากวงจรสังเคราะห์ (synthesis circuit)

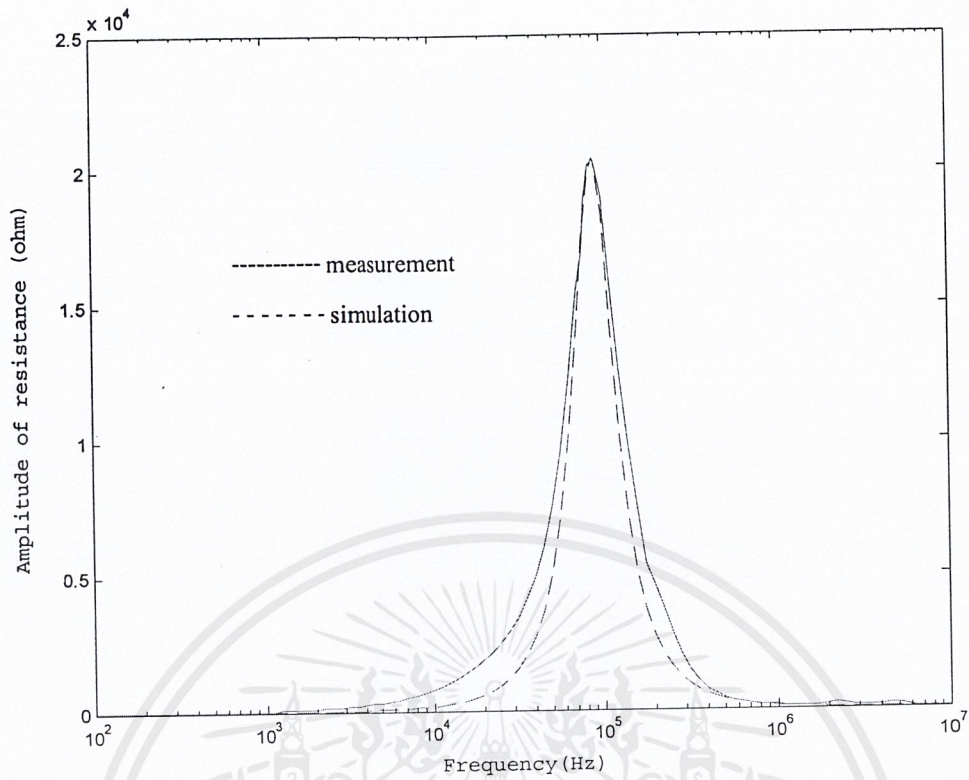
เมื่อปรับด้วย frequency dependent resistance แล้วเปรียบเทียบกับค่าที่วัด



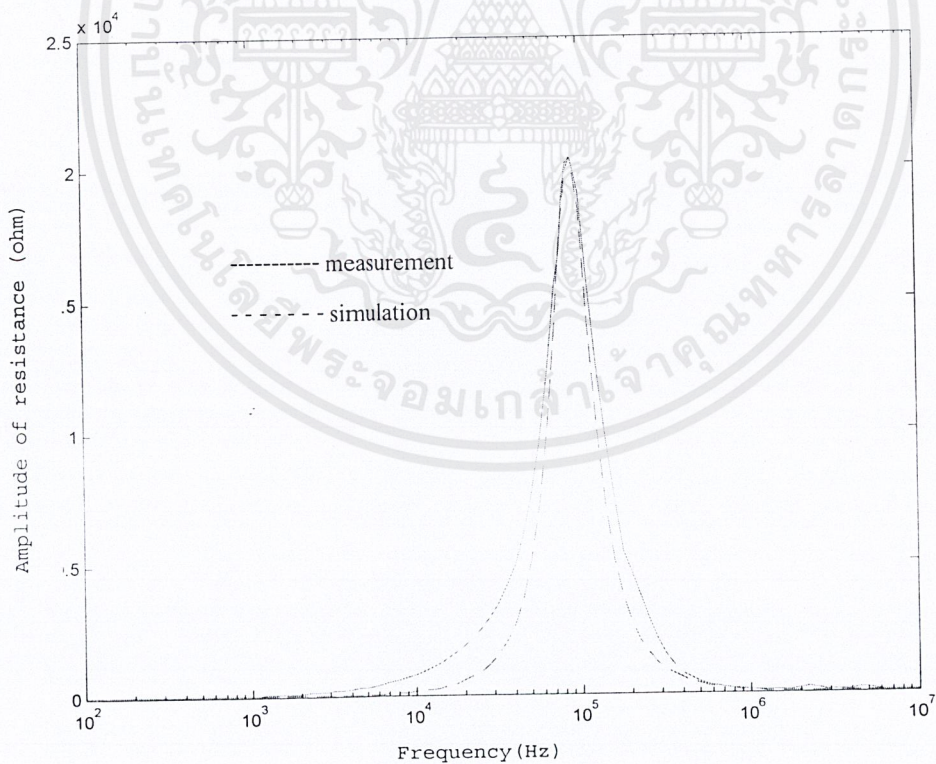
รูปที่ 3.13 มุมของ Impedance จากวงจรสังเคราะห์ (synthesis circuit) เมื่อเปรียบเทียบกับค่าที่วัด



รูปที่ 3.14 ค่า มุม ของ Impedance จากวงจรสังเคราะห์ (synthesis circuit) เมื่อปรับด้วย frequency dependent resistance แล้วเปรียบเทียบกับค่าที่วัด

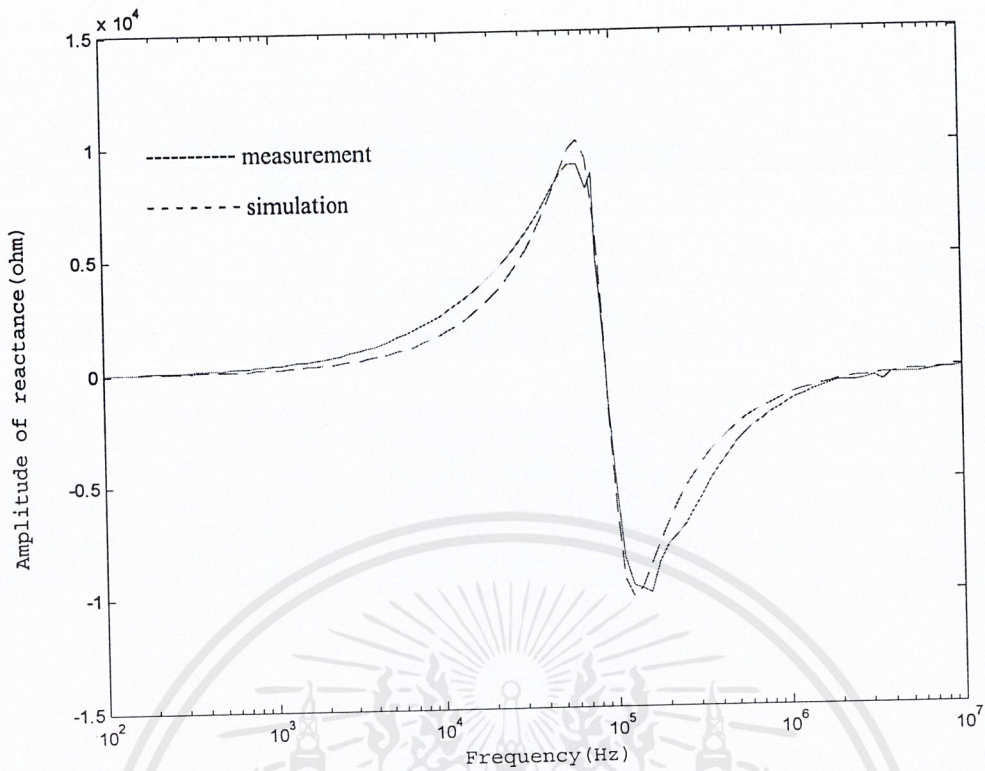


รูปที่ 3.15 กราฟของค่าส่วนจริงของ Impedance ที่ได้จากวงจรสังเคราะห์ (synthesis circuit)

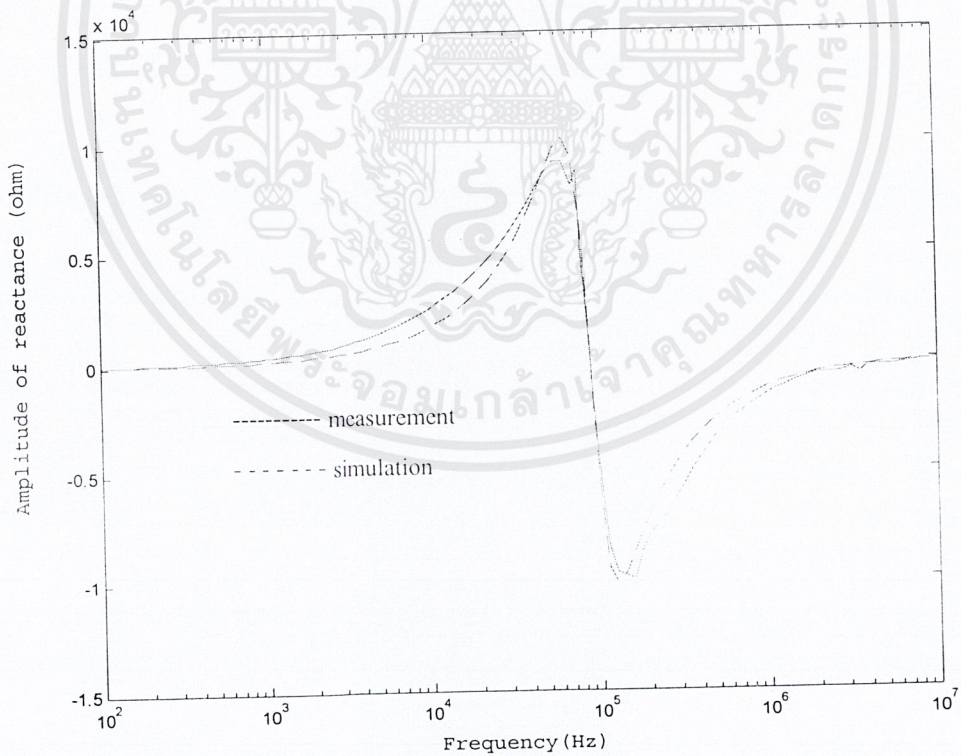


รูปที่ 3.16 กราฟของค่าส่วนจริงของ Impedance ที่ได้จากวงจรสังเคราะห์ (synthesis circuit)

เมื่อปรับด้วย frequency dependent resistance แล้วเปรียบเทียบกับค่าที่วัด



รูปที่ 3.17 กราฟของค่าส่วนจินตภาพของ Impedance ที่ได้จากวงจรสังเคราะห์ (synthesis circuit)



รูปที่ 3.18 กราฟของค่าส่วนจินตภาพของ Impedance ที่ได้จากวงจรสังเคราะห์ (synthesis circuit)

เมื่อปรับด้วย frequency dependent resistance แล้วเปรียบเทียบกับค่าที่วัด

บทที่ 4

วงจรสมมูลที่ได้จากการทดลองของ Motor 1 แรงม้า

4.1 การทดลองเพื่อหาวงจรสมมูลโดยวิธี No Load Test, Block Rotor Test, V-I Method

4.1.1 ผลการทดลอง 1 แรงม้า(Hp) โดย V-I method

ค่า	ครั้งที่ 1	ครั้งที่ 2	ครั้งที่ 3	ครั้งที่ 4	ครั้งที่ 5
V	6.7	13.5	19.5	26.5	32.5
I	0.5	1.0	1.5	2	2.5
R	13.4	13.5	13	13.25	13

ตารางที่ 4.1 ผลการทดลองโดย V-I method

$$R1 = (R1 + R2 + R3 + R4 + R5) / 5$$

$$R1 = (13.4 + 13.5 + 13 + 13.25 + 13) / 5$$

$$= 13.22 \Omega$$

$$Zb = Vb / (Ib \cos \phi_b) = 85 / (3.1 \cos 39.6^\circ) = 27.419 \cos 39.6^\circ$$

$$Rb = 27.419 \cos 39.6^\circ = 21.13 \Omega$$

$$Xb = 27.419 \sin 39.6^\circ = 17.48 \Omega$$

$$R2 = Rb - R1$$

$$R2 = 21.13 - 13.22 = 7.91 \Omega$$

$$J(X1 + X2) = Xb$$

จากตาราง 2.2 Empirical Distribution of leakage reactance ของมอเตอร์เหนี่ยวนำ class A

$$X1 = X2 = 0.5Xb = 17.48 / 2 = 8.74 \Omega$$

4.1.2 ผลการทดลองโดยวิธี NO LOAD TEST

CH1 Volt/div = 10 V/Div, Time/DIV = 2 ms, Probe X 10

CH2 Volt/div = 0.1 V/Div, Time/DIV = 2 ms, Probe X 1

V_o	I_o	ϕ_o
220 V	2.08 A	79.2°

ตารางที่ 4.2 ผลการทดลองโดยวิธี NO LOAD TEST

$$R_c = V_o / (I_o \cdot \cos \phi_o)$$

$$X_m = V_o / (I_o \cdot \sin \phi_o)$$

$$R_c = 220 / (2.08 \cdot \cos 79.2) = 564.46 \, \Omega$$

$$X_m = 220 / (2.08 \sin 79.2) = 107.67 \, \Omega$$

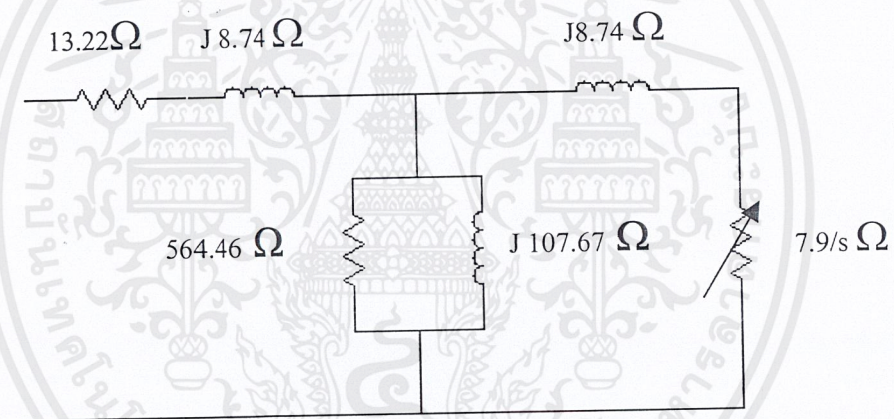
4.1.3 ผลการทดลองโดยวิธี BLOCK ROTOR TEST

CH1 Volt/div = 10 V/Div, Time/DIV = 2 ms, Probe X 10

CH2 Volt/div = 0.1 V/Div, Time/DIV = 2 ms, Probe X 10 Ω

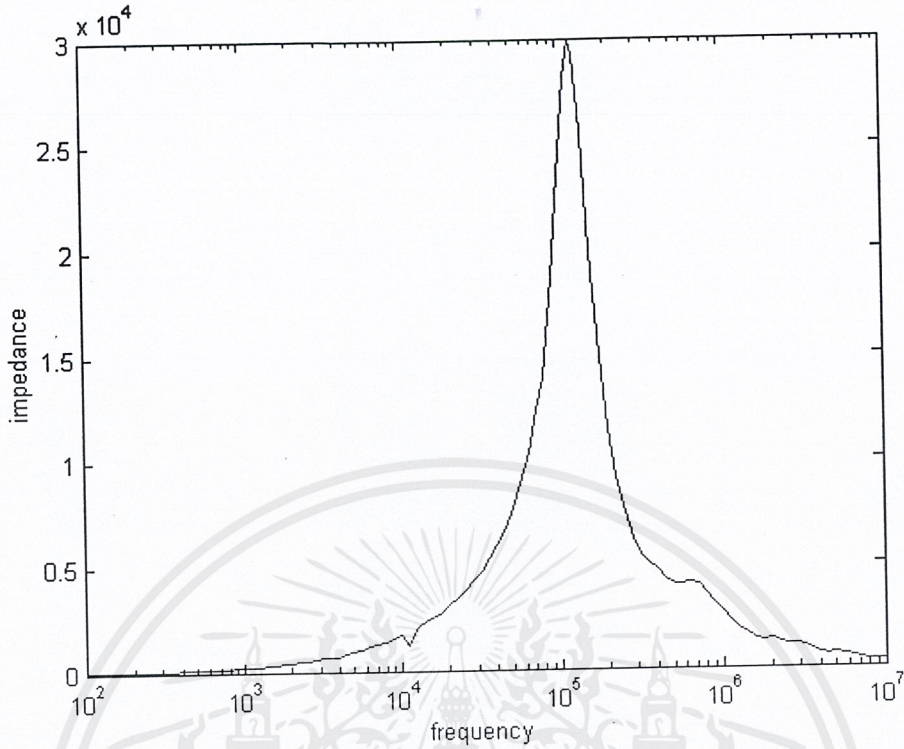
Vb	Ib	ϕ_b
85 V	3.1 A	39.6°

ตารางที่ 4.3 ผลการทดลองโดยวิธี BLOCK ROTOR TEST

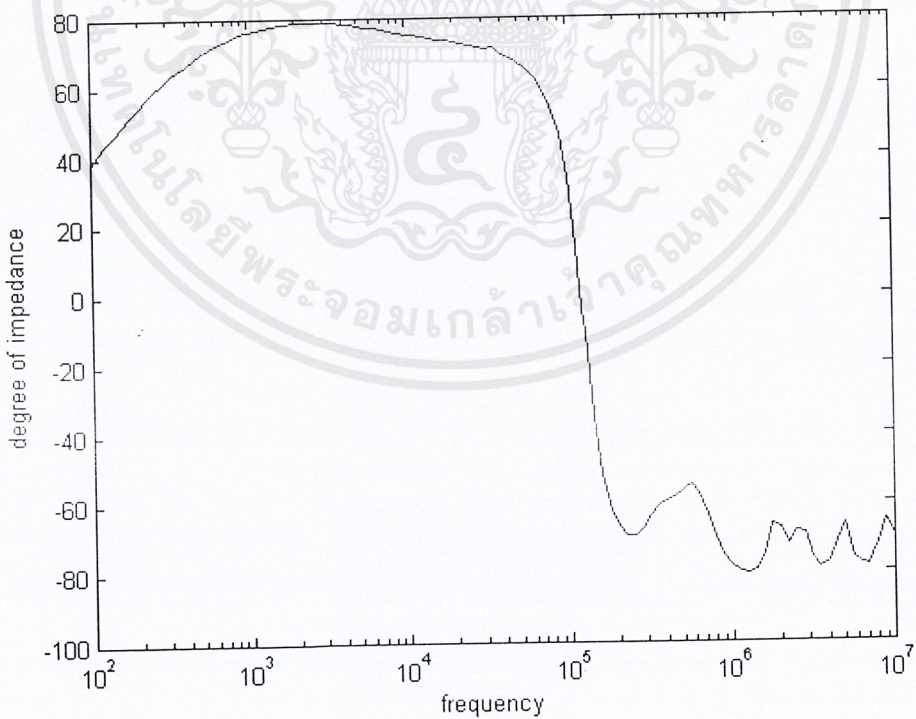


รูปที่ 4.1 รูปวงจรสมมูล (Equivalent circuit) ของมอเตอร์เหนี่ยวนำ

4.2 การทดลองเพื่อหาวงจรสังเคราะห์(Synthetic Circuit)



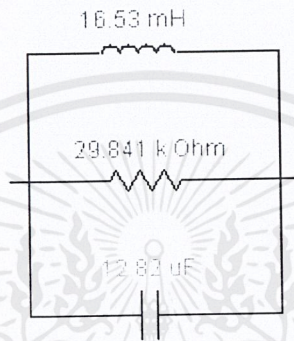
รูปที่ 4.2 ผลการวัด series impedance ของในขดลวดมอเตอร์เหนี่ยวนำที่ขึ้นอยู่กับความถี่



รูปที่ 4.3 ผลการวัดมุมเฟส $\theta(Z)$ ของ series impedance ในขดลวดมอเตอร์เหนี่ยวนำที่ขึ้นอยู่กับความถี่

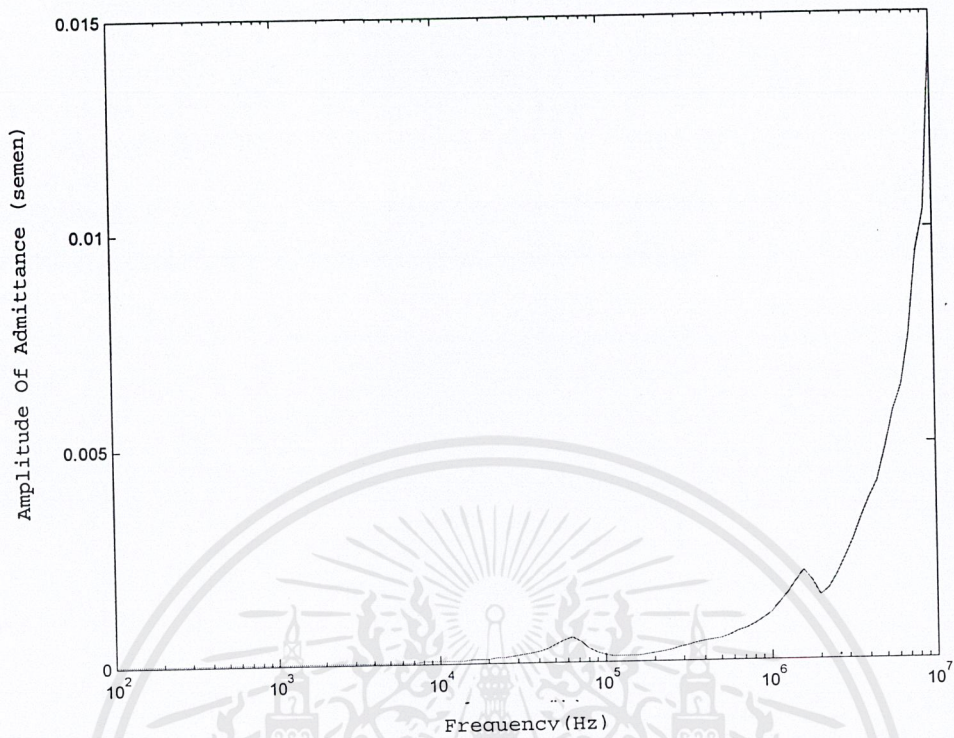
รูปแบบของ L-C ขนานของ Foster's circuits[9] ถูกนำมาใช้ในการสังเคราะห์ equivalent circuit ที่มีการตอบสนองความถี่เช่นเดียวกัน ให้กับขดลวดมอเตอร์เหนี่ยวนำ ดังกล่าว โดยครอบคลุมย่านความถี่ 100 Hz ถึง 10MHz จากผลการทดลองดังแสดงในรูปที่ 4.2และ4.3 เกิด resonance 1 จุด ที่ความถี่ 119.4 kHz ดังนั้นจึงสร้าง L-C circuit เพียง 1 วงจร

ค่าความต้านทานที่ถูกต่อขนานในวงจรสังเคราะห์ L-C ได้มาจากค่าความต้านทานได้จากส่วนจริงของค่าอิมพีแดนซ์ที่ความถี่เรโซแนนซ์ วงจรสังเคราะห์ที่ได้แสดง ดังรูป

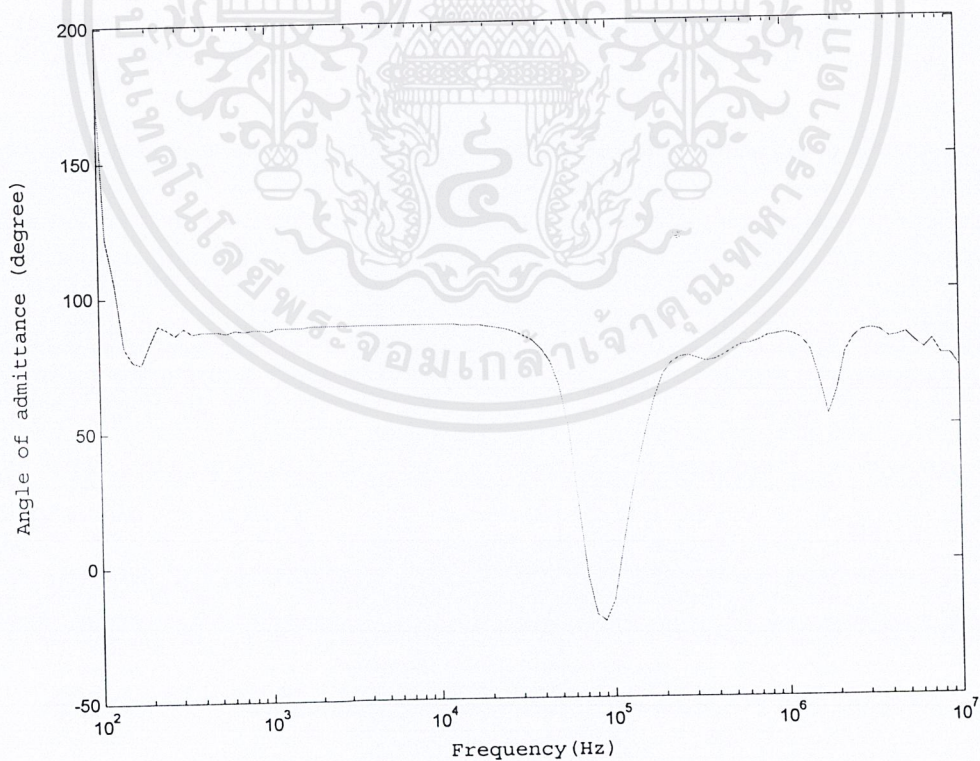


รูปที่4.4 วงจรสมมูล Synthetic Circuit ที่คำนวณได้

4.3 ผลที่ได้จากการวัดค่า admittance และ phase angle โดยเครื่อง impedance analyzer

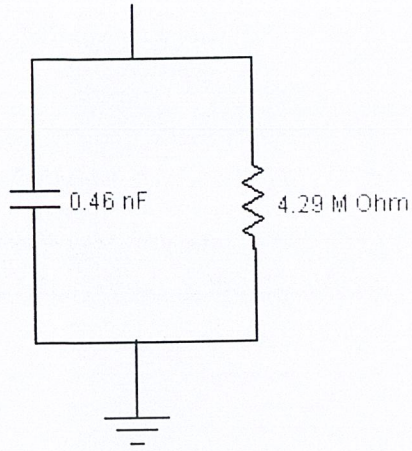


รูปที่ 4.5 ผลการวัดค่า shunt admittance ของขดลวดมอเตอร์เหนี่ยวนำที่ขึ้นกับกับความถี่



รูปที่ 4.6 ผลการวัดค่ามุมเฟสของ admittance ในขดลวดมอเตอร์เหนี่ยวนำที่ขึ้นกับกับความถี่

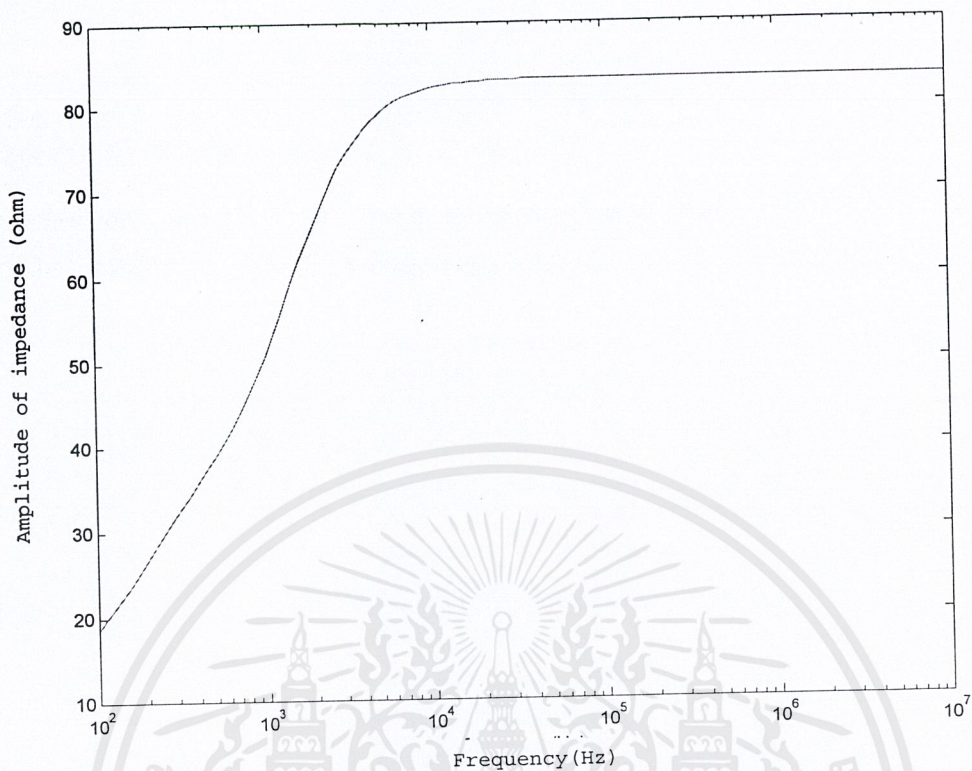
เอกสารนี้เป็นเอกสารที่สงวนไว้สำหรับการใช้งานเพื่อการศึกษาเท่านั้น ไม่อนุญาตให้นำไปใช้ประโยชน์ด้านการค้า ไม่ว่าจะกรณีใดๆ ทั้งสิ้น อีกทั้งห้ามมิให้ดัดแปลงเนื้อหาและต้องอ้างอิงถึงเจ้าของเอกสารทุกครั้งที่มีการนำไปใช้



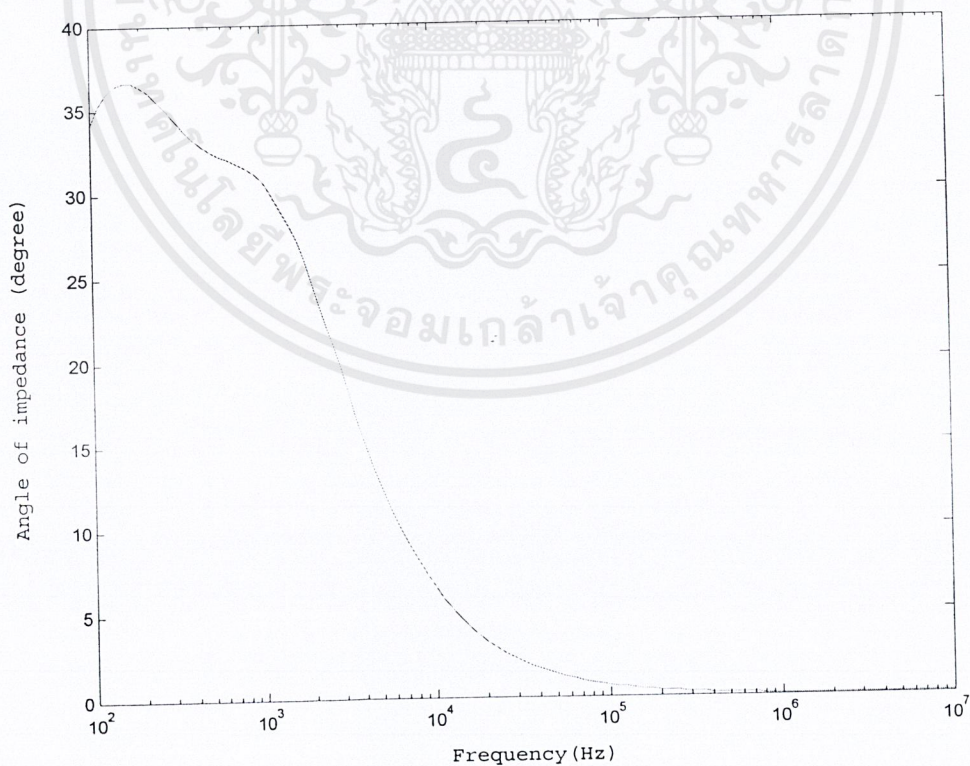
รูปที่ 4.7 วงจรสมมูล Shunt Admittance ที่คำนวณได้



4.4 ผลที่ได้จาก Frequency Dependence Resistance



รูปที่ 4.8 ค่า Impedance ในขดลวดมอเตอร์เหนี่ยวนำที่ขึ้นกับความถี่



รูปที่ 4.9 ค่ามุมเฟสของ Impedance ในขดลวดมอเตอร์เหนี่ยวนำที่ขึ้นกับความถี่

สูตรที่ใช้คำนวณหา Frequency Dependent Resistance

กำหนด $\rho_{cu} = 1.672 \cdot 10^{-8}$, $\mu_{cu} = 1$ และจากการวัด Winding $r_1 = 0.03$ mm

จาก V-I method $R_{dc} = 13.22 \Omega$

$$FROM \quad R_i = \frac{\rho l}{\pi(r_i^2 - r_{i+1}^2)}$$

$$\frac{R_1}{R_2} = \frac{\frac{\rho l}{\pi(r_1^2 - r_2^2)}}{\frac{\rho l}{\pi(r_2^2 - r_3^2)}} = \frac{(r_2^2 - r_3^2)}{(r_1^2 - r_2^2)} = \frac{A_2}{A_1} = 2$$

$$\frac{R_2}{R_3} = 2 = \frac{r_3^2}{(r_2^2 - r_3^2)} = \frac{A_3}{A_2}$$

ให้ $A_1 = a$

$$A_2 = 2a$$

$$A_3 = 4a = \pi r_3^2$$

Total area of winding $= A_1 + A_2 + A_3 = 7a$

$$R_{dc} = \frac{\rho l}{A_{total}} = \frac{\rho l}{7a} = \frac{\rho l}{\pi r_1^2}$$

$$R_3 = \frac{\rho l}{4a} = \frac{\rho l}{\pi r_3^2}$$

$$\frac{R_{dc}}{R_3} = \frac{4a}{7a} = \frac{\pi r_3^2}{\pi r_1^2} = \left(\frac{r_3}{r_1}\right)^2$$

$$R_i = \frac{\rho l}{A_i} (i=1,2,3,4,5); \rho = 1.672 \cdot 10^{-8}$$

จากทฤษฎี [10] ต้องคูณ R_i ด้วย 0.9

$$\text{ได้} \quad R_3 = 20.8215 \Omega$$

$$R_2 = 41.643 \Omega$$

$$R_1 = 83.286 \Omega$$

$$\frac{r_1}{r_3} = \sqrt{\frac{4}{7}}$$

$$, r_3 = \sqrt{\frac{7}{4}} * r_1 \quad : \text{find } r_3$$

$$\frac{A_3}{A_2} = \frac{\pi r_3^2}{\pi(r_2^2 - r_3^2)} = 2, r_3^2 = 2r_2^2 - 2r_3^2$$

$$, r_2 = \sqrt{\frac{3r_3^2}{2}} \quad : \text{find } r_2$$

ได้ $r_1 = 0.03 \text{ mm}$ จากการวัด
 $r_2 = 0.02777 \text{ mm}$
 $r_3 = 0.02268 \text{ mm}$

$$\text{FROM } L_i = \frac{\mu(r_{i-1} - r_i)}{2\pi r_i}$$

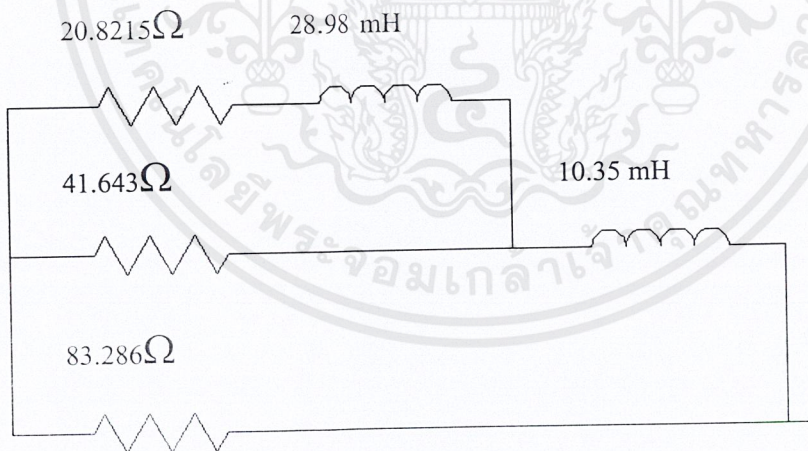
$$L_2 = \frac{\mu(r_1 - r_2)}{2\pi r_2}$$

$$L_3 = \frac{\mu(r_2 - r_3)}{2\pi r_3}$$

จากทฤษฎี [10] ต้องคูณ L_i ด้วย 0.9

ได้ $L_2 = 10.35 \text{ mH}$

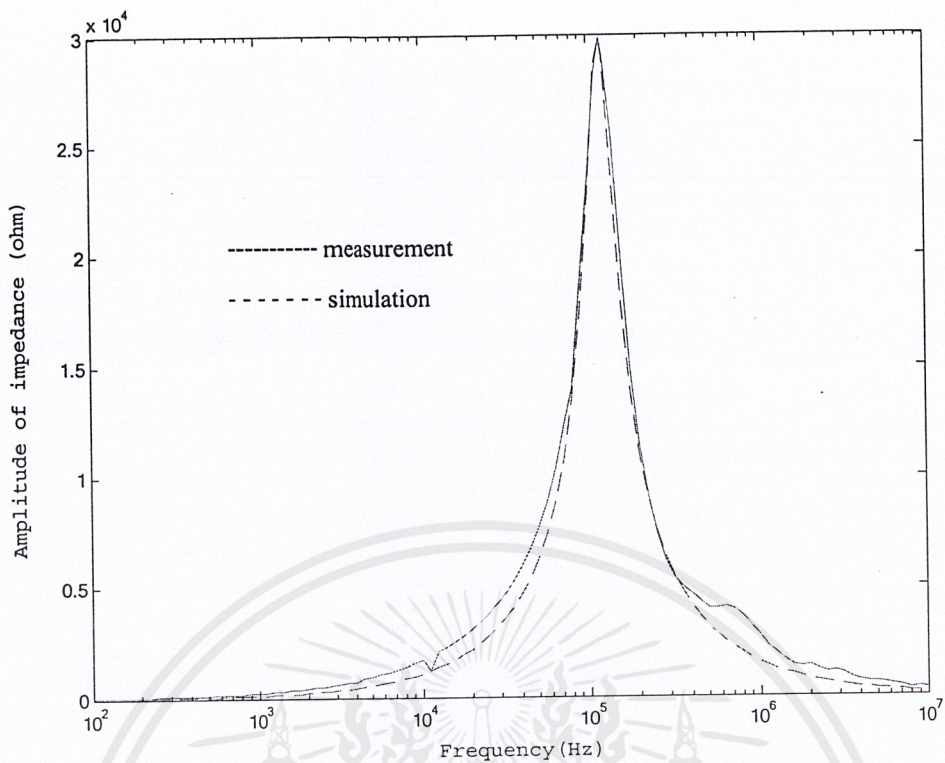
$L_3 = 28.98 \text{ mH}$



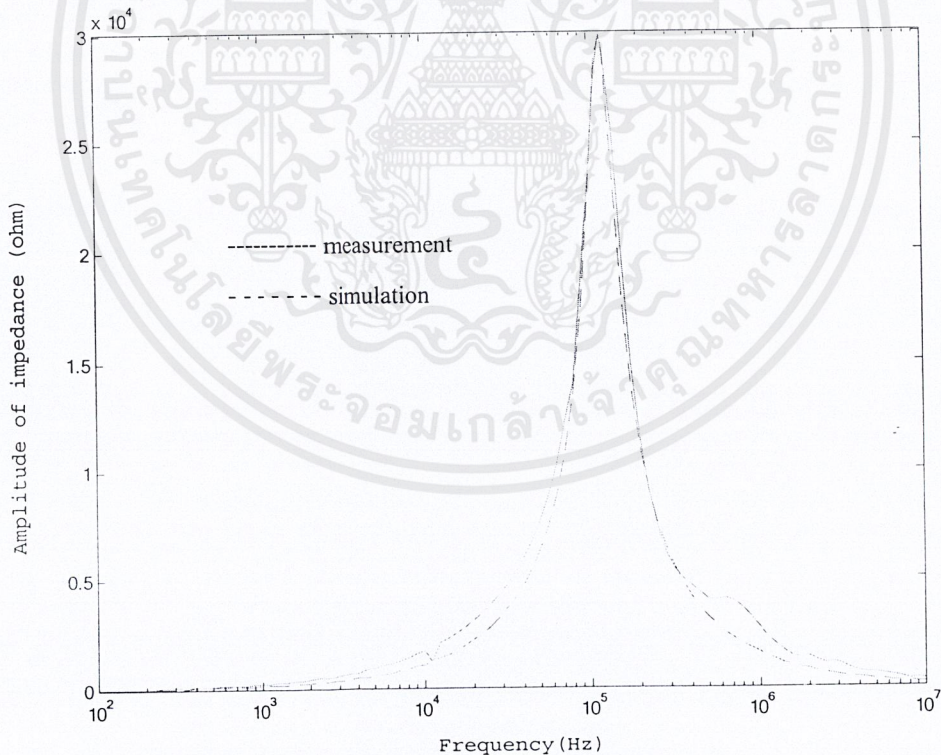
รูปที่ 4.10 วงจรสมมูล Frequency Dependence Resistance

เอกสารนี้เป็นเอกสารที่สงวนไว้สำหรับการใช้งานเพื่อการศึกษาเท่านั้น ไม่อนุญาตให้นำไปใช้ประโยชน์ด้านการค้า ไม่ว่ากรณีใดๆ ทั้งสิ้น อีกทั้งห้ามมิให้ตัดแปลงเนื้อหาและต้องอ้างอิงถึงเจ้าของเอกสารทุกครั้งที่มีการนำไปใช้

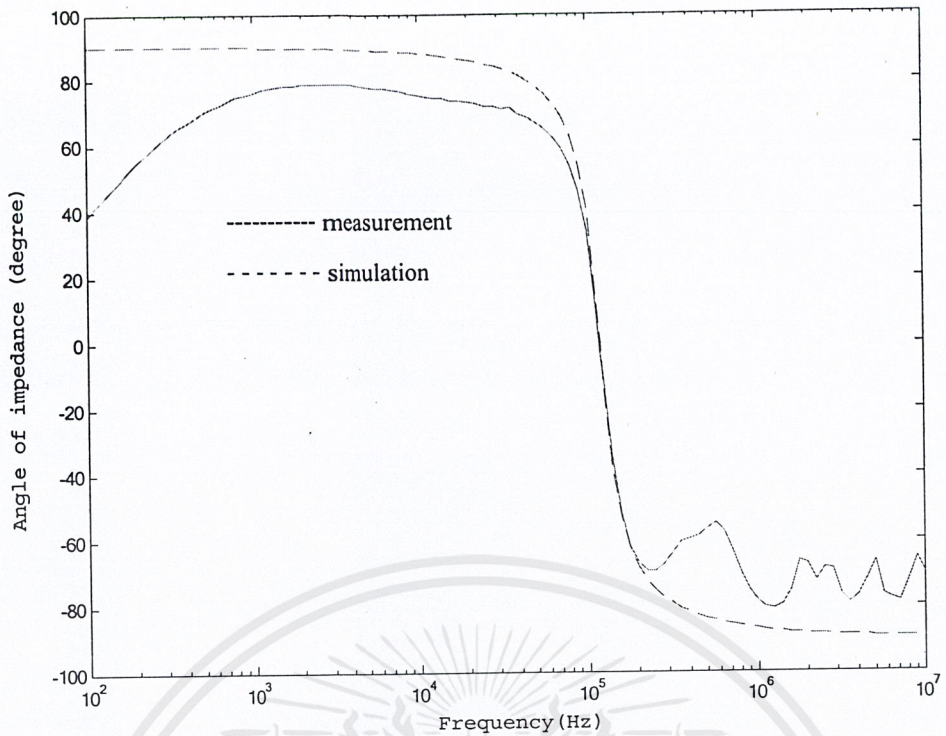
4.5 เปรียบผลที่ได้จากวัดและการคำนวณโดยทฤษฎี



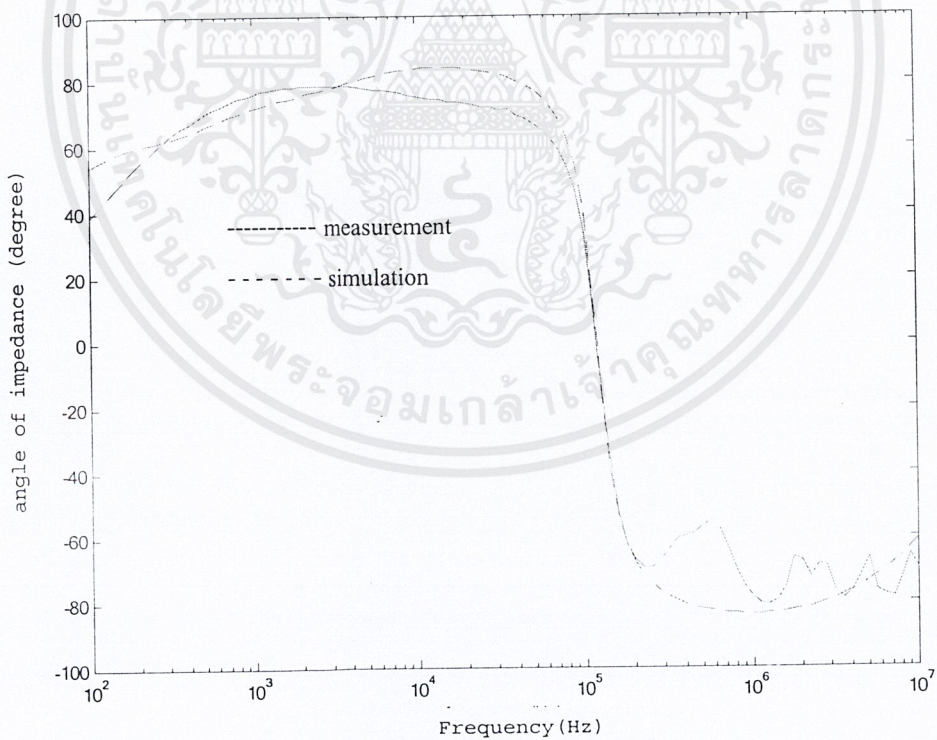
รูปที่ 4.11 กราฟของค่า Impedance ได้จากวงจรสังเคราะห์ (synthesis circuit) เมื่อเปรียบกับค่าที่วัด



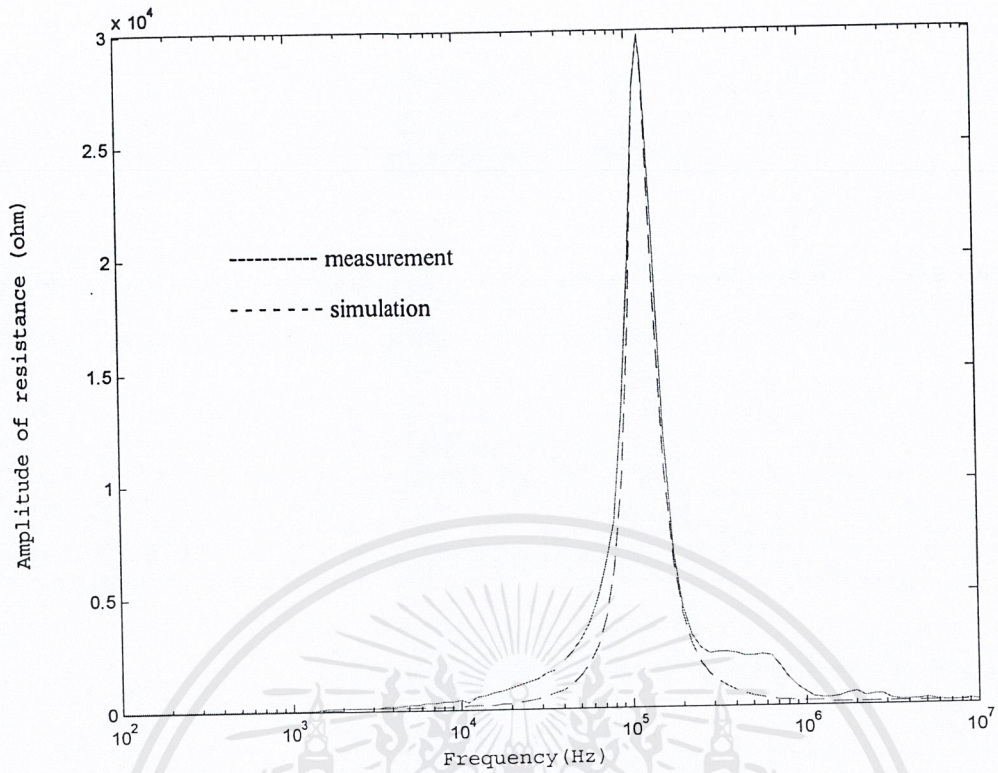
รูปที่ 4.12 กราฟของค่า Impedance ได้จากวงจรสังเคราะห์ (synthesis circuit) เมื่อปรับด้วย frequency dependent resistance แล้วเปรียบเทียบกับค่าที่วัด



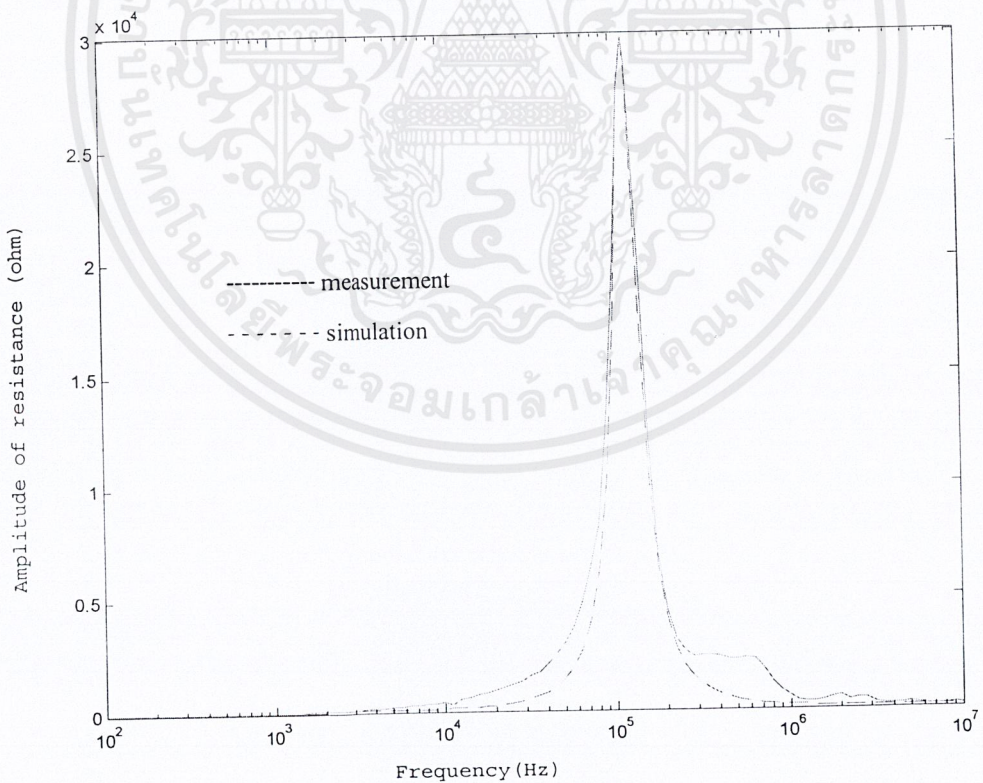
รูปที่ 4.13 กราฟของค่ามุมของ Impedance จากวงจรสังเคราะห์ (synthesis circuit) เมื่อเปรียบเทียบกับค่าที่วัด



รูปที่ 4.14 ค่า มุม ของ Impedance จากวงจรสังเคราะห์ (synthesis circuit) เมื่อปรับด้วย frequency dependent resistance แล้วเปรียบเทียบกับค่าที่วัด

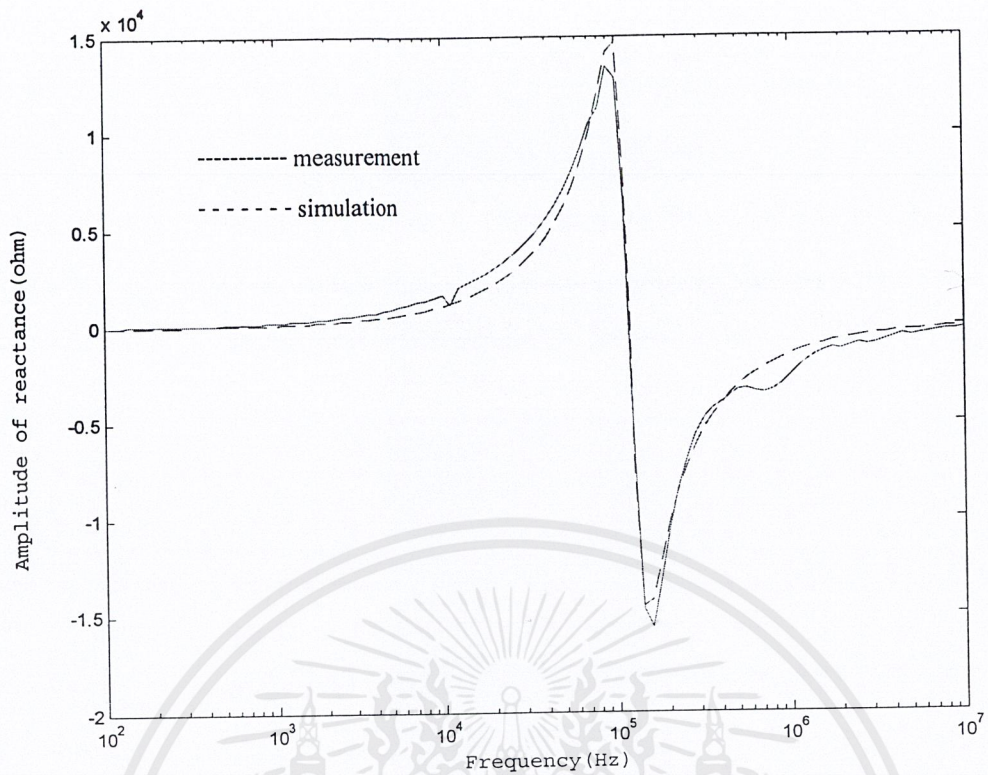


รูปที่ 4.15 กราฟของค่าส่วนจริงของ Impedance ที่ได้จากวงจรสังเคราะห์ (synthesis circuit)

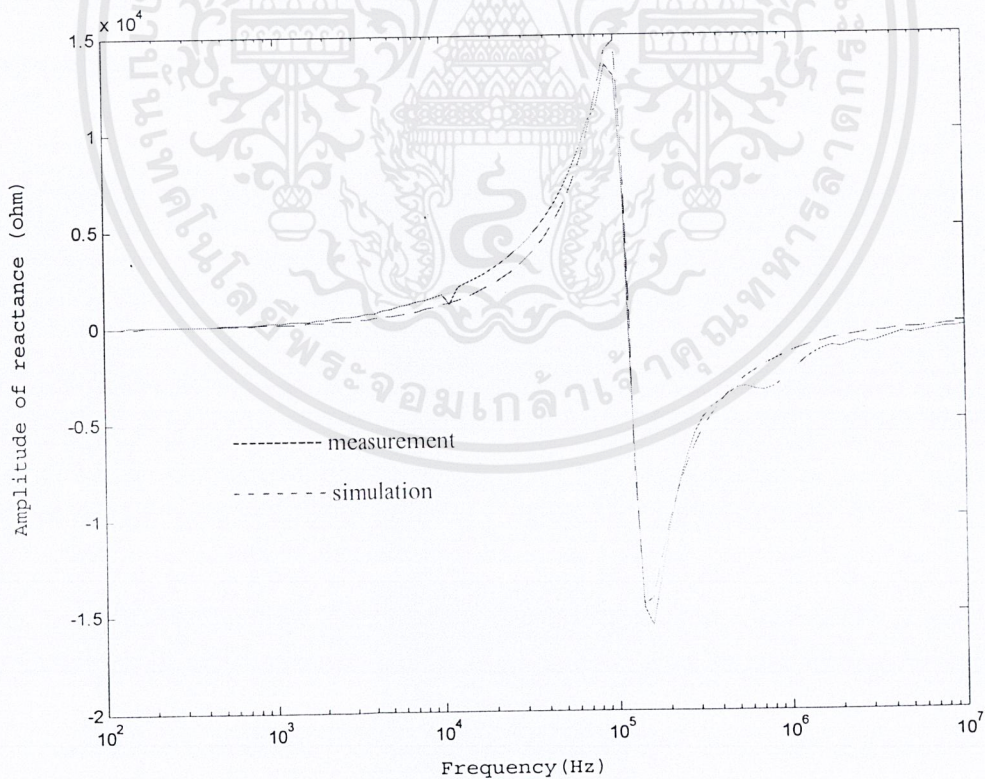


รูปที่ 4.16 กราฟของค่าส่วนจริงของ Impedance ที่ได้จากวงจรสังเคราะห์ (synthesis circuit)

เมื่อปรับด้วย frequency dependent resistance แล้วเปรียบเทียบกับค่าที่วัด



รูปที่ 4.17 กราฟของค่าส่วนจินตภาพของ Impedance ที่ได้จากวงจรสังเคราะห์ (synthesis circuit)



รูปที่ 4.18 กราฟของค่าส่วนจินตภาพของ Impedance ที่ได้จากวงจรสังเคราะห์ (synthesis circuit)

เมื่อปรับด้วย frequency dependent resistance แล้วเปรียบเทียบกับค่าที่วัด

บทที่ 5

วงจรมุมที่ได้จากการทดลอง Motor 0.5 แรงม้า

5.1 การทดลองเพื่อหาวงจรมุมโดยวิธี No Load Test, Block Rotor Test, V-I Method

5.1.1 ผลการทดลอง 0.5 แรงม้า (Hp) โดย V-I method

ค่า	ครั้งที่ 1	ครั้งที่ 2	ครั้งที่ 3	ครั้งที่ 4	ครั้งที่ 5
V	12	14	16	18	20
I	0.6	0.7	0.8	0.9	1.0
R	20	20	20	20	20

$$R1 = (R1 + R2 + R3 + R4 + R5) / 5$$

$$R1 = (20 + 20 + 20 + 20 + 20) / 5$$

$$= 20 \Omega$$

$$Zb = Vb / (Ib \cos \phi_b) = 56 / 1.15 \cos 46.8^\circ = 48.7 < 46.8^\circ$$

$$Rb = 48.7 \cos 46.8^\circ = 33.34 \Omega$$

$$Xb = 48.7 \sin 46.8^\circ = 35.5 \Omega$$

$$R2 = Rb - R1$$

$$R2 = 33.34 - 20 = 13.34 \Omega$$

$$J(X1 + X2) = Xb$$

จากตาราง 2.2 Empirical Distribution of leakage reactance ของมอเตอร์เหนี่ยวนำ class A

$$X1 = X2 = 0.5 Xb = 35.5 / 2 = 17.75 \Omega$$

5.1.2 ผลการทดลองโดยวิธี NO LOAD TEST

CH1 Volt/div = 10 V/Div, Time/DIV = 2 ms, Probe X 10

CH2 Volt/div = 0.1 V/Div, Time/DIV = 2 ms, Probe X 1

V_o	I_o	ϕ_o
220 V	0.75 A	82.8°

ตารางที่ 5.2 ผลการทดลองโดยวิธี NO LOAD TEST

$$R_c = V_o / (I_o \cdot \cos \phi_o)$$

$$X_m = V_o / (I_o \cdot \sin \phi_o)$$

$$R_c = 220 / (0.75 \cdot \cos 82.8) = 2340.43 \, \Omega$$

$$X_m = 220 / (0.75 \cdot \sin 82.8) = 295.66 \, \Omega$$

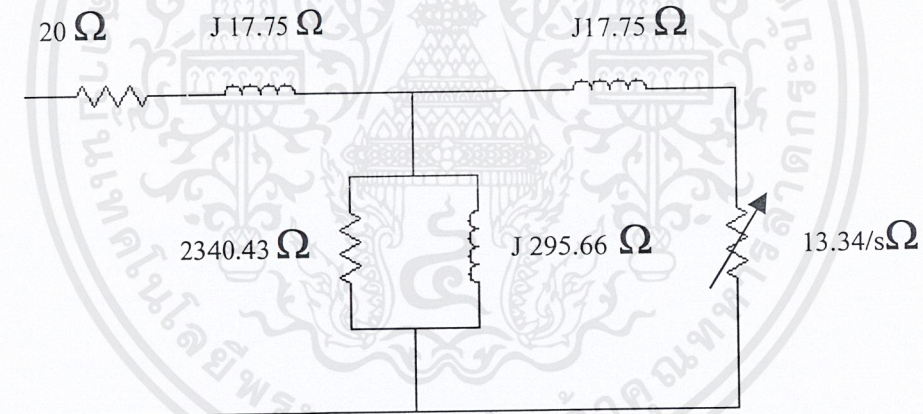
5.1.3 ผลการทดลองโดยวิธี BLOCK ROTOR TEST

CH1 Volt/div = 10 V/Div, Time/DIV = 2 ms, Probe X 10

CH2 Volt/div = 0.1 V/Div, Time/DIV = 2 ms, Probe X 10

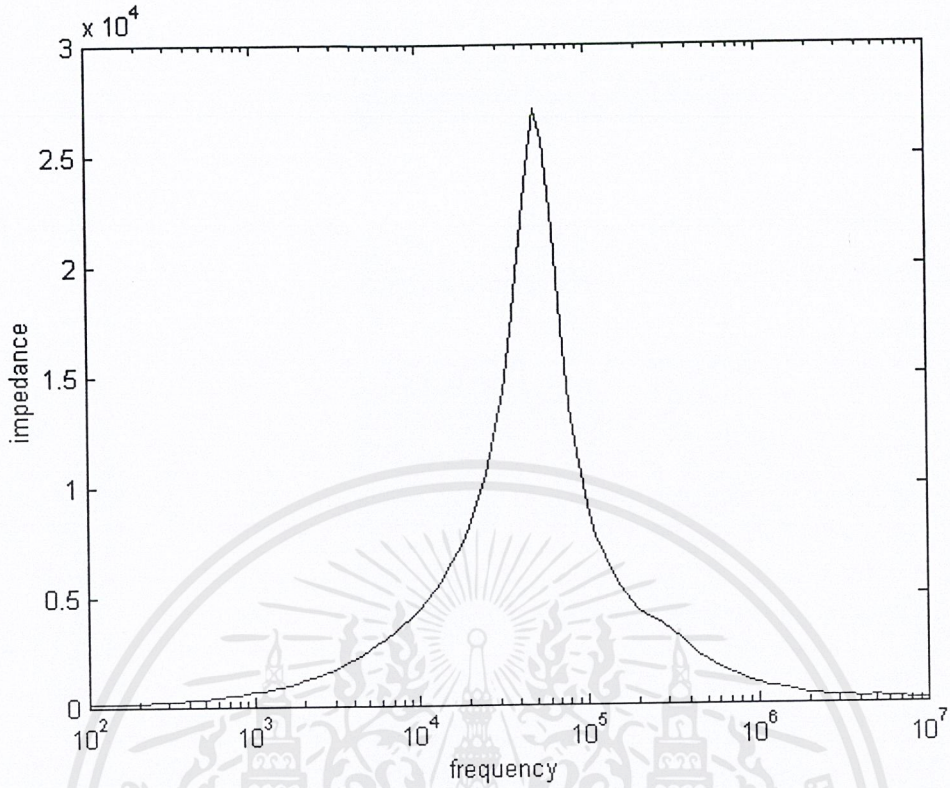
Vb	Ib	ϕ_b
70 V	1.15 A	46.8°

ตารางที่ 5.3 ผลการทดลองโดยวิธี BLOCK ROTOR TEST

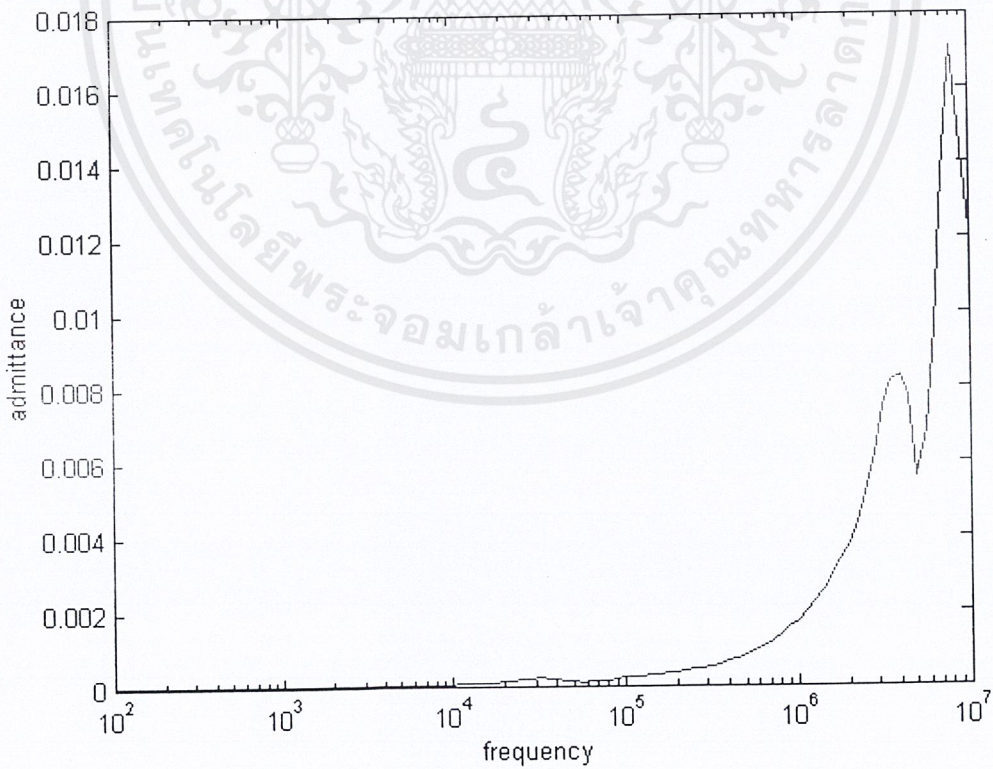


รูปที่ 5.1 รูปวงจรสมมูล (Equivalent circuit) ของมอเตอร์เหนี่ยวนำ

5.2 การทดลองเพื่อหาวงจรสังเคราะห์(Synthetic Circuit)



รูปที่ 5.2 ผลการวัด series impedance ของในขดลวดมอเตอร์เหนี่ยวนำที่ขึ้นอยู่กับความถี่

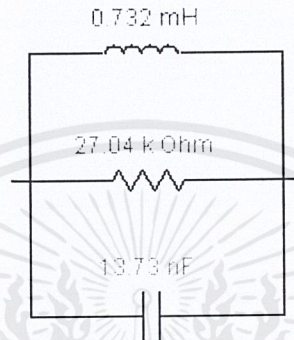


รูปที่ 5.3 ผลการวัดมุมเฟส $\theta(Z)$ ของ series impedance ในขดลวดมอเตอร์เหนี่ยวนำที่ขึ้นอยู่กับความถี่

เอกสารนี้เป็นเอกสารที่สงวนไว้สำหรับการใช้งานเพื่อการศึกษาเท่านั้น ไม่อนุญาตให้นำไปใช้ประโยชน์ด้านการค้า ไม่ว่าจะกรณีใดๆ ทั้งสิ้น อีกทั้งห้ามมิให้ดัดแปลงเนื้อหาและต้องอ้างอิงถึงเจ้าของเอกสารทุกครั้งที่มีการนำไปใช้

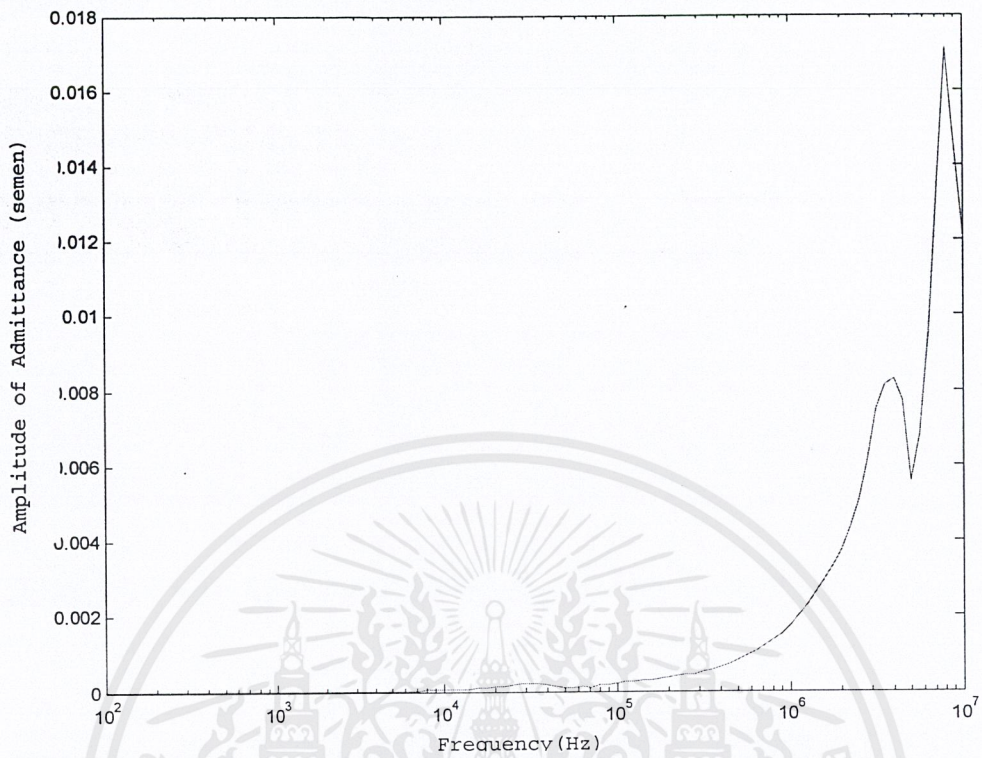
รูปแบบของ L-C ขนานของ Fosters circuits[9] ถูกนำมาใช้ในการสังเคราะห์ equivalent circuit ที่มีการตอบสนองความถี่เช่นเดียวกัน ให้กับขดลวดมอเตอร์เหนี่ยวนำ ดังกล่าว โดยครอบคลุมย่านความถี่ 100 Hz ถึง 10 MHz จากผลการทดลองดังแสดงในรูปที่ 3.2 และ 3.3 เกิด resonance 1 จุด ที่ความถี่ 50.188 kHz ดังนั้นจึงสร้าง L-C circuit เพียง 1 วงจร

ค่าความต้านทานที่ถูกต่อขนานในวงจรสังเคราะห์ L-C ได้มาจากค่าความต้านทานได้จากส่วนจริงของค่าอิมพีแดนซ์ที่ความถี่เรโซแนนซ์ วงจรสังเคราะห์ได้แสดง ดังรูป

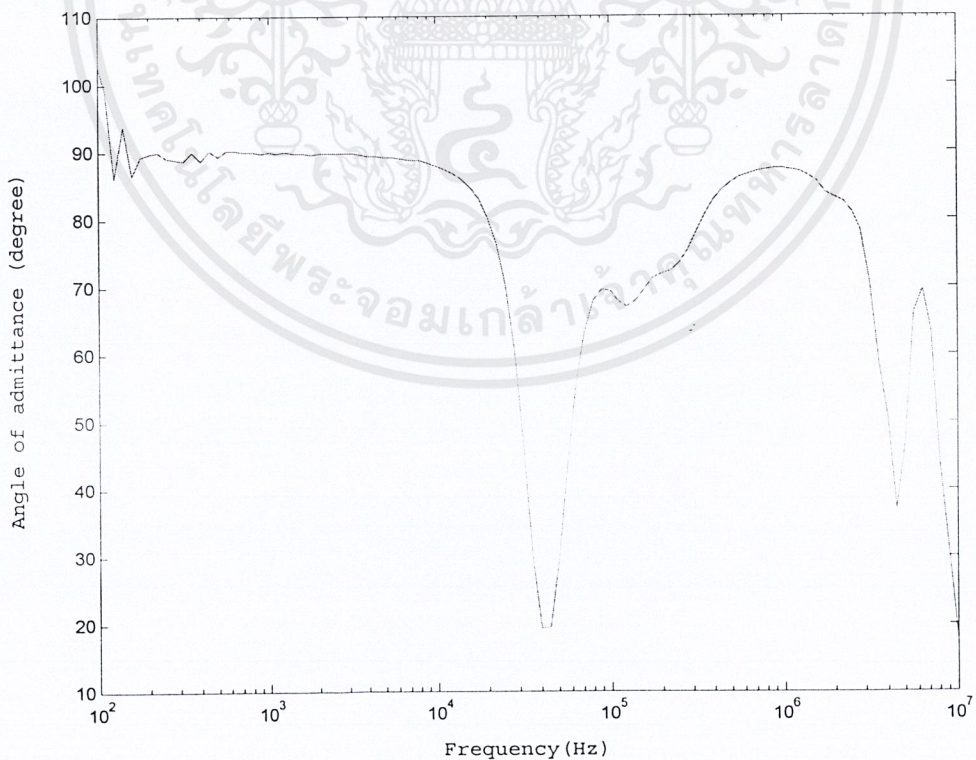


รูปที่ 5.4 วงจรสมมูล Synthetic Circuit ที่คำนวณได้

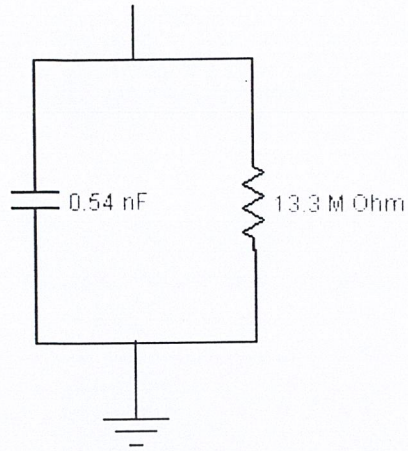
5.3 ผลที่ได้จากการวัดค่า admittance และ phase angle โดยเครื่อง impedance analyzer



รูปที่ 5.5 ผลการวัดค่า shunt admittance ของขดลวดมอเตอร์เหนี่ยวนำที่ขึ้นกับกับความถี่



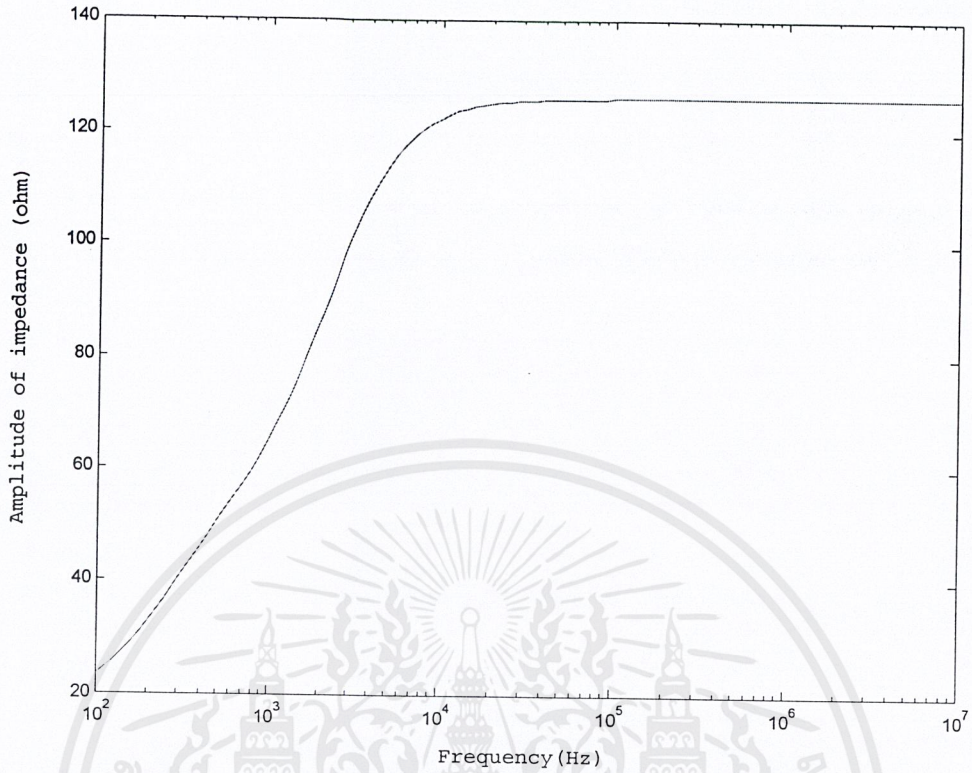
รูปที่ 5.6 ผลการวัดค่ามุมเฟสของ admittance ในขดลวดมอเตอร์เหนี่ยวนำที่ขึ้นกับกับความถี่



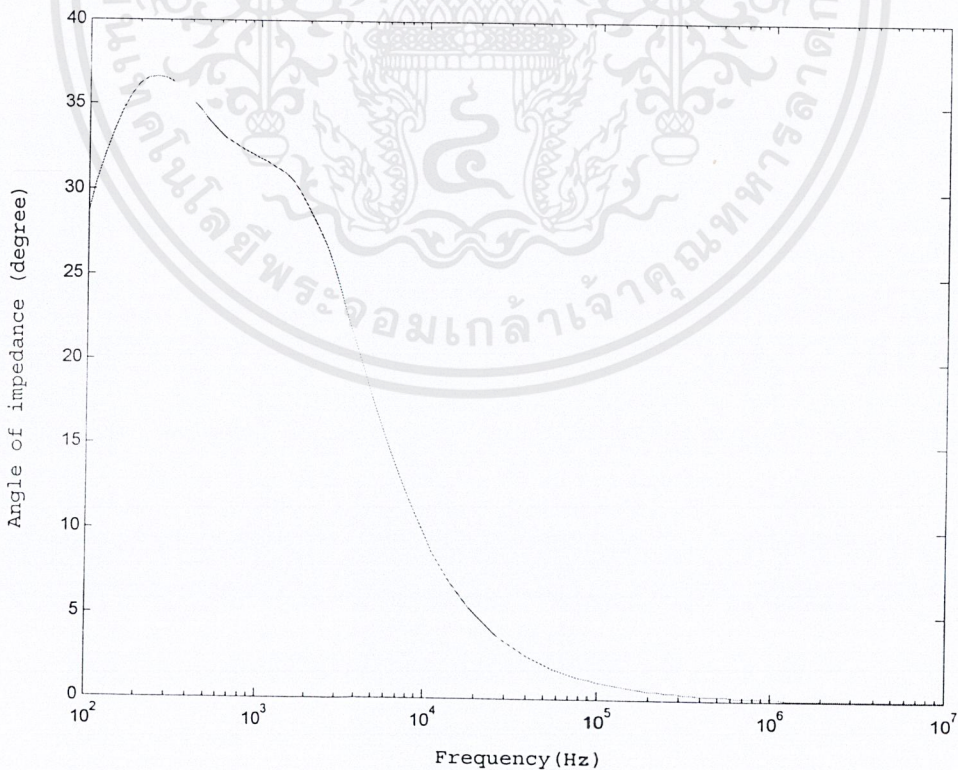
รูปที่ 5.7 วงจรสมมูล Shunt Admittance ที่คำนวณได้



5.4 ผลที่ได้จาก Frequency Dependence Resistance



รูปที่ 5.8 ค่า Impedance ในขดลวดมอเตอร์เหนี่ยวนำที่ขึ้นกับความถี่



รูปที่ 5.9 ค่ามุมเฟสของ Impedance ในขดลวดมอเตอร์เหนี่ยวนำที่ขึ้นกับความถี่

สูตรที่ใช้คำนวณหา Frequency Dependent Resistance

กำหนด $\rho_{cu} = 1.672 \cdot 10^{-8}$, $\mu_{cu} = 1$ และจากการวัด Winding $r_1 = 0.026$ mm
จาก V-I method $R_{dc} = 20 \Omega$

$$FROM \quad R_i = \frac{\rho l}{\pi(r_i^2 - r_{i+1}^2)}$$

$$\frac{R_1}{R_2} = \frac{\frac{\rho l}{\pi(r_1^2 - r_2^2)}}{\frac{\rho l}{\pi(r_2^2 - r_3^2)}} = \frac{(r_2^2 - r_3^2)}{(r_1^2 - r_2^2)} = \frac{A_2}{A_1} = 2$$

$$\frac{R_2}{R_3} = 2 = \frac{r_3^2}{(r_2^2 - r_3^2)} = \frac{A_3}{A_2}$$

ให้ $A_1 = a$

$A_2 = 2a$

$A_3 = 4a = \pi r_3^2$

Total area of winding $= A_1 + A_2 + A_3 = 7a$

$$R_{dc} = \frac{\rho l}{A_{total}} = \frac{\rho l}{7a} = \frac{\rho l}{\pi r_1^2}$$

$$R_3 = \frac{\rho l}{4a} = \frac{\rho l}{\pi r_3^2}$$

$$\frac{R_{dc}}{R_3} = \frac{4a}{7a} = \frac{\pi r_3^2}{\pi r_1^2} = \left(\frac{r_3}{r_1}\right)^2$$

$$R_i = \frac{\rho l}{A_i} \quad (i=1,2,3,4,5); \rho = 1.672 \cdot 10^{-8}$$

จากทฤษฎี [10] ต้องคูณ R_i ด้วย 0.9

ได้ $R_3 = 31.5 \Omega$

$R_2 = 63 \Omega$

$R_1 = 126 \Omega$

$$\frac{r_1}{r_3} = \sqrt{\frac{4}{7}}$$

$$\frac{A_3}{A_2} = \frac{\pi r_3^2}{\pi(r_2^2 - r_3^2)} = 2, r_3^2 = 2r_2^2 - 2r_3^2$$

$$r_3 = \sqrt{\frac{7}{4}} * r_1 \quad : \text{find } r_3$$

$$r_2 = \sqrt{\frac{3r_3^2}{2}} \quad : \text{find } r_2$$

ได้ $r_1 = 0.026 \text{ mm}$ จากการวัด

$$r_2 = 0.02407 \text{ mm}$$

$$r_3 = 0.01965 \text{ mm}$$

$$\text{FROM } L_i = \frac{\mu(r_{i-1} - r_i)}{2\pi_i}$$

$$L_2 = \frac{\mu(r_1 - r_2)}{2\pi_2}$$

$$L_3 = \frac{\mu(r_2 - r_3)}{2\pi_3}$$

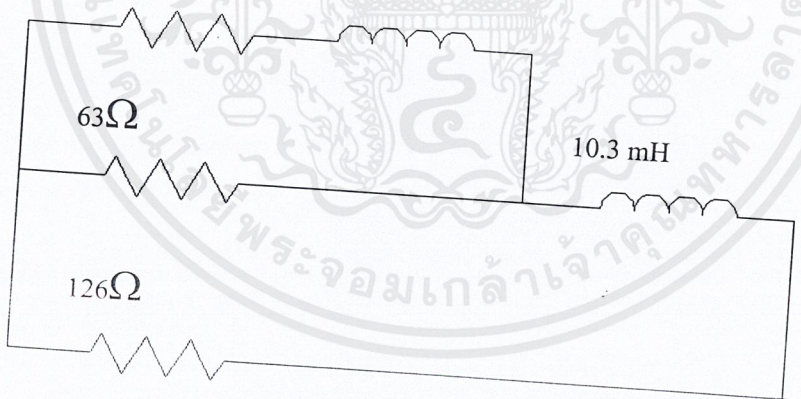
จากทฤษฎี [10] ต้องคูณ R_i ด้วย 0.9

ได้ $L_2 = 10.3 \text{ mH}$

$$L_3 = 27 \text{ mH}$$

$$31.5 \Omega$$

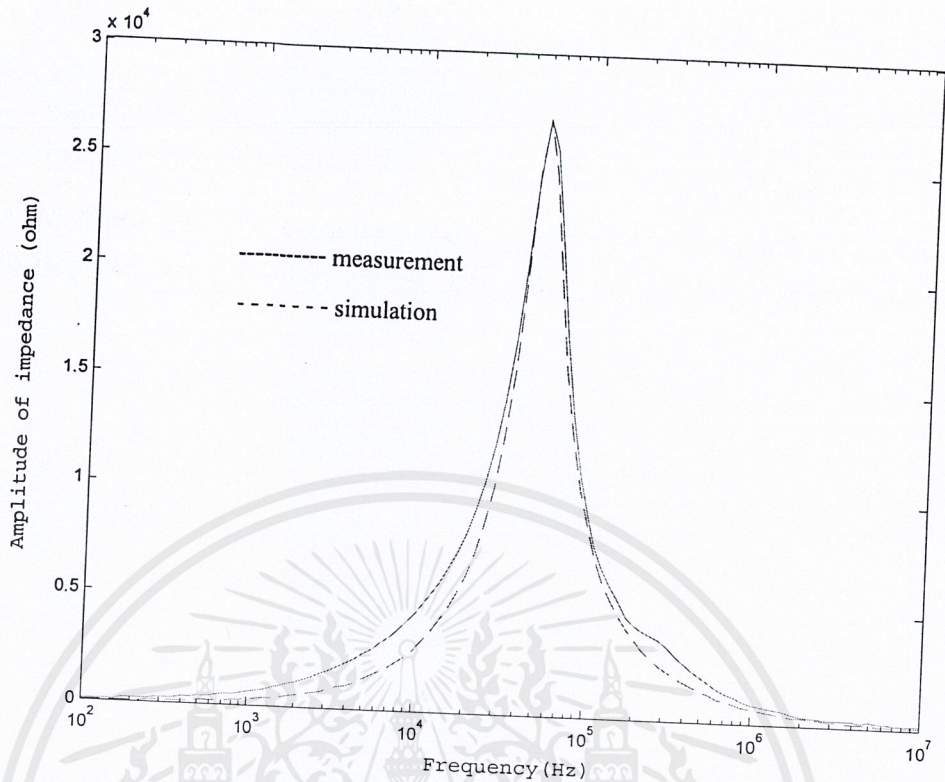
$$27 \text{ mH}$$



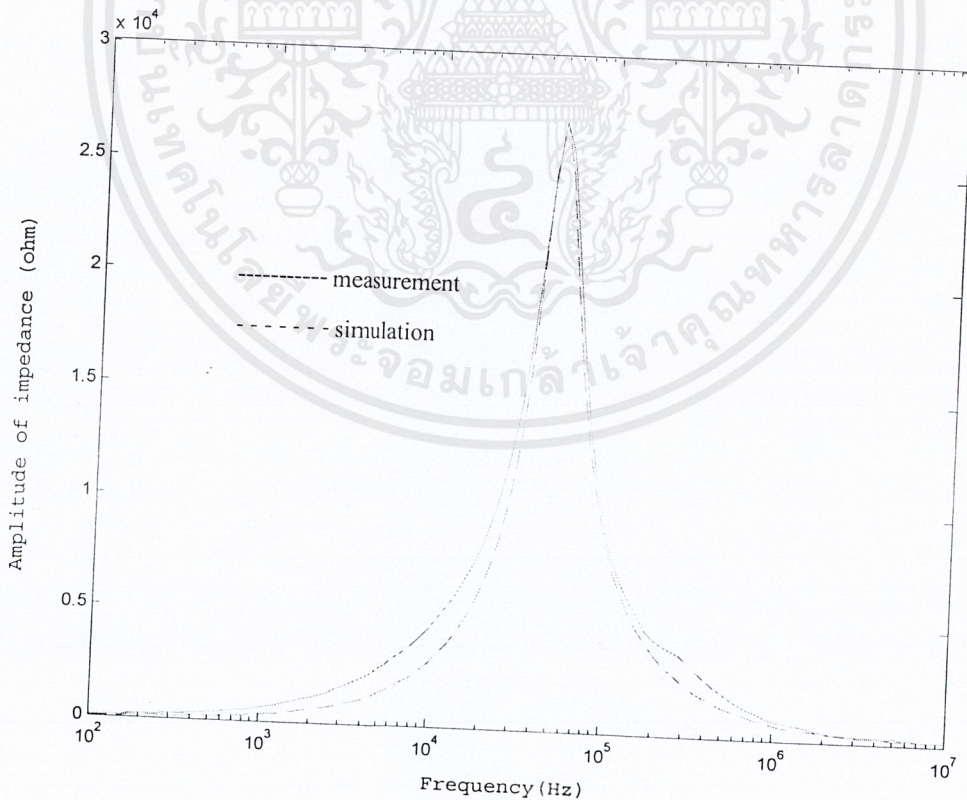
รูปที่ 5.10 วงจรสมมูล Frequency Dependence Resistance

เอกสารนี้เป็นเอกสารที่สงวนไว้สำหรับการใช้งานเพื่อการศึกษาเท่านั้น ไม่อนุญาตให้นำไปใช้ประโยชน์ด้านการค้า
ไม่ว่ากรณีใดๆ ทั้งสิ้น อีกทั้งห้ามมิให้ตัดแปลงเนื้อหาและต้องอ้างอิงถึงเจ้าของเอกสารทุกครั้งที่มีการนำไปใช้

5.5 เปรียบผลที่ได้จากวัดและการคำนวณโดยทฤษฎี

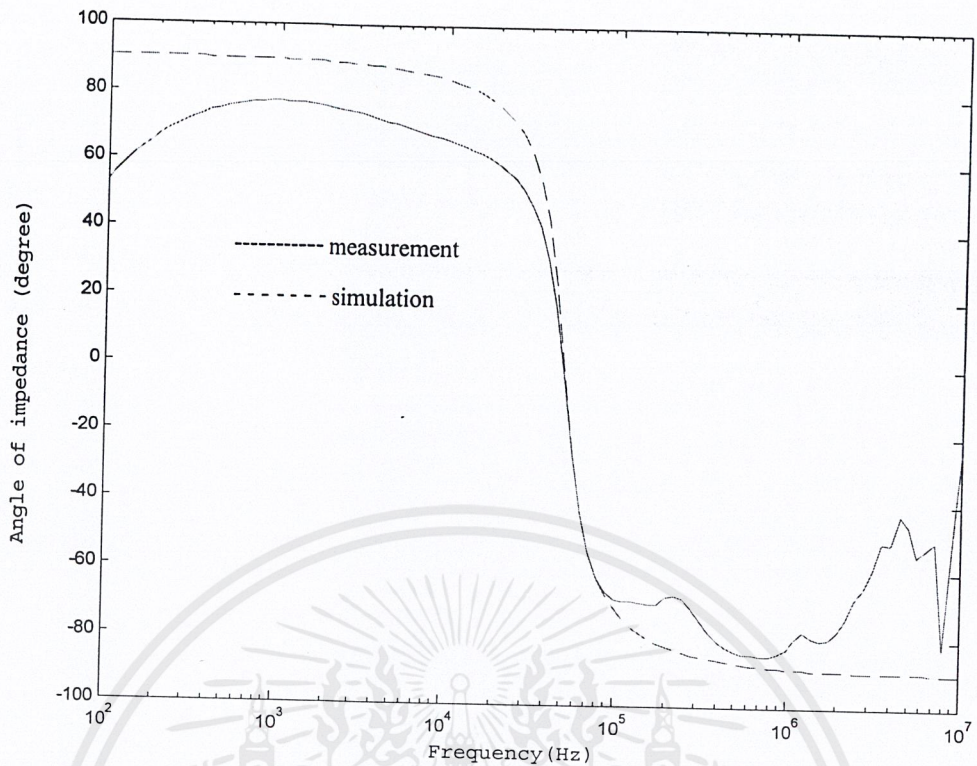


รูปที่ 5.11 กราฟของค่า Impedance ได้จากวงจรสังเคราะห์ (synthesis circuit) เมื่อเปรียบกับค่าที่วัด

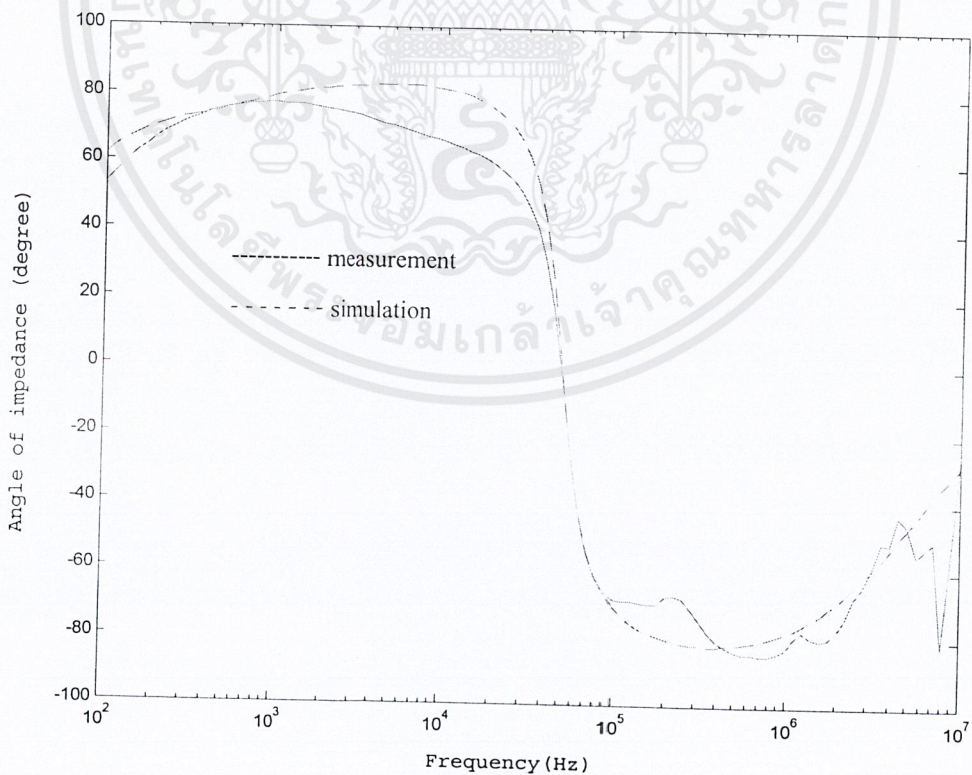


รูปที่ 5.12 กราฟของค่า Impedance ได้จากวงจรสังเคราะห์ (synthesis circuit) เมื่อปรับด้วย frequency dependent resistance แล้วเปรียบเทียบกับค่าที่วัด

เอกสารนี้เป็นเอกสารที่สงวนไว้สำหรับการใช้งานเพื่อการศึกษาเท่านั้น ไม่อนุญาตให้นำไปใช้ประโยชน์ด้านการค้า ไม่ว่ากรณีใดๆ ทั้งสิ้น อีกทั้งห้ามมิให้ตัดแปลงเนื้อหาและต้องอ้างอิงถึงเจ้าของเอกสารทุกครั้งที่มีการนำไปใช้

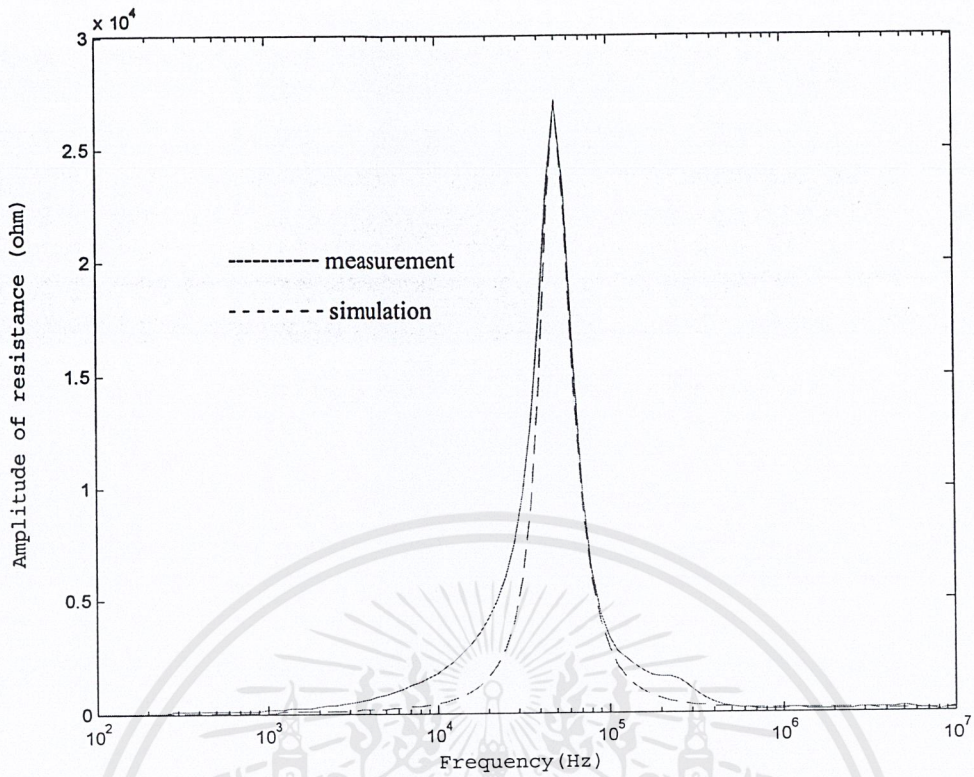


รูปที่ 5.13 กราฟของค่ามุมของ Impedance จากวงจรสังเคราะห์ (synthesis circuit) เมื่อเปรียบเทียบกับค่าที่วัด

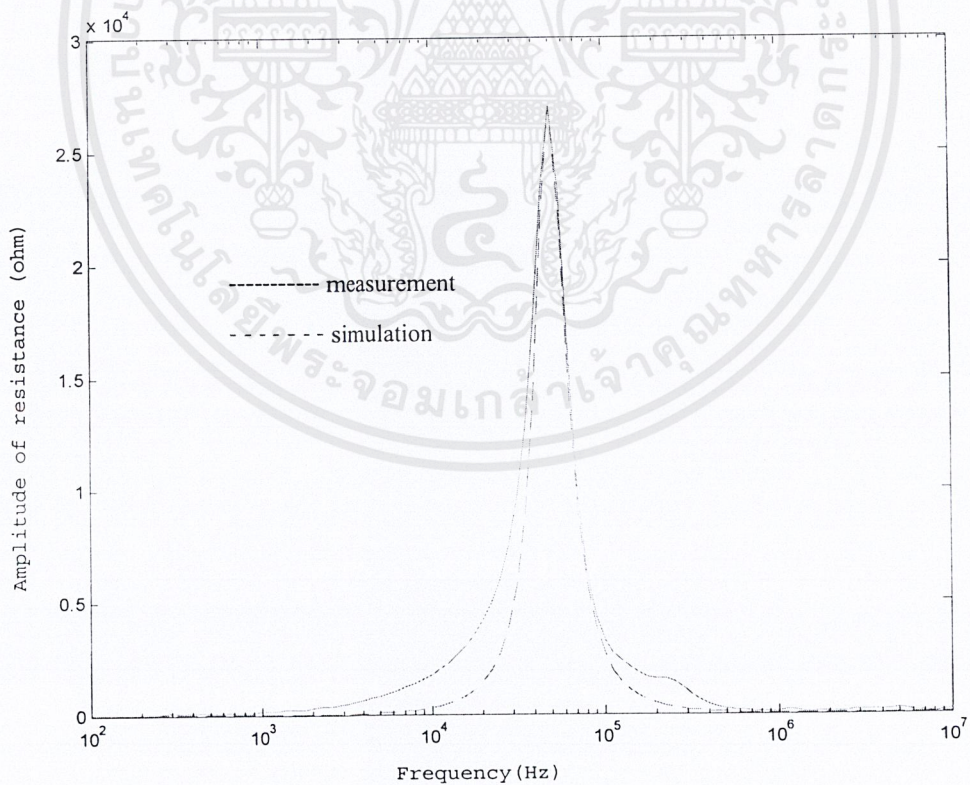


รูปที่ 5.14 ค่า มุม ของ Impedance จากวงจรสังเคราะห์ (synthesis circuit) เมื่อปรับด้วย frequency dependent resistance แล้วเปรียบเทียบกับค่าที่วัด

เอกสารนี้เป็นเอกสารที่สงวนไว้สำหรับการใช้งานเพื่อการศึกษาเท่านั้น ไม่อนุญาตให้นำไปใช้ประโยชน์ด้านการค้า ไม่ว่าจะกรณีใดๆ ทั้งสิ้น อีกทั้งห้ามมิให้ตัดแปลงเนื้อหาและต้องอ้างอิงถึงเจ้าของเอกสารทุกครั้งที่มีการนำไปใช้



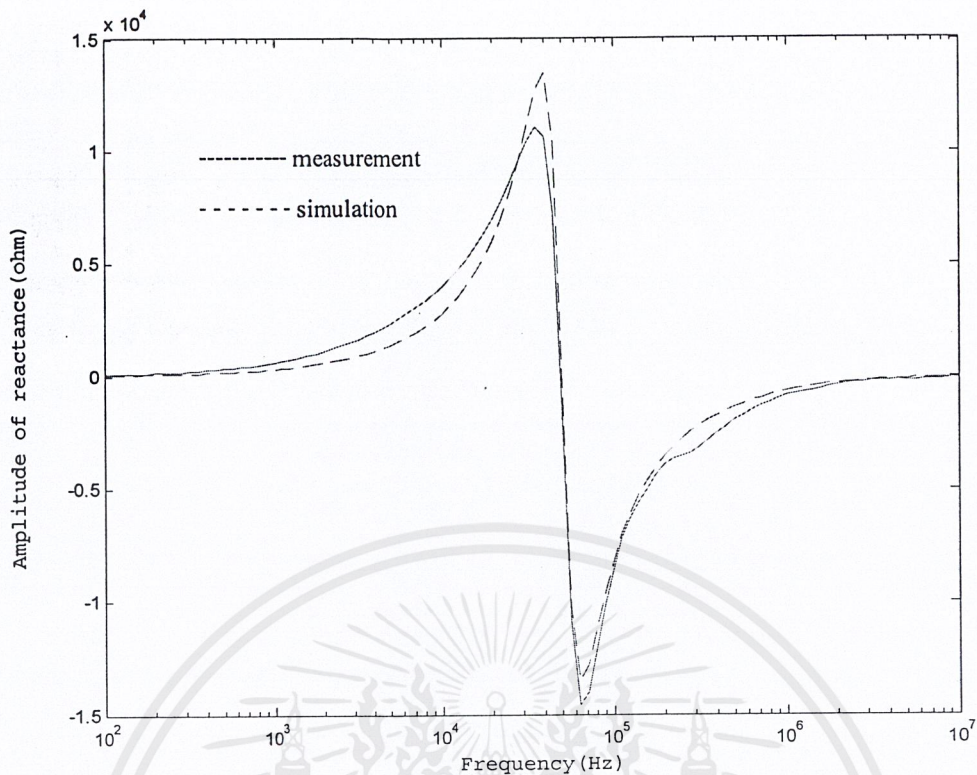
รูปที่ 5.15 กราฟของค่าส่วนจริงของ Impedance ที่ได้จากวงจรสังเคราะห์ (synthesis circuit)



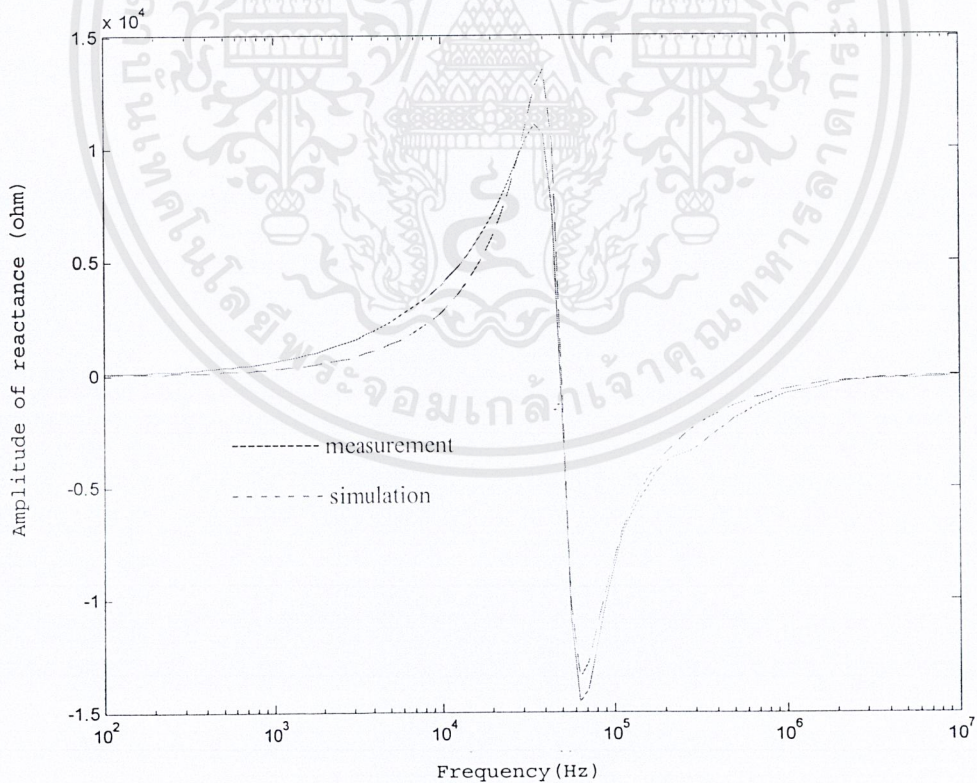
รูปที่ 5.16 กราฟของค่าส่วนจริงของ Impedance ที่ได้จากวงจรสังเคราะห์ (synthesis circuit)

เมื่อปรับด้วย frequency dependent resistance แล้วเปรียบเทียบกับค่าที่วัด

เอกสารนี้เป็นเอกสารที่สงวนไว้สำหรับการใช้งานเพื่อการศึกษาเท่านั้น ไม่อนุญาตให้นำไปใช้ประโยชน์ด้านการค้า ไม่ว่าจะกรณีใดๆ ทั้งสิ้น อีกทั้งห้ามมิให้ตัดแปลงเนื้อหาและต้องอ้างอิงถึงเจ้าของเอกสารทุกครั้งที่มีการนำไปใช้



รูปที่ 5.17 กราฟของค่าส่วนจินตภาพของ Impedance ที่ได้จากวงจรสังเคราะห์ (synthesis circuit)



รูปที่ 5.18 กราฟของค่าส่วนจินตภาพของ Impedance ที่ได้จากวงจรสังเคราะห์ (synthesis circuit)

เมื่อปรับด้วย frequency dependent resistance แล้วเปรียบเทียบกับค่าที่วัด

บทที่ 6

สรุปและวิจารณ์

วิจารณ์ผลการทดลอง

จากผลที่ได้จากการวัด กราฟพารามิเตอร์ และกราฟที่ได้จากการวิเคราะห์ด้วยทฤษฎีมีค่าที่ใกล้เคียงกัน แต่เราต้องศึกษา skin effect โดยจะปรับปรุ้ค่าพารามิเตอร์ เพื่อได้กราฟที่ได้จากการ Simulation ที่ใกล้เคียงกับผลของการวัดมากที่สุด โดย Model ที่ได้กับ Motors หลายตัวใน Model เดียว แต่ต้องเปลี่ยนค่าพารามิเตอร์ และจำนวนชั้น โดยอาจจะนำไปพัฒนาเป็นการเปลี่ยนโดยอัตโนมัติได้

สรุปผลการทดลอง

1. Model สามารถใช้เป็นตัวแทนของ Induction Motor ได้ทุกๆพิกัด จากการเปรียบเทียบจะเห็นได้ว่าเมื่อ Model กับ Motor พิกัดขนาดกำลัง 2Hp 1Hp และ 0.5Hp มีผลของการ simulate ใกล้เคียงกับผลจากการวัดมาก ดังนั้น Model นี้ จึงสามารถใช้เป็นตัวแทนของ Motor ได้ทุกๆพิกัดกำลัง โดยต้องปรับค่าพารามิเตอร์ต่างๆของ Model ให้เหมาะสมกับ Motor พิกัดกำลังต่างๆ

2. เมื่อพิกัดกำลังมอเตอร์มีขนาดเล็กลง มีแนวโน้มว่าจำนวนชั้นของ Frequency dependent resistance จะมีจำนวนชั้นที่ลดลง อธิบายโดยจากการเปรียบเทียบผลการ simulate ของผลจากการวัด ที่พิกัดกำลัง Motor 2Hp จำนวนชั้นของ Frequency dependent resistance มีจำนวนที่เหมาะสมที่สุดคือ 4 ชั้น โดยมีผลของค่าความผิดพลาดของ $|z| = 558.64 \Omega$ ที่ Motor พิกัดกำลัง 1Hp จำนวนชั้นของ Frequency dependent resistance ที่เหมาะสมที่สุดคือ 3 ชั้น โดยมีผลของค่าความผิดพลาดของ $|z| = 511.95 \Omega$ ซึ่งน้อยที่สุด เมื่อใช้ Frequency dependent resistance จำนวน 3 ชั้น และที่พิกัดกำลัง Motor 0.5 จะมีจำนวนชั้น Frequency dependent resistance ที่เหมาะสมที่สุดจำนวน 3 ชั้น โดยมีผลของค่าความผิดพลาดของ $|z| = 597.91 \Omega$

3. การตัดสินใจเลือกจำนวนชั้นของ Frequency dependent resistance ไม่สามารถตัดสินใจโดยดูผลจากค่าความผิดพลาดเท่านั้น ผลเปรียบเทียบการคำนวณค่าความผิดพลาดระหว่างผลจากการวัดและผลจากการ simulate ของ Model ของมอเตอร์พิกัดกำลัง 2 Hp เมื่อใช้ Frequency dependent resistance จำนวน 3 ชั้น และ 4 ชั้น พบว่าเมื่อใช้ Frequency dependent resistance จำนวน 3 ชั้น จะมีผลของค่าความผิดพลาดของ $|z| = 568.34 \Omega$ และมีค่าความผิดพลาดของ $\phi(z)$ เท่ากับ 6.47 degree และเมื่อใช้ Frequency dependent resistance จำนวน 4 ชั้น จะมีผลของค่าความผิดพลาดของ $|z| = 558.64 \Omega$ และมีค่าความผิดพลาดของ $\phi(z)$ เท่ากับ 6.48 degree จะเห็นได้ว่าค่าความผิดพลาดของ $\phi(z)$ เมื่อใช้ Frequency dependent resistance 3 ชั้น ต่ำกว่าและมีค่าความผิดพลาด

ของ $\phi(z)$ เมื่อใช้ Frequency dependent resistance 4 ชั้น แต่จะเห็นได้ว่าค่าความผิดพลาดของ $|z|$ เมื่อใช้ Frequency dependent resistance 4 ชั้น นั้นน้อยกว่าค่าความผิดพลาดของ $|z|$ เมื่อใช้ Frequency dependent resistance 3 ชั้น จากผลดังกล่าวจึงจำเป็นต้องเลือก จำนวนชั้นของ Model Frequency dependent resistance โดยผู้ใช้

4.สามารถประยุกต์นำเอาที่ทำการทดลองมาทำการทดสอบหลายๆพิกัดกำลังโดยวิธีของ Neural Network Analysis ต่อไปโดยจะสามารถเลือกจำนวนชั้นของ Frequency dependent resistance เพื่อใช้ได้ Model ที่ใกล้เคียงค่าจริงมากที่สุด

ปัญหาที่เกิดขึ้นและแนวทางแก้ไข

1. Variac 3 phase unbalance แก้โดย รรช่อมเสริจ
2. ใช้เครื่องมือผิดประเภทโดยนำ Ammeter AC ไปวัด ไฟกระแสตรง
3. กราฟที่ได้ไม่ต่อเนื่อง แก้โดย ทำการทดลองหลายๆครั้ง
4. ขณะวัดค่าเปลี่ยนแปลงตลอดเวลา แก้โดย ศึกษาการปรับค่าเครื่องมือวัด
5. มีบางจุดที่ไม่สอดคล้องกับทฤษฎี แก้โดย ศึกษาทฤษฎีเพิ่มเติม
6. เครื่องวัดไม่มีความละเอียดเพียงพอ แก้โดย หาอุปกรณ์ที่ดีกว่า
7. ไม่มีอุปกรณ์ที่ใช้วัดค่า แก้โดย ขอใช้อุปกรณ์ที่ศูนย์บริการพัฒนาทางวิศวกรรม

กิตติกรรมประกาศ

ขอกราบขอพระคุณ ดร.อานันท์วัฒน์ คุณากร อาจารย์ที่ปรึกษาในการทำปริญญานิพนธ์ ที่คอยเป็นห่วงและให้คำแนะนำในยามที่เกิดปัญหา ตลอดจนขอขอบคุณอาจารย์ในภาควิชาไฟฟ้าทุกท่านที่ประสิทธิประสาทวิชาความรู้ในด้านต่างๆ ขอขอบคุณศูนย์พัฒนาทางวิศวกรรมศาสตร์ที่เอื้อเฟื้อสถานที่และอุปกรณ์เป็นอย่างดี รวมทั้งเจ้าหน้าที่และเพื่อนๆทุกคนที่คอยให้กำลังใจตลอดมา



เอกสารอ้างอิง

- [1] Induction motor Testing, 'เอกสารประกอบการทดลอง', เรื่อง การหา Parameter ของ Equivalent circuit of induction motor, ภาควิชาวิศวกรรมไฟฟ้า
- [2] A. Symlyen and A. deri, 'Time Domain Modeling of frequency dependent three-phase transmission line impedance', the IEEE Transactions on Power Apparatus and Systems, Vol. PAS-104, No. 6, June 1985, P1549-1555
- [3] Prof. J.R. Smith and W.W. Bell, 'Selection of transmission circuit models for Power-system transient studies' IEE Proceedings, Vol. 131. Pt. C, No. 1, January 1984, P1-4
- [4] A. Kunakorn, J. Hiley and K.S. Smith, 'Frequency Dependent time domain models for calculating'
- [5] Switching transients in PWM drives, 'International Conference on Power system technology', December 2000, Perth, Australia
- [6] J.R. Marti, 'Accurate of frequency-dependent transmission lines in Electromagnetic Transient Simulation' IEEE Transactions on Power Apparatus and Systems, Vol. PAS-101, No. 1, January 1982
- [7] Cochran and Paul L., 'Polyphase Induction Motor: Analysis, Design and Application' Marcel Dekker, November, 1989
- [8] Johnson, David E., 'Electric Circuit Analysis', 2nd ed. Prentice-Hall., Englewood Cliffs, 1992
- [9] Van Valkenburg M.E., 'Introduction to modern network synthesis', John Wiley & Sons, 1960, Chapter 5
- [10] Chu-Sun Yen, Fazarinc Z. and Wheeler R.L., 'Time-domain skin effect model for transient analysis of lossy transmission line', IEEE proceeding, July 1982, pp. 750-757
- [11] Edwin Mc. Anderson, 'Electric Transmission Line Fundamentals', Reston Publishing, A. Prentice-Hall, Reston, Virginia, 1985